



Universidad Nacional Autónoma de México

FACULTAD DE QUÍMICA

ALGORITMO GENERAL PARA EL CALCULO
DE COEFICIENTES DE TRANSFERENCIA
DE CALOR EN DUCTOS

CARLOS ERCHUCK ESPINO
INGENIERO QUÍMICO

MEXICO, D. F.

1980



UNAM – Dirección General de Bibliotecas

Tesis Digitales
Restricciones de uso

DERECHOS RESERVADOS ©
PROHIBIDA SU REPRODUCCIÓN TOTAL O PARCIAL

Todo el material contenido en esta tesis está protegido por la Ley Federal del Derecho de Autor (LFDA) de los Estados Unidos Mexicanos (México).

El uso de imágenes, fragmentos de videos, y demás material que sea objeto de protección de los derechos de autor, será exclusivamente para fines educativos e informativos y deberá citar la fuente donde la obtuvo mencionando el autor o autores. Cualquier uso distinto como el lucro, reproducción, edición o modificación, será perseguido y sancionado por el respectivo titular de los Derechos de Autor.

UNIVERSIDAD NACIONAL AUTONOMA DE MEXICO

FACULTAD DE QUIMICA

ALGORITMO GENERAL PARA EL CALCULO DE COEFICIENTES
DE TRANSFERENCIA DE CALOR EN DUCTOS

CARLOS ERCHUCK ESPINO

INGENIERO QUIMICO

MEXICO, D.F. 1980

PRESIDENTE: ALEJANDRO ANAYA DURAND
VOCAL: ANTONIO FRIAS MENDOZA
Jurado asignado originalmente SECRETARIO: OSCAR R. MARTIARENA ALAMO
según el tema 1° SUPLENTE: CLAUDIO A. AGUILAR MARTINEZ
2° SUPLENTE: ENRIQUE BRAVO MEDINA

Sitio donde se desarrolló el tema: INSTITUTO MEXICANO DEL PETROLEO

Nombre completo y firma del sustentante: Carlos Erchuck Espino

Carlos Erchuck E.

Nombre completo y firma del asesor del tema: Oscar R. Martiarena Alamo

Oscar R. Martiarena Alamo

DEPTO. DE ESTUDIOS
EXAMENES Y TAREAS
FAC. DE QUIMICA

A G R A D E C I M I E N T O S

Al señor Ingeniero Agustín Straffon Arteaga, por la oportunidad que me brindó para poder realizar este trabajo dentro del Instituto Mexicano del Petróleo, que tan dignamente dirige.

Al Doctor Sergio Gallegos López y a su señora esposa Martha Ordorica de Gallegos, por su amistad y ayuda.

Al señor Ingeniero José Antonio Amozurrutia de María y Campos, por su asesoría técnica y comprensión.

Al señor Ingeniero Antonio Frías Mendoza, por su desinteresada colaboración para la conclusión de esta tesis.

A mis padres

GUADALUPE Y GUILLERMO

a mis hermanas

MARGARITA E IVONNE

A mis buenos amigos.

I N D I C E

- I. INTRODUCCION. OBJETIVOS Y ALCANCE DE LA TESIS
- II. GLOSARIO DE NOMENCLATURA Y GENERALIDADES ACERCA DE LA CONDENSACION.
- III. SUBRUTINAS. OBJETIVOS, FUNDAMENTOS TEORICOS, DIAGRAMAS DE FLUJO Y LISTADOS DE COMPUTADORA.
- IV. RESULTADOS.
- V. CONCLUSIONES.
- VI. APENDICE.

C A P I T U L O . I

INTRODUCCION. OBJETIVOS Y ALCANCE DE LA TESIS

I N T R O D U C C I O N

En la actualidad en la mayoría de las industrias - tanto de extracción como de transformación la transferencia de calor constituye un aspecto muy importante, debido a la repercusión económica que trae consigo en términos de equipo o de costo de servicios.

Una transferencia de calor eficiente y costeable - requiere del cálculo de una área óptima. O bien en otros - casos es necesaria la determinación de las perdidas de calor transferido, mediante el cálculo de los coeficientes - de transferencia de los fenómenos involucrados.

El presente trabajo pretende hacer un compendio de los métodos más usuales y con desviaciones menores para la evaluación de coeficientes de transferencia de calor dentro y fuera de ductos.

Dentro de ductos, coeficientes de transferencia de calor sin cambio de fase, y con cambio de fase, avocados - estos específicamente al fenómeno de condensación. No se - considera el fenómeno de evaporación dentro de esta tesis.

En lo que respecta a flujo de fluidos se incluyen métodos para el cálculo de caída de presión sin cambio de fase. Para el caso de flujo a dos fases la caída de presión se evalúa como una función de el patrón de flujo -- existente, por el método de Soliman o por el método de Lockhart-Martinelli.

OBJETIVO DE LA TESIS

El objetivo es integrar las herramientas necesarias para resolver un problema de carácter general de flujo de fluidos y transferencia de calor.

Herramientas teóricas: Fenómeno de flujo de fluidos.

Fenómeno de transferencia de calor.

Herramientas prácticas: Se prueba la validez del modelo mediante resultados obtenidos por computadora.

Su carácter es general en tanto que trata de considerar todos los aspectos reales, como son:

Los distintos medios que pueden interaccionar con una tubería; agua, aire, tierra, o el aislante del ducto; y considera también, la mayoría de los fenómenos en flujo de fluidos newtonianos sin cambio de fase (líquido o vapor) o con cambio de fase (fenómeno de condensación).

Aplicaciones y alcance:

Permite la simulación de los distintos fenómenos involucrados en la transferencia de calor en ductos, en términos de un coeficiente global de transferencia de calor, como una función de los coeficientes o resistencias individuales.

El fenómeno de flujo de fluidos se expresa en términos de la caída de presión.

Aplicaciones prácticas:

Evaluación del coeficiente global de transferencia de calor y caída de presión en:

Gaseoductos (de tierra a tierra, de mar a tierra y viceversa).

Oleoductos (de tierra a tierra, de mar a tierra y viceversa).

Sistema de transporte de aguas termales: caso de los Geyser.

Dentro de plantas industriales:

- a) Líneas de transporte de fluidos.
- b) Líneas a límites de batería.
- c) Líneas a tanques.

Este trabajo pretende ser una contribución a la bibliografía auxiliar en los cursos de licenciatura en lo referente a flujo de fluidos y transferencia de calor.

C A P I T U L O II

GLOSARIO DE NOMENCLATURA Y GENERALIDADES ACERCA
DE LA CONDENSACION.

GLOSARIO DE NOMENCLATURA

Propiedades físicas por dentro de ductos.

DEL1: Densidad del líquido

DEL2: Densidad del líquido a otra temperatura

DEV1: Densidad del vapor

VIL: Viscosidad del líquido

VIV: Viscosidad del vapor

CTL: Conductividad térmica del líquido

CTV: Conductividad térmica del vapor

CPL: Capacidad calorífica a presión constante del líquido

CPV: Capacidad calorífica a presión constante del vapor

BETA: Coeficiente de expansión térmica para líquidos o vapores por dentro de ductos

CAVAP: Calor latente de vaporización

VILW: Viscosidad del líquido a la temperatura de pared

VIVW: Viscosidad del vapor a la temperatura de pared

TENSUP: Tensión superficial

Propiedades físicas por fuera de ductos.

DELE1: Densidad del líquido

DEVE1: Densidad del vapor

DELE2: Densidad del líquido a otra temperatura

VILE: Viscosidad del líquido

VIVE: Viscosidad del vapor

CTLE: Conductividad térmica del líquido

CTVE: Conductividad térmica del vapor

CPL: Capacidad calorífica a presión constante del líquido

CPVE: Capacidad calorífica a presión constante del vapor

BETAE: Coeficiente de expansión térmica para líquidos o vapores por fuera de ductos

Variables geométricas.

DI: Diámetro interno tubo interno

AFT: Área de flujo del tubo interno

TETA: Ángulo de inclinación del ducto

DO: Diámetro externo tubo interno

LT: Longitud del ducto interno y/o externo

AFTA: Área de flujo del ángulo

DITE: Diámetro interno del tubo externo

DOTE: Diámetro externo del tubo externo

Temperaturas involucradas en los fenómenos.

TT1: Temperatura de entrada al intervalo en el tubo interno

TTE2: Temperatura de salida del intervalo en el tubo interno

TE: Temperatura externa (temperatura del medio externo al ducto)

TW: Temperatura de pared

TC: Temperatura del condensado

TV: Temperatura del vapor saturado

- T1: Temperatura de entrada al ducto interno
T2: Temperatura de salida del ducto interno
TO1: Temperatura de entrada a la sección anular
TO2: Temperatura de salida a la sección anular
TSUE: Temperatura del suelo (medio que rodea a un ducto enterrado)
TT01: Temperatura de entrada al intervalo en la sección anular
TT02: Temperatura de salida del intervalo en la sección anular

Propiedades del ducto.

- CTD: Conductividad térmica del ducto
CTA1: Conductividad térmica del primer aislante o aislante interno
CTA2: Conductividad térmica del segundo aislante o aislante externo
ED: Espesor del ducto interno
EA1: Espesor del primer aislante o aislante interno
EA2: Espesor del segundo aislante o aislante externo
E: Emisividad del material aislante
RDI: Factor de incrustación interno del tubo interno
RDO: Factor de incrustación externo del tubo interno
PROF: Profundidad a la cual se encuentra enterrado el ducto
RDIE: Factor de incrustación interno del tubo externo

Variables de proceso.

WL: Gasto del líquido del fluido dentro del tubo interno
WV: Gasto del vapor del fluido dentro del tubo interno
X: Calidad del vapor del fluido dentro del tubo interno
VEV: Velocidad del viento (aire por fuera del ducto)
VAP1: Vaporización de la mezcla a la entrada del intervalo
VAP2: Vaporización de la mezcla a la salida del intervalo
CTSUE: Conductividad térmica del suelo (medio que rodea a un ducto enterrado)
WLE: Gasto del líquido en la sección anular
WVE: Gasto del vapor en la sección anular

Indices utilizados por la subrutinas.

IE: Indice de escritura
IFASE: Indice de fase del fluido del tubo interno
IPOS: Indice de posición del ducto
IPF: Indice de patron de flujo a dos fases
ICETC: Indice de coeficiente externo de transferencia de calor
IMET: Indice de método de cálculo en fluidos sin cambio de fase
IF: Indice de fase del fluido en la sección anular

Variables generadas en los cálculos.

ALFA: Fracción de vacío
HCON: Coeficiente de condensación modelo anular

- DPFR: Componente por fricción de caída de presión modelo - anular
- DPAC: Componente por aceleración de caída de presión modelo anular
- DPGR: Componente por aceleración gravitacional de caída de presión modelo anular
- DPTOT: Caída de presión total modelo anular
- HIOCL: Coeficiente de transferencia de calor del líquido sin cambio de fase referido al diámetro exterior
- HIOCV: Coeficiente de transferencia de calor del vapor sin - cambio de fase referido al diámetro exterior
- HOCL: Coeficiente de transferencia de calor del líquido en la sección anular
- HOCV: Coeficiente de transferencia de calor del vapor en la sección anular
- REL: Número de Reynolds del líquido en el ducto interno
- REV: Número de Reynolds del vapor en el ducto interno
- RELE: Número de Reynolds del líquido en la sección anular
- REVE: Número de Reynolds de vapor en la sección anular
- PRL: Número de Prandtl del líquido en el ducto interno
- PRV: Número de Prandtl del vapor en el ducto interno
- PRLE: Número de Prandtl del líquido en la sección anular
- PRVE: Número de Prandtl del vapor en la sección anular
- GTZ: Número de Graetz del vapor en el ducto interno
- GTZE: Número de Graetz del vapor en la sección anular

- FJH: Factor JH, relación entre el número de Nusselt y el número de Prandtl para el fluido del tubo interno
- FJHE: Factor JH, relación entre el número de Nusselt y el número de Prandtl para el fluido en la sección anular
- GRL: Número de Grashof para el líquido dentro del tubo interno
- GRV: Número de Grashof para el vapor dentro del tubo interno
- PSY: Factor de corrección por convección natural dentro de ductos para líquido o vapor
- DEQ: Diametro equivalente para caída de presión en secciones anulares
- GL: Masa velocidad del líquido dentro del tubo interno
- GV: Masa velocidad del vapor dentro del tubo interno
- GLE: Masa velocidad del líquido en la sección anular
- GVE: Masa velocidad del vapor en la sección anular
- FF: Factor de fricción en el tubo interno
- FFE: Factor de fricción en la sección anular
- DPSCFP: Caída de presión para fluidos sin cambio de fase dentro del tubo interno en PSIG
- DPAN: Caída de presión para fluidos sin cambio de fase en la sección anular en PSIG
- HESTM: Coeficiente de condensación modelo estratificado
- PSYM: Valor promedio del ángulo efectivo de la zona interior del tubo en la que se produce la condensación laminar según Nusselt

HCWM: Coeficiente de condensación modelo onda

GAL: Número de Galileo

DT: Diferencia de temperatura

ALFA: Fracción de vacío

ENT: Fracción del líquido condensado viajando en forma de pequeñas gotas en el núcleo de vapor y a la velocidad del mismo

HAIRE: Coeficiente de convección natural fuera de ductos con aire a presión atmosférica y temperatura ambiente

HCNA: Coeficiente de convección natural fuera de ductos con líquidos

DEQT: Diámetro equivalente en transferencia de calor.

Generalidades y formas de condensación; tipo gota y tipo película.

La condensación es el cambio de estado físico que experimenta un vapor saturado al convertirse en líquido saturado. Este cambio puede ser provocado poniendo en contacto al vapor con una superficie o medio más frío que su temperatura de saturación o punto de rocío.

Cuando la superficie condensante es una superficie metálica, la condensación puede efectuarse por dos mecanismos:

En forma de gota o en forma de película.

Cuando no existe afinidad entre la superficie metálica y el condensado, la condensación se lleva a cabo en forma de gotas, que al alcanzar un cierto tamaño y peso resbalan y caen de la superficie, dejando el sitio libre y seco para que el mecanismo se repita.

La condensación en forma de gota puede ser estimulada si se cubre la superficie metálica con una película de cromo-plata en el caso de cobre y otros metales, o bien con sustancias atractivas al metal y repelentes al condensado llamadas promotores; estos presentan sin em-

bargo algunos inconvenientes, así: los Sulfuros Alifáticos, ácidos grasos y aceites del petróleo, no resisten condiciones drásticas de operación y además contaminan el condensado; los polímeros fluorados tienen conductividad térmicas muy bajas y por lo tanto una transferencia de calor poco eficiente; y los metales nobles son muy caros.

La razón por la que se podría preferir propiciar la condensación en forma de gota es porque se producen coeficientes de transferencia de calor entre 4 y 8 veces mayores que los que se tienen en la condensación en forma de película, pero las dificultades para obtener la condensación en forma de gota y sus implicaciones con el equipo adicional para la separación del condensado y los promotores, hacen que se prefiera llevar a cabo la condensación por el mecanismo tipo película.

En la condensación tipo película el vapor saturado inicialmente entra en contacto con la superficie condensante sobre la cual se lleva a cabo el fenómeno de condensación, formando una película continua de condensado que humedece totalmente la superficie del ducto, una vez formada la película, la condensación se efectua en la interfase líquido-vapor.

Si la condensación ocurre en la superficie externa de un ducto metálico horizontal (caso común), el condensado escurre de la superficie del ducto a los tubos inferiores, en caso de haberlos, o resbala a lo largo de la superficie longitudinal del ducto en caso de tener -- ductos verticales.

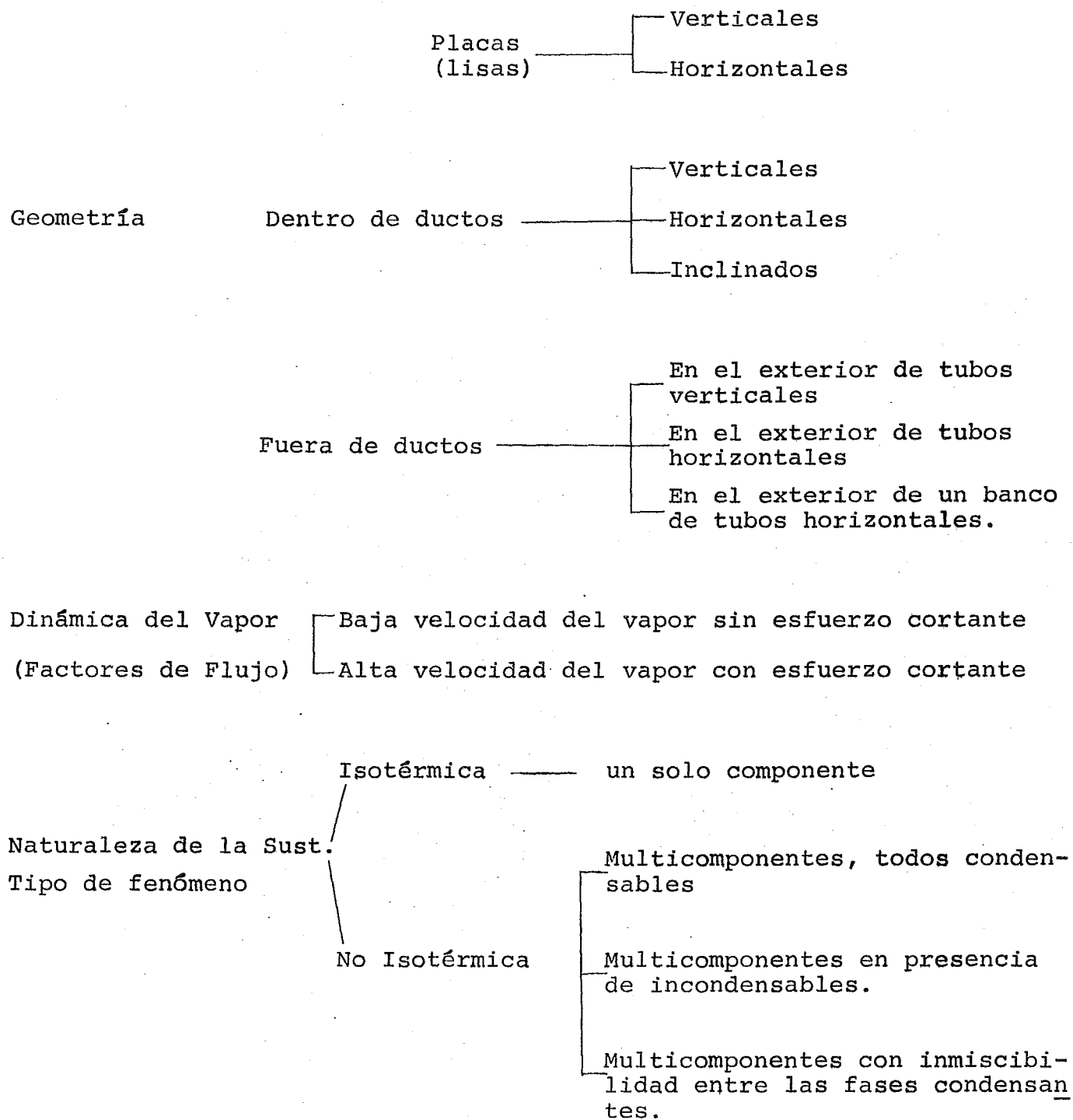
Modelos físicos para determinar la transferencia de calor en el fenómeno de la condensación.

El tema de transferencia de calor por condensación puede dividirse en varios criterios como sugiere la tabla I.

La primera subdivisión obedece a los aspectos geométricos, es decir, si el vapor condensa en placas o ductos en posición vertical horizontal o inclinada, a su vez, en el caso de ductos, si la condensación se lleva a cabo - dentro o fuera de los tubos.

Específicamente la condensación por fuera de los tubos se puede dividir en: Condensación en el exterior de tubos verticales, condensación sobre un sólo tubo horizontal y condensación en un banco de tubos horizontales, en el --

TABLA I



cual el condensado de los tubos superiores cae sobre los tubos situados en la parte baja del haz. La segunda división es con respecto a la velocidad del vapor.

El mecanismo del flujo sobre la superficie se ve directamente afectado si el vapor ejerce o no un esfuerzo constante significativo sobre la película de condensado. Es también necesario considerar si el esfuerzo del vapor y la gravedad actúan en el mismo sentido, en sentidos opuestos o perpendicularmente entre si.

La tercera subdivisión está relacionada con los fenómenos involucrados, dependientes de la naturaleza de las sustancias que se manejan y las condiciones en que éstas se operen, así se pueden distinguir dos tipos de condensación: Isotérmica y no Isotérmica.

La condensación isotérmica se refiere a un sólo componente.

La condensación no isotérmica que se presenta en alguna de las siguientes formas:

Condensación de multicomponentes todos condensables,

condensación de multicomponentes en presencia de gases incondensables y condensación de multicomponentes con inmiscibilidad entre las fases condensantes.

Condensación tipo película en placas verticales.

Nusselt, fue quien estudió primero el fenómeno de la condensación, en 1916 derivó relaciones teóricas para predecir el coeficiente de condensación de la película entre un vapor saturado y una superficie más fría, en función de las propiedades físicas del condensado, posición de la superficie condensante y del gradiente de temperatura a través de la película.

Las consideraciones en el desarrollo del modelo son:

a).- Una distribución lineal de la temperatura en la película de condensado.

b).- La fuerza de gravedad como causa única del flujo de condensado sobre la superficie, despreciando así, posibles efectos de la velocidad del vapor sobre la superficie de la película de condensado.

Es decir ningún esfuerzo de corte en la interfase líquido-vapor y su flujo de momentum despreciable.

c).- La temperatura de la superficie de condensación uniforme.

d).- El calor cedido por el vapor es únicamente -- calor latente, es decir se trata de un vapor puro a la -- temperatura de saturación.

e).- Se supone una superficie relativamente lisa y limpia.

En base a las consideraciones anteriores del modelo (ver apéndice), Nusselt derivó expresiones para evaluar el fenómeno de la condensación en placas y ductos verticales, llegando a expresiones como:

$$HCON = 0.925 * CTL * \left(\frac{(DEL1^{**2}) * G}{VIL * G'} \right)^{**0.333}$$

para condensación sobre ductos verticales y

$$HCON = 0.943 * \left(\frac{(CTL^{**3}) * (DEL1^{**2}) * G * CAVAP}{LT * VIL * DT} \right)^{**0.25}$$

para condensación de placas verticales.

Condensación dentro de ductos.

En caso de ductos verticales, la condensación sigue esencialmente el mismo mecanismo que la condensación en la superficie exterior de tubos verticales, puesto que la película de condensado tiende a aumentar continuamente

en su camino descendente ya sea en el interior o exterior de los tubos. Su flujo puede cambiar de laminar a turbulento en algún punto entre la parte superior e inferior. El coeficiente local de condensación decrece continuamente de la parte superior hacia abajo hasta algún punto en que la película cambia de flujo laminar a turbulento, después de la transición el coeficiente aumenta de acuerdo con la conducta usual de convección forzada. Mediante métodos semi-empíricos Colburn combinó el efecto del flujo laminar en la porción superior del tubo con el efecto de flujo turbulento abajo del punto en donde $(\frac{4 \cdot G'}{VIL}) = 2100$.

En donde G' representa la carga de condensado por pie lineal.

Esto requirió la selección de un factor de transferencia de calor para la convección forzada, tal que "h" en el punto de transición fuese burdamente el mismo tanto para la condensación de Nusselt como para la de flujo turbulento. Entonces obtuvo el coeficiente medio para la altura total del tubo balanceando el coeficiente para la parte superior del tubo y "h" para la convección forzada en la porción inferior del mismo.

El coeficiente medio para la condensación en la longi-

tud total del tubo cuando $(\frac{4*G'}{VIL}) = 2100$. Se encuentra reportado en la figura 12.12 del texto de Donald Q. Kern que re presenta la curva semiempírica de Colburn para condensación dentro de tubos verticales.

Efecto de la velocidad del vapor:

Cuando la velocidad del vapor es considerable en comparación con la velocidad de la película de condensado en la interfase, la primera influye sobre la velocidad y espesor de dicha película y consecuentemente sobre el coeficiente de transferencia de calor.

Carpenter y Colburn determinaron la siguiente expresión para evaluar el fenómeno.

$$\left(\frac{H_{CON}}{CPL*G_{Vm}}\right) * \left(\frac{CPL*VIL}{CTL}\right)^{**0.5} = 0.065 * \text{SQR}T\left(\frac{DEL1^*F}{DEV1^*2}\right)$$

en donde: $G_{Vm} = \left(\frac{(CGv1^{**2}) + (Gv1*Gv2) + (Gv2^{**2})}{3}\right)^{**0.5}$

G_{Vm} : es la masa velocidad promedio.

$Gv1$: masa velocidad a la entrada.

$Gv2$: masa velocidad a la salida.

F : factor de fricción.

Ductos horizontales.

A relaciones de condensación bajas, o en caso de tubos cortos, las velocidades del vapor no son muy considerables, -- permitiendo que el condensado fluya en condiciones de estratificación, es decir, el condensado formado en la porción superior del ducto fluye alrededor de la periferia del mismo para acumularse en el fondo del tubo.

Chato investigó este problema y sugirió que la existencia de este patrón de flujo existe cuando el número de Reynolds es menor de 35 000, los resultados analíticos y experimentales concuerdan con la siguiente expresión:

$$HCON = 0.555 * \left(\frac{G * DEL1 * (DEL1 - DEV1) * (CTL^{**}3) * HLV}{VIL * DT * DO} \right)$$

$$HLV = CAVAP + \left(\frac{3}{8} \right) * CPL * (TV - TW)$$

Se ha observado que las condiciones de operación más comunes comprenden tres tipos de flujo:
 Estratificado, onda y anular. Las correlaciones cuyo uso es el más recomendado para cada uno de estos flujos se mencionan a continuación:

Correlación de Chaddock para patrón estratificado.

Correlación de Rosson y Myers para patrón tipo onda.

Y la correlación de Soliman para patrón anular.

Se hará referencia a estas últimas con todo detalle - en capítulo de fundamentos teóricos de las subrutinas utilizadas para el modelo.

Para ilustrar el mecanismo de transferencia de calor durante la condensación dentro del ducto, se presenta la siguiente figura, en donde se especifican las distintas variables y fenómenos posibles.

A: Seno del vapor saturado a TV

B: Capa de moléculas aglutinadas de gas incondensable.

C: Interfase en el fenómeno de la condensación.

D1: Condensado más ligero a TC

D2: Condensado más pesado

E: Pared del ducto a TW

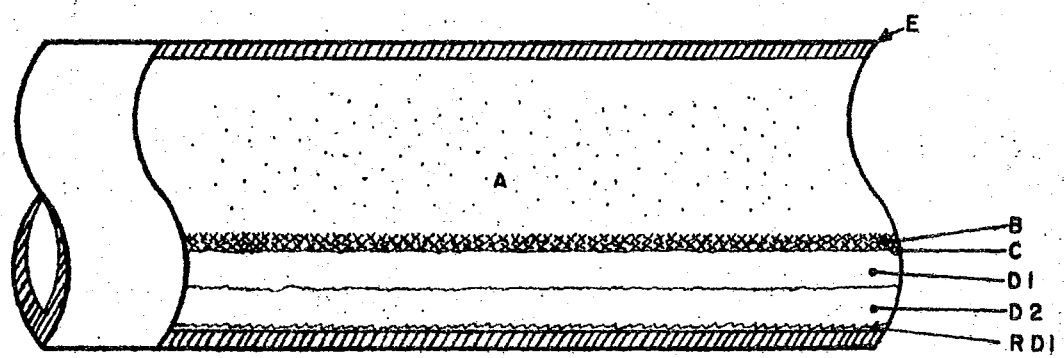
RCI: Ensuciamiento interno

Para el caso de condensación isotérmica la temperatura TAC permanece constante a lo largo del ducto. (no existe B y D2).

Para condensación de multicomponentes la temperatura TAC varía a lo largo del ducto. (no existe B y D2).

Para la condensación de multicomponentes en presencia de gases incondensables la temperatura TAC varía a lo largo del ducto y aparece la capa B. (no existe D2)

Para condensación de multicomponentes con inmiscibilidad entre las fases condensantes se presentan las capas - D1 y D2. (no existe B)



En el caso de condensación fuera de ductos, el fenómeno se aplica principalmente en equipo de transferencia de calor, debido a que en la condensación de un vapor saturado debe existir suficiente interacción entre el líquido y el vapor, para mantener el equilibrio físico entre las dos fases, lo cual se logra mediante una mayor área.

Entre las aplicaciones prácticas en equipo de transferencia de calor pueden citarse:

- 1) Cambiadores de tubo concentríco en posición vertical u horizontal.
- 2) Condensación en haz de tubos verticales. En caso de los termosifones.
- 3) Condensación en haz de tubos horizontales. Caso de cambiadores de calor.

En función de la naturaleza de la sustancia, o el tipo de fenómeno, el fenómeno de condensación se clasifica en condensación isotérmica y condensación no isotérmica, la cual a su vez se subdivide en:

- a) Multicomponentes todos condensables.
- b) Multicomponentes en presencia de incondensables.
- c) Multicomponentes con inmiscibilidad entre las fases con-

densantes.

Condensación Isotérmica.

Para fluidos puros a una presión dada el cambio de líquido a vapor o de vapor a líquido, ocurre sólo a una temperatura, que es la temperatura de saturación o de equilibrio. Puesto que los cambios de transferencia de calor vapor líquido usualmente ocurren a presión constante o casi constante en la industria, la vaporización o condensación de un compuesto simple, normalmente se efectua isotérmicamente.

Concluyendo, podemos definir la condensación isotérmica como el cambio de estado físico que experimenta el vapor saturado de un compuesto simple al convertirse en líquido saturado a presión constante.

Condensación de multicomponentes todos condensables.

La condensación de multicomponentes es siempre no isotérmica, en tanto que los componentes más pesados son preferencialmente condensados, la mezcla restante tiene un punto de rocío más bajo y la temperatura de condensación decrece en forma monótona, por ser no isotérmico el fenómeno de la condensación de multicomponentes, existen efectos de transferencia de calor sensible en ambas fases, el condensado una vez formado se enfriá lo mismo sucede con la mezcla de vapor, esto permite permanecer cerca del equilibrio en la interfase en donde la condensación se lleva a cabo.

Mientras que las composiciones de ambas fases están cambiando a través de la transferencia preferencial de los componentes más pesados restantes en la fase vapor al condensado, existen simultáneamente resistencias difusionales (transferencia de masa) en la fase gaseosa que obstaculizan al proceso de transferencia de calor.

Como los parámetros termodinámicos locales (temperatura de condensación, calor latente de vaporización, etc.) y las velocidades de transporte están directamente relacionadas con el vapor local y la composición del líquido, es esencial que las cantidades de líquido y vapor sean conocidas.

Multicomponentes en presencia de gases incondensables.

La principal característica en la condensación de un vapor de multicomponentes en presencia de gases incondensables es que ésta se lleva a cabo mediante un fenómeno simultáneo de transferencia de calor y masa a lo largo del ducto. Para que el vapor del cuerpo gaseoso continúe condensando - en una película, debe desplazarse a través de la película - gaseosa por la diferencia entre la presión parcial del vapor en el cuerpo gaseoso y el condensado. El paso de un componente a través de otro se llama difusión o transferencia de masa; En un sistema de difusión, la razón a la que el vapor condensa no depende ya enteramente del mecanismo de condensación de Nusselt sino de las leyes que gobiernan la difusión; en este caso, la capa de moléculas de gases incondensables que se aglutanan sobre la capa de condensado absorbe una parte del calor sensible del vapor.

En el caso de la condensación no isotérmica con inmiscibilidad entre las fases condensantes, se forma en primera instancia la película del condensado más pesado (es decir, de peso molecular más elevado), sobre el cual se condensa en forma de gota el líquido más ligero, hasta formar otra película de condensado.

C A P I T U L O III

SUBRUTINAS. OBJETIVOS, FUNDAMENTOS TEORICOS, DIAGRAMAS DE FLUJO Y LISTADOS DE COMPUTADORA.

Subrutina SCFASE (IC1).

Objetivo: Los objetivos de esta rutina son:

- a).- Cálculo del coeficiente de transferencia de calor sin cambio de fase.
- b).- Cálculo de la contribución por convección natural dentro de ductos.
- c).- Cálculo de la caída de presión sin cambio de fase.

La subrutina SCFASE funciona como directriz en torno al fenómeno de transferencia de calor y caída de presión de ductos circulares sin cambio de fase.

Calcula en primera instancia el coeficiente de transferencia de calor sin cambio de fase mediante la subrutina - de Sieder y Tate (STSCF), como una función del número de Reynolds calcula la corrección por convección natural dentro de ductos mediante la subrutina (FCKERN) y efectua la corrección por dicho efecto del coeficiente de transferencia en caso de ser necesario, a su vez tiene la opción de calcular la caída de presión sin cambio de fase utilizando los criterios y correlaciones de Sieder y Tate.

Para efecto de cálculos del coeficiente de transferencia de calor por convección forzada y caída de presión, el modelo hace uso de las siguientes subrutinas:

STSCF: Cálculo del coeficiente de transferencia de calor sin cambio de fase.

FCKERN: Cálculo del factor de corrección por convección natural dentro de ductos.

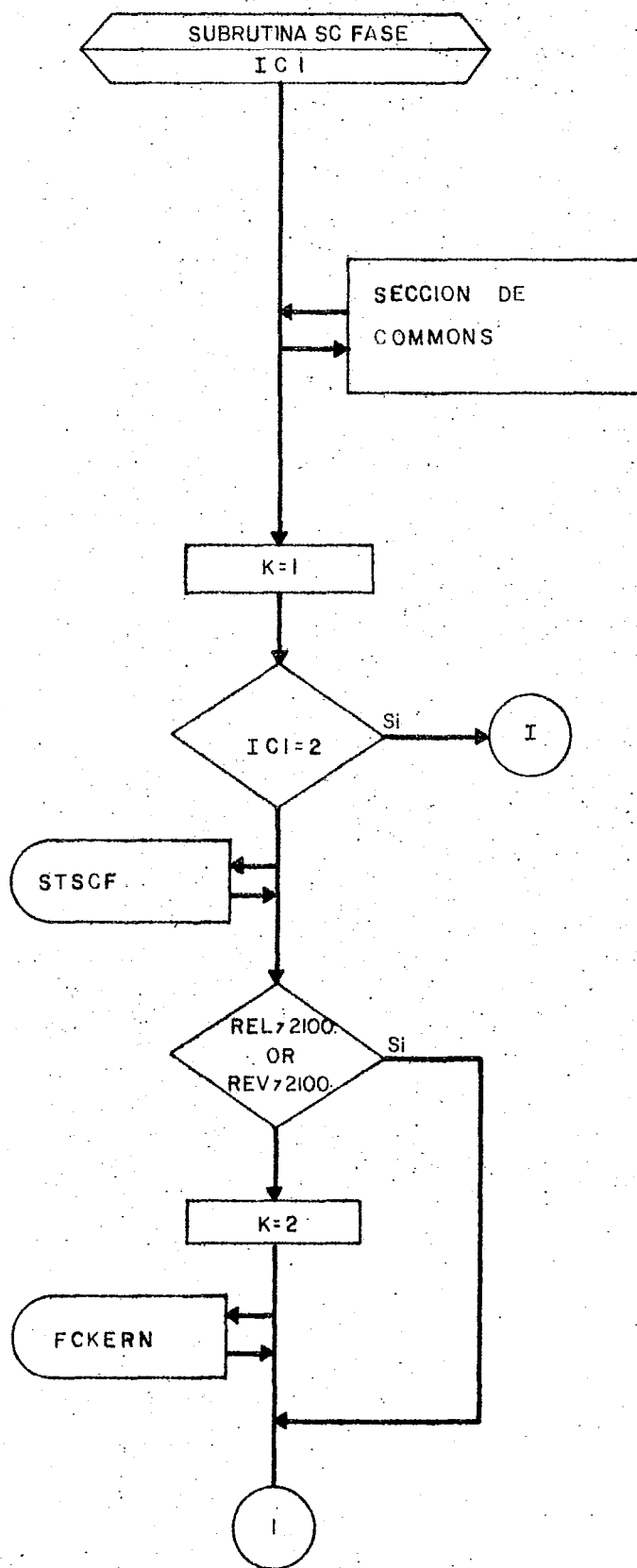
DPSCFA: Cálculo de DP sin cambio de fase.

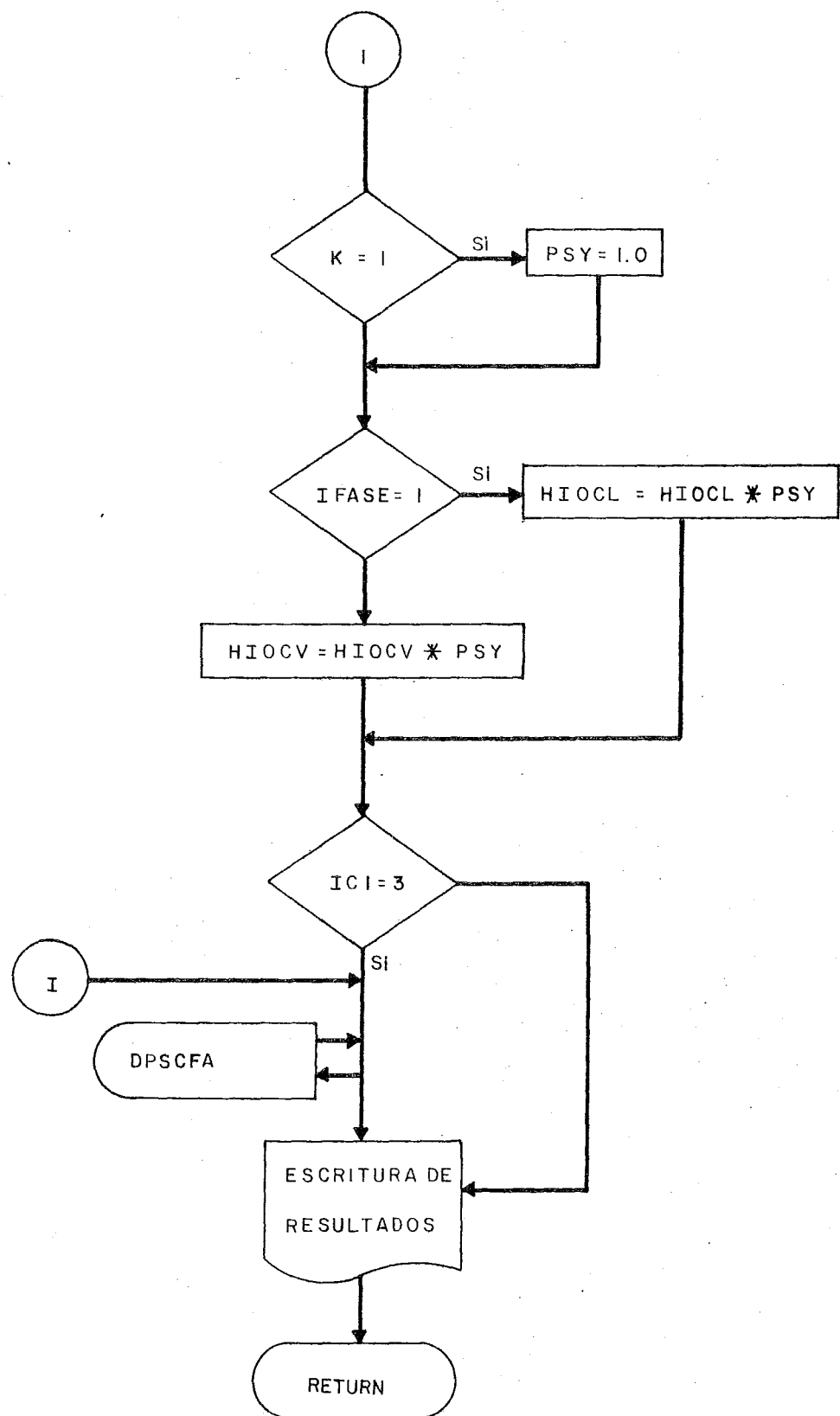
El tipo de cálculo a efectuarse está determinado por un índice de cálculo ICI:

ICI=1 Cálculo de H

ICI=2 Cálculo de DP

ICI=3 Cálculo de ambos.





SUBROUTINE SCFASE(IC1)

33

OBJETIVO CALCULO DEL COEFFICIENTE DE TRANSFERENCIA DE CALOR SIN CAMBIO DE FASE, CALCULO DE LA CONTRIBUCION POR CONVECCION NATURAL DENTRO DE DUCTOS Y/O CALCULO DE LA CAIDA DE PRESION

METODOS DE DP Y H

H (SIN CAMBIO DE FASE) CORRELACIONES DE SIEDER Y TATE
FACTOR DE CORRECCION POR CONVECCION NATURAL POR D. KERN
DP (SIN CAMBIO DE FASE) CORRELACIONES DE SIEDER Y TATE

SUBRUTINAS UTILIZADAS

STSCF CALCULO DE H SIN CAMBIO DE FASE (LIQ. Y VAP.)
FCKERN CALCULO DEL FACTOR DE CORRECCION POR CONVECCION NATURAL (LIQ. Y VAP.)
OPSCFA CALCULO DE DP SIN CAMBIO DE FASE (LIQ. Y VAP.)

OBSERVACIONES

- IC1=1 CALCULO DE H,
- 2 CALCULO DE DP.
- 3 CALCULO DE AMBOS

EL CALCULO DEL FACTOR DE CORRECCION DE KERN-OTHMER POR CONVECCION NATURAL SE REALIZARA EN CASO DE QUE EL VALOR DE EL NUMERO DE REYNOLDS SEA MENOR QUE 2100. DE OTRA FORMA TOMARA EL VALOR PSY=1.0

SECTION COMMONS

```

COMMON /GEOM/ DI,AFT,TETA,UD,LT,AFTA,DITE,DOTE
           R   R   R   R   R   R   R   R   R   R
COMMON /PROPIN/ DEL1,DEV1,DEL2,VIL,VIV,CTL,CTV,CPL,CPV,BETA,
           G   G   G   G   G   G   G   G   G   G
ICAVAP,VILW,VIVW,TENSUP
           G   G   G   G
COMMON /INDI/ IF,IFISE,IPOS,IPF,ICETC,IMET,IF,ITF
           R   R
COMMON /TEMP/ TT1,TT2,TE,TW,TC,TV,T1,T2
           R   R
COMMON/CALC/ALFA,HCON,DPFR,DPAC,DPGR,DPTOT,HIOL,HIOLV,HC,HR,
           G   G
IHE,HOCFL,HOCVR,REL,REV,PSY
           G   G   G   G
COMMON /PROC/ WL,WV,X,ENT,VEV,VAP1,VAP2,CTSUE,WLE,WVE
           G   G   G   NO   G   G   RO   RO   RO

```

```

K=1
IF(IC1.EQ.2) GO TO 1
CALL STSCF
IF(REL.GT. 2100 .OR. REV.GT. 2100.) GO TO 2
K=2
CALL FCKERN(PSY)

```

57. 2 IF(K.EQ.1) PSY=1. 34
58. 3 IF(IFASE.GT.1) GO TO 60
59. 4 HIOCV=HCVWPSY
60. 5 GO TO 4
61. 6 HIOCV=HIVC*PSY
62. 7 IF(IIC1.EQ.3) GO TO 1
63. 8 RETURN
64. 9 CALL OP\$CFA(DP\$CFP,DP\$N,ICDPY)
65. 10 RETURN
66. 11 DEBUG UNIT(8),SUBCHX,INIT,SUBTRACE
67. 12 END

END FTC 73 IBANK 37 DBANK 64 COMMON

IFI

Subrutinas: STSCF, SCFCE

Subrutina STSCF.

Objetivo: Cálculo del coeficiente de transferencia de calor sin cambio de fase dentro de ductos.

Subrutina SCFCE.

Objetivo: Cálculo del coeficiente de transferencia de calor en ánulos.

D. Kern Process Heat Transfer Pág 939.

En ambas rutinas las correlaciones utilizadas son las de Sieder y Tate. En el caso de la subrutina STSCF, se emplea un índice de fase del fluido interno IFASE,
IFASE = 1 fase líquida.
IFASE = 2 fase vapor.

La subrutina SCFCE emplea un índice de fase del fluido externo IF,

IF = 1 fase líquida.
IF = 2 fase vapor.

Sieder y Tate propusieron una correlación tanto para calentamiento como para enfriamiento de varios fluidos, principalmente fracciones del petróleo, en tubos horizontales y verticales, llegando a una ecuación para el flujo laminar en donde REL menor a 2100, de la forma:

$$FJH = 1.86 * (REL * (DI/LT))^{0.333}$$

La ecuación anterior da desviaciones máximas de la media de aproximadamente $\pm 12\%$ excepto para agua. Después del rango de transición, los datos pueden extenderse a flujo turbulento y evaluarse el factor FJH mediante la ecuación:

$$FJH = 0.027 * REL^{0.8}$$

en donde el coeficiente de transferencia de calor en fluidos líquidos sin cambio de fase se evalúan mediante:

$$HIOCL = FJH * (CTL / DO) * PRL^{0.333}$$

Para el caso de fase vapor el factor FJH se evalúa como una función de el número de Graetz, el cual se determina mediante la siguiente expresión:

$$GTZ = 0.7854 * REV * PRV * DI/LT$$

En caso de régimen laminar el coeficiente se evalúa mediante la expresión:

$$HIOCV = (CTV/DO) * (2.25 + (1.45 * GTZ^{0.333}))$$

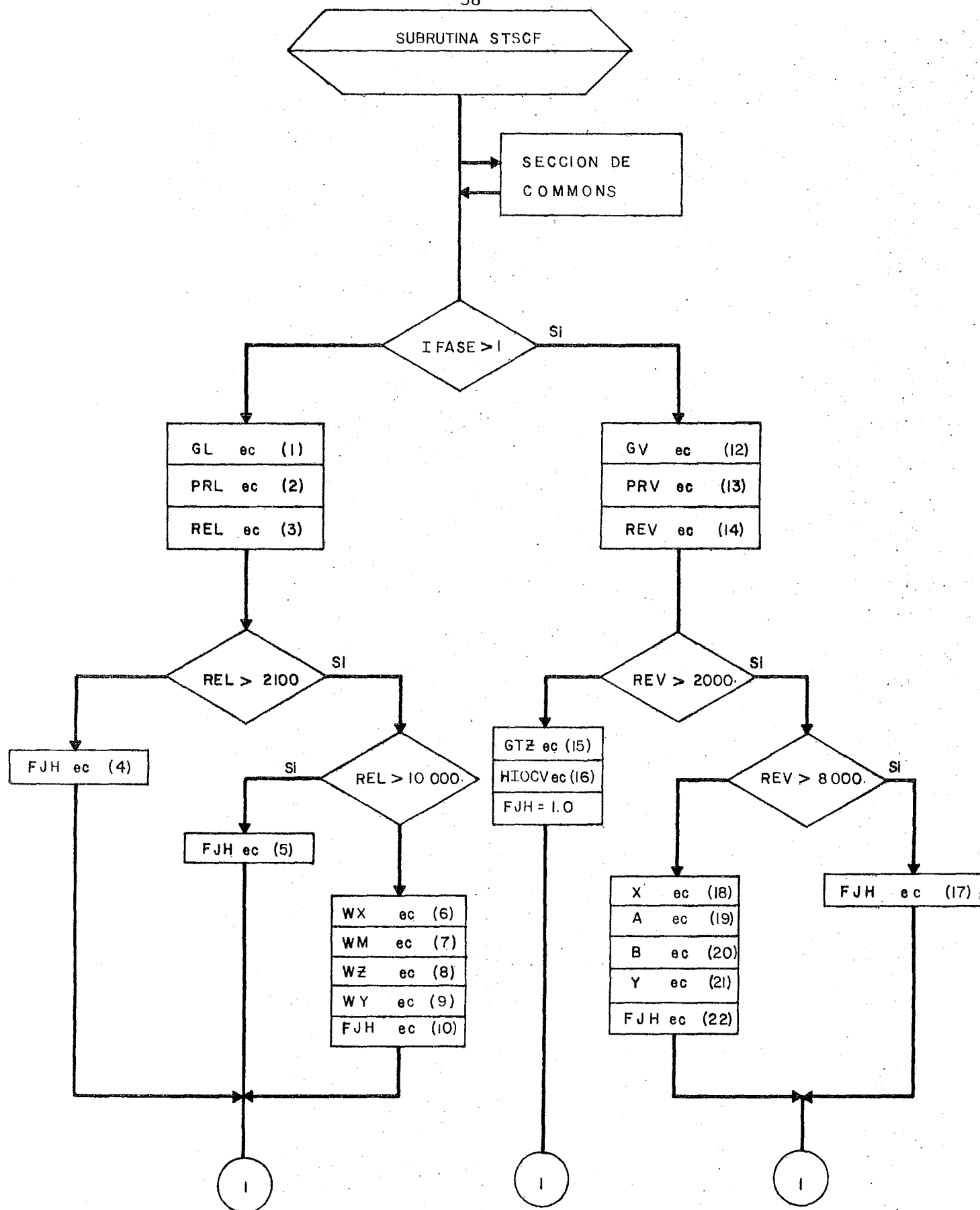
En caso de flujo turbulento el FJH se calcula mediante la expresión:

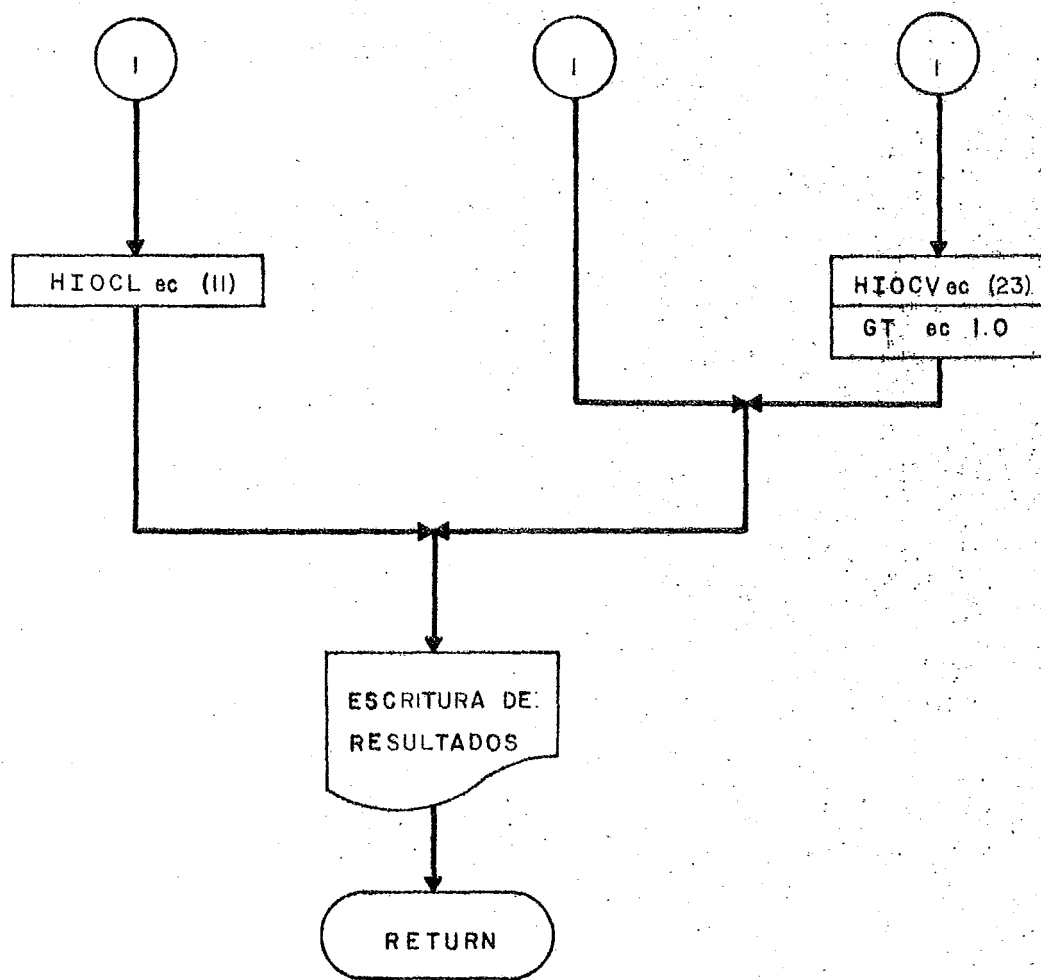
$$FJH = 0.022 * REV^{**0.8}$$

El coeficiente se calcula como función del FJH.

$$HIOCV = FJH * (CTV/DO) * PRV^{**0.4}$$

Para el caso de la subrutina SCFCE que realiza el cálculo del coeficiente externo de transferencia de calor sin cambio de fase se utilizan las mismas expresiones, evaluándose con las propiedades físicas y características geométricas externas.





ECUACIONES SUBRUTINA STSCF

GL= WL/AFT (1)
 PRL= CPL*VIL/CTL (2)
 REL= GL*DI/VIL (3)
 FJH= 1.86* (REL* (DI/LT))**0.3333 (4)
 FJH= 0.027* REL**0.8 (5)
 WX= (LT/DI) (6)
 WM= 0.533+0.286*ALOG 10 (REL) (7)
 WZ= 3.45* ALOG 10 (REL) (8)
 WY= 6.58* ALOG 10 (ALOG 10 (WX)) (9)
 FJH= 0.392* WX** (-1.28)* REL**WM+ALOG 10 (WX* (WZ+2.05+
 WY* EXP (-WZ*WZ))) (10)
 HIOCL= FJH* (CTL/DO)*PRL ** 0.3333 (11)
 GV= WV/AFT (12)
 PRV= CPV* VIV/CTV (13)
 REV= GV* DI/VIV (14)
 GTZ= 0.7854*REV*PRV*DI/LT (15)
 HIOCV= (CTV/DO)* (2.25+(1.45*GTZ** 0.3333)) (16)
 FJH= 0.022* REV** 0.8 (17)
 X= (LT/DO) (18)
 A= (ALOG (REV) -7.65) /2.66 (19)
 B= 7.64/(5.52 + ALOG(10)) (20)
 Y= A**B (21)
 FJH= EXP (0.33* ALOG (X)*(Y-1.))+ (1.42*Y)+3.1447 (22)
 HIOCV= FJH* (CTV/DO) *PRV**0.4 (23)

```

2. **** C
3. C
4. C      OBJETIVO CALCULO DEL COEFICIENTE DE TRANSFERENCIA DE CALOR SIN C
5. C          CAMBIO DE FASE DENTRO DE DUCTOS. C
6. C          (D. KERN      PROCESS HEAT TRANSFER   P. 939) C
7. C
8. C      OBSERVACIONES LAS CORRELACIONES SON LAS DE SIEDER Y TATE. C
9. C          IFASE=1 FASE LIQUIDA C
10. C             =2 FASE VAPOR C
11. C
12. C **** C
13. C
14. C      SECCION COMMONS C
15. C
16. C      COMMON /PROPIN/ DEL1,DEV1,DEL2,VIL,VIV,CTL,CTV,CPL,CPV C
17. C                      PO RO RO RO RO RO RO
18. C      COMMON /GEOM/ DI,AFT,TETA,D0,LT C
19. C                      R R     R R
20. C      COMMON /PROC/ WL,WV C
21. C                      R R
22. C      COMMON /INDI/ IE,IFASE C
23. C                      R R
24. C      COMMON /CALC/ ALFA,HCON,DPFR,DPAC,DPGR,DPTOT,HIOCL,HIOCV,HC,HR, C
25. C                      G       B
26. C      1HE,HOCLE,HOCVE,PEL,REV C
27. C                      G       G
28. C
29. C      IF(IFASE.GT.1) GO TO 16
30. C      CALCULO DEL FACTOR DE TRANSFERENCIA DE COLBRUN
31. C      PARA LIQUIDOS
32. C          GL=WL/AFT
33. C          PRL=CPL*VIL/CTL
34. C          REL=GL*DI/VIL
35. C          IF(REL.GT.2100.)GO TO 10
36. C          FJH=1.86*(REL*(DI/LT))**0.3333
37. C          GO TO 14
38. C      TRANSICION
39. 10 IF(PEL.GT.10000.)GO TO 12
40. C          WX=LT/DI
41. C          WM=0.533+0.286* ALOG10(WX)
42. C          WZ=3.45*( ALOG10(REL)-3.9)
43. C          WY=6.58* ALOG10(ALOG10(WX))
44. C          FJH=0.392*WX**(-1.28)*REL**WM
45. C          1+ALOG10(WX*(WZ+2.05+WY*EXP(-WZ*WZ)))
46. C          GO TO 14
47. C      TURBULENTO
48. 12 FJH=0.027*REL**0.8
49. 14 HIOCL=FJH*(CTL/D0)*PRL**0.3333
50. C          IF(IE.LE.2) WRITE(6,101)REL,WX,WM,WZ,WY,FJH,PRL
51. 101 FORMAT(5X,'EN STSCF REL/WX/WM/WZ/WY/FJH/PRL=',1P4E17.5,/,5X,1P3E17
52. C          *.5)
53. C          IF(IE.EQ.1) WRITE(6,100)HIOCL
54. 100 FORMAT(3X,'EN STSCF HIOCL=',1PE14.6)
55. C          GO TO 999
56. C
57. C      CALCULO DEL COEFICIENTE PARA VAPORES O GASES
58. C

```

```

59.      16 GV=WV/AFT
60.      PRV=CPV*VIV/CTV
61.      REV=GV*DI/VIV
62.      IF(REV.GT.2000.) GO TO 18
63. C   LAMINAR
64.      GTZ=0.7854*REV*PRV*DI/LT
65.      HI0CV=(CTV/D0)*(2.25+(1.45*GTZ**0.3333))
66.      FJH=1.
67.      GO TO 27
68.      18 IF(REV.GT.8000.) GO TO 25
69. C   TRANSICION
70.      X=LT/D0
71.      A=(ALOG(REV)-7.65)/2.66
72.      B=7.64/(5.52+ALOG(10))
73.      Y=A**B
74.      FJH=EXP((0.33*ALOG(X)*(Y-1.))+(1.42*Y)+3.1447)
75.      GO TO 26
76. C   TURBULENT0
77.      25 FJH=D.C22*REV**0.8
78.      26 HI0CV=FJH*(CTV/D0)*PRV**0.4
79.      GTZ=1.
80.      27 IF(IE.LE.2) WRITE(6,111) REV,PRV,GTZ,FJH,A,B,Y
81.      111 FORMAT(5X,'EN STSCF REV/PRV/GTZ/FJH/A/B/Y=',1P4E17.5,/,5X,1PE1
82.      *.5)
83.      IF(IE.EQ.1) WRITE(6,110) HI0CV
84.      110 FORMAT(3X,'EN STSCF HI0CV=',1PE14.6)
85.      999 RETURN
86.      DEBUG UNIT(8),SUBCHK,INIT,SUBTRACE
87.      END

```

TN 325 IPANK 267 DBANK 33 COMMON

SUBROUTINE SCFCE

OBJETIVO CALCULO DEL COEFICIENTE DE TRANSFERENCIA DE CALOR SIN CAMBIO DE FASE EN ANULOS.
 (D. KEPN PROCESS HEAT TRANSFER P. 939)

OBSERVACIONES LAS CORRELACIONES SON LAS DE SIEDER Y TATE.
 IF=1 FASE LIQUIDA
 2 FASE VAPOR
 DEQE=DIAMETRO EQUIVALENTE EN TRANSFERENCIA

SECTION COMMONS

COMMON /PROPOU/ DELE1,DEVE1,DELE2,VILE,VIVE,CTLE,CPLC,CPLV
 RO RO RO RO RO RO
 COMMON /GEOM/ DI,AFT,TETA,DO,LT,AFTA,DITE,DOTE
 R P R N R
 COMMON /PROC/ WL,WV,X,ENT,VEV,VAPI,VAP2,CTSUE,WLE,WVE
 R R R
 COMMON /INDI/ IE,IFASE,IPOS,IPF,ICETC,IMET,IF
 R R
 COMMON /CALC/ ALFA,HCON,DPFR,DPAC,DPGR,DPTOT,HIOCL,HIOCV,HC,HR,HE,
 HOCLE,HCCVE,REL,REV,PSY,DP2EP,HFFF,HO
 G G G .

IF(IF.GT.1) GO TO 15

CALCULO DEL FACTOR DE TRANSFERENCIA DE COLPRUN
 PARA LTQUIDOS

GLE=WLE/AFTA

PRL=CPLC*VILE/CTLE

Z=LT*TE**2

Z1=(DO**2)

DEQT=(Z-Z1)/DO

RELF=GLE*DEQT/VILE

IF(TELE.GT.1000.)GO TO 10

FJHE=1.86*(TELE*(DEQT/LT))**0.3333

GO TO 14

TRANSITION

10 IF(TELE.GT.10000.)GO TO 12

WXE=LT/DEQT

WME=-5.33+0.286* ALOG10(WXE)

WZE=3.45*(ALOG10(RELE1-3.9))

WYE=6.52* ALOG10(ALOG10(WXE))

FJHE=0.392*WXE**(-1.28)*RELE**WME

+ ALOG10(WXE*(WZE+2.05+WYE*EXP(-WZE*WZE)))

GO TO 14

TURBULENTO

12 FJHE=1.727*TELE**0.3

14 HOCL=FJHE*(CTLE/DEQT)*PRL**0.3333

15 IF(TELE.2) WRITE(6,10)RELE,WXF,WHE,WZE,WYE,FJHE,PRL

16 FORMAT(FX,'EN SCFCE RELE/WXF/WHE/WZE/WYE/FJHE/PRL=';1P4E17.5,
 7,5X,1P2E17.5)

17 IF(TELE.1) WRITE(6,10)HOCL

18 FORMAT(FX,'EN SCFCE HOCL=';1PE14.6)

CALCULO DEL COEFICIENTE PARA VAPORES O GASES

```

10 GVVE=WVE/ATTA
11 PRVF=CPVc*VIVE/CTVE
12 DEQT=((DITE**2)-(DO**2))/DO
13 REVE=GV*DEQT/VIVE
14 IF(IREVE.GT.2000.)GO TO 18
15 LAMTN=R
16 CTZE=.7854*REVE*PRVF*DEQT/LT
17 HOCVE=(CTVE/DEQT)*(2.25+(1.45*GTZE**1.333**))
18 FJHE=L
19 GO TO 27
20 IF(IREVE.GT.8000.)GO TO 25
21 TRANSICION
22 X=LT/DOFT
23 AE=(ALOG(IREVE)-7.65)/2.66
24 BE=7.64/(5.52+ALOG(10))
25 YE=NE**BE
26 FJHE=EXP((W.33*ALOG(XE)+(YE-1.))+(.42*YE)*3.1447)
27 GO TO 26
28 TURBULENT
29 FUHF=.422*REVE**.8
30 HOCVE=FJHF*(CTVE/DEQT)*PRVF**1.4
31 GTZE=L
32 IF(ITE.LF.2) WRITE(6,111)REVE,PRVE,GTZE,FJHE,AE,BE,YE
33 111 FORMAT(5X,'EN SCFCE REVE/PRVE/GTZE/FJHE/AE/BE/YE=',1P4E17.9,/,5X,
34 *1P3E17.5)
35 IF(ITE.EQ.1) WRITE(6,110)HOCLE
36 110 FORMAT(3X,'EN SCFCE HOCVE=',1P4E14.6)
37 999 RETURN
38 DEBUG UNIT(8),SUBCHK,INIT,SUBTRACE
39 END

```

LFANK 31 A DBANK 53 COMMON

Subrutina FCKERN.

Objetivo: Cálculo de factor de corrección de KERN-OTHMER por convección natural dentro de ductos.

D.KERN Process Heat Transfer pág. 206.

De la misma forma como hay una región de transición y no un punto singular de separación del flujo turbulento y la minar, debe haber una región de transición entre la convección libre de un fluido que permanece estacionario y el flujo laminar.

Kern y Othmer investigaron esta región de tubos horizontales bajo grandes diferencias de temperatura y diámetros de ductos, y evaluaron la convección libre como una corrección a la ecuación de Sieder-tate, dicha corrección se expresa como:

$$\text{PSY} = \frac{2.25 * (1 + 0.01 * \text{GR}^{0.333})}{\text{ALOG} (\text{RE})}$$

Donde RE es el número de Reynolds del líquido o del vapor y GR es el número de Grashof, el cual queda definido por la siguiente relación de fuerzas:

$$\text{GR} = \frac{(\text{Fuerzas de flotación})}{(\text{Fuerzas viscosas})} = \frac{(\text{Fuerzas de inercia})}{(\text{Fuerzas viscosas})}$$

Las fuerzas de flotación constituyen el potencial o - fuerza de impulso en el fenómeno de convección libre, Jakob utilizando el principio de Arquímedes derivó la siguiente -- ecuación para estas fuerzas:

$$\text{Fuerzas de flotación} = (G * DE * BETA * DT)$$

DE expresa la densidad del líquido o la del vapor.

Las fuerzas viscosas son proporcionales al producto - de VI*V por la definición de viscosidad dinámica de Newton.

En donde VI expresa la viscosidad de líquido o del va por.

Las fuerzas de inercia son proporcionales al producto DE*V**2.

Si DI es una dimensión característica del sistema el número de Grashof queda definido como:

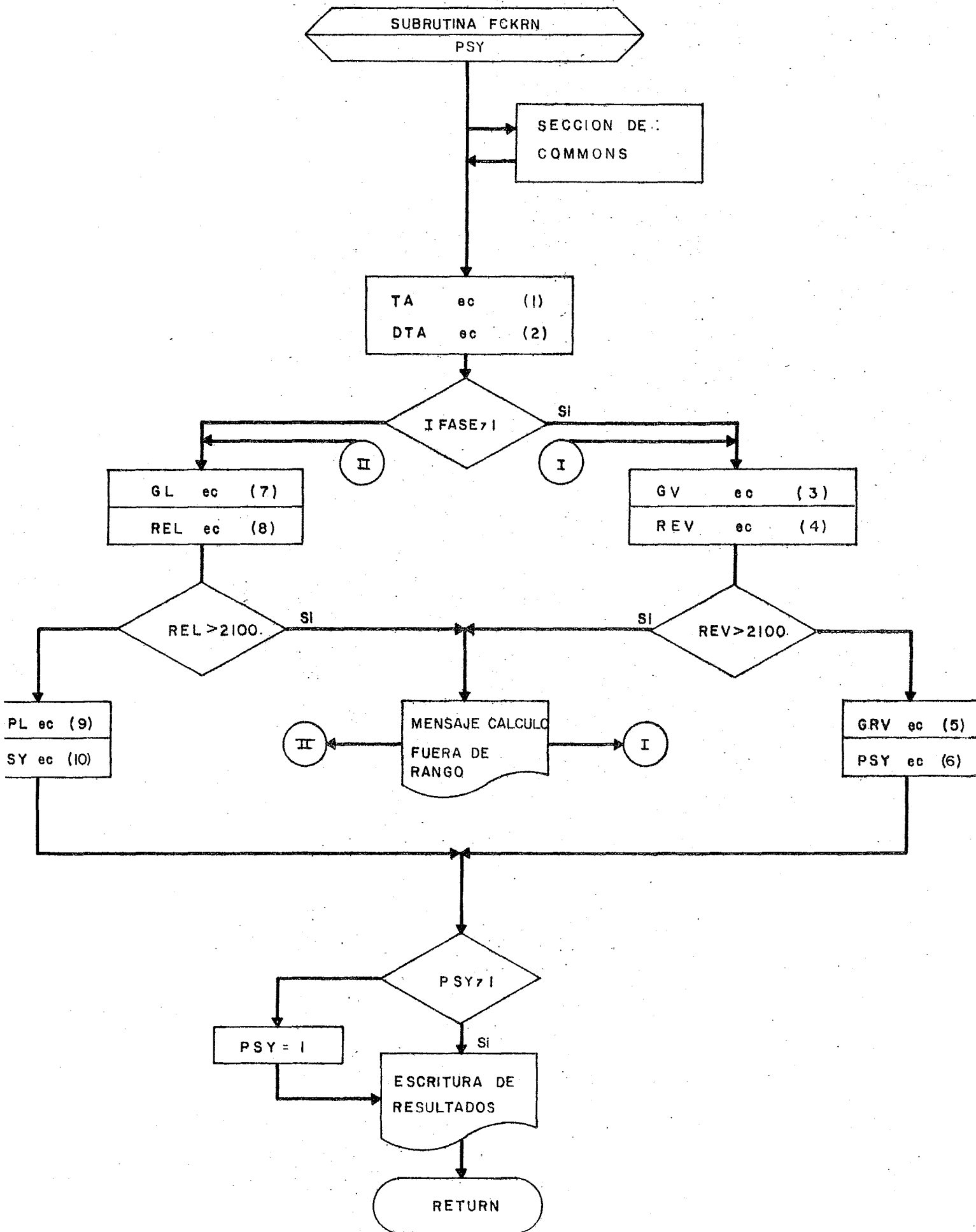
$$GR = \frac{(DI^{**3}) * (DE^{**2}) * G * BETA * DT}{(VI^{**2})}$$

Dicho número se evalua de las propiedades del fluido a la temperatura:

$$TA = (T_1 + T_2) / 2.$$

HI se calcula ordinariamente y se puede corregir por convección libre al multiplicarle por PSY.

Los dos factores que de ordinario tienen más influencia en la convección libre son la baja viscosidad y las diferencias de temperatura elevadas.



ECUACIONES SUBRUTINA FCKERN

$$TA = (T_1 + T_2) / 2. \quad (1)$$

$$DTA = TW - TA \quad (2)$$

$$GV = WV / AFT \quad (3)$$

$$REV = GV * DI / VIV \quad (4)$$

$$GRV = (DI^{**3}) * DEVI * DEVI * BETA * DTA * 416923200. / (VIV * VIV) \quad (5)$$

$$PSY = 2.25 * (1. + (0.01 * GRV^{**0.333})) / ALOG 10 (REV) \quad (6)$$

$$GL = WL / AFT \quad (7)$$

$$REL = GL * DI / VIL \quad (8)$$

$$GRL = (DI^{**3}) * DEL1 * DEL1 * BETA * DTA * 416923200. / (VIL * VIL) \quad (9)$$

$$PSY = 2.25 * (1. + (0.01 * GRL^{**0.333})) / ALOG 10 (REL) \quad (10)$$

SUBROUTINE SCHERN(PSY)

1. C
 2. C *****
 3. C
 4. C OBJETIVO: CALCULO DEL FACTOR DE CORRECCION DE KERN-OTHMER POR
 5. C CONVECCION NATURAL DENTRO DE DUCTOS.
 6. C (D. KERN - PROCESS HEAT TRANSFER P.206)
 7. C
 8. C OBSERVACIONES: EL FENOMENO DE CONVECCION NATURAL TIENDE A DESAPA-
 9. C RECER AL INCREMENTAR EL REYNOLDS, SI EL REYNOLDS TIEN-
 10. C DE A CAPTURAR UN REGIMEN TURBULENTO PSY=1.
 11. C
 12. C IFASE=1: FASE LIQUIDA
 13. C 2: FASE VAPOR
 14. C
 15. C *****
 16. C
 17. C SECTION COMMONS
 18. C
 19. C COMMON /PROPIN/ DEL1,DEV1,DEL2,VIL,VIV,CTL,CTV,CPL,CPV,BETA
 20. C R R R R R R R R
 21. C COMMON /FLOM/ DI,AFT
 22. C R R
 23. C COMMON /PROC/ WL,WV
 24. C R R
 25. C COMMON /INDI/ IE,IFASE
 26. C R R
 27. C COMMON /TEMPE/ TT1,TT2,TE,TW,TC,TU,T1,T2
 28. C R R R R R R R R
 29. C
 30. C TA=TT1+TE/2.
 31. C ETATTW=TA
 32. C IF(IFASE.GT.1) GO TO 10
 33. C GL=1/E/AT
 34. C REL=GL*(1/VIL)
 35. C IF(PEL,GT,2100.) GO TO 11
 36. C DPL=(DI+V1)*DEL1*DEL1*BETA*DJA*416923206/(VIL*VIL)
 37. C PSY=2.25*(1.+10.01*SHR**0.333)/ALOC10(PEL)
 38. C GO TO 15
 39. C CALCULO DEL FACTOR DE CORRECCION PARA VAPORES O GASES
 40. C DEV1=V1/AFT
 41. C RTV=GV*EL/VIV
 42. C IF(RTV,GT,2100.) GO TO 11
 43. C CALCULO DEL COEFICIENTE DE EXPANSION TERMICA DEL GAS
 44. C SE SUPONE COMPORTAMIENTO IDEAL
 45. C TAC=(TA-273.15)/1.0
 46. C TA0=TA+273.15
 47. C BETA=1.7*ABS
 48. C RRV=(DI+V1)*DEV1*BETA*(TA+416923206)/(VIV*VIV)
 49. C PSY=2.25*(1.+10.01*SHR**0.333)/ALOC10(RRV)
 50. C GO TO 15
 51. C
 52. C 11 WRITE(6,12)
 53. C 12 FORMAT(12,"LA CONTRACCION POR CONVECCION NATURAL, TIENDE A
 54. C DESAFECTAR A REGIMEN TURBULENTO (CONTINUO)
 55. C IF(IFASE.GT,1)GO TO 14
 56. C GO TO 15
 57. C
 58. C 14 IF(IFSY,GT,1) GO TO 9
 59. C PSY=1
 60. C GO TO 16,100

59. 10 FOLVITKA, "NO EXISTE LA DISTRIBUCION POR CONVECCION NATURAL."
60. 90 IFATE(LF,2) WRITE(6,10) TRL,ERV,PSY
61. 100 FORMAT(IX,"N FCKEPN TRL/GRV/PSY=",1P3E14.6)
62. RETURN
63. DEING UNIT(6),SUBCK,I,IT,SURFACE
64. END

ETE 1.1 SPANK 16c DEFTRK ZA CENON

Subrutina DPSCFA (DPSCFP, DPAN)

Objetivo: Cálculo de caída de presión dentro y/o fuera de ductos para fluidos no isotérmicos sin cambio de fase, se utilizan criterios y correlaciones de Sieder y Tate.

D. Kern Process Heat Transfer P. 941.

Cuando un fluido incompresible fluye en un tubo horizontal uniforme, sin cambios en su masa velocidad, la presión del fluido disminuye a lo largo de la tubería debido a la fricción. Este fenómeno se denomina comúnmente como caída de presión del sistema DP. la caída de presión por unidad de longitud se expresa como gradiente de presión (dP/dL) el cual se ha encontrado que es una función de las siguientes propiedades del ducto y del fluido:

Diámetro del ducto, velocidad, densidad y viscosidad del fluido y de la gravedad que establece la equivalencia dimensional entre la masa y la fuerza.

Al efectuar el análisis dimensional (ver apéndice), se obtiene la expresión:

$$DP = \frac{(C * (GL * GL) * LT)}{DI * DEL1 * G} * \frac{(DI * GL)}{VIL} ** (-d)$$

En donde las constantes C y d se evalúan de datos experimentales.

Para flujo turbulento, isotérmico, la caída de presión es función del número de Reynolds y de la rugosidad de la tubería, es decir:

$$FF' = \frac{(DP * G * DEL1 * DI)}{GL * GL * LT} = C \frac{(DI * GL)}{VIL} ** (-d)$$

Cuando se dispone de datos experimentales es conveniente obtener una correlación graficando fanning como una función del número de Reynolds, es decir:

$$FF' = \frac{(DP * 2 * G * DEL1 * DI)}{4 * (GL * GL) * LT} = C \frac{(REL)}{REL ** (-d)}$$

Usualmente se expresa la caída de presión DP en términos de DF, siendo $DF = \frac{(DP)}{DEL1}$ en donde DF es la caída de presión expresada en pies de líquido.

$$DF = \frac{(4 * FF * (GL * GL) * LT)}{2 * G * (DEL1 * DEL1 * DI)}$$

Para la parte de la gráfica correspondiente a flujo laminar, (Reynolds 2100. a 2300.) la ecuación puede deducirse de consideraciones teóricas únicamente, verificándose experimentalmente sus resultados, dicha ecuación se expresa como:

$$\frac{DF = (32 \cdot VIL \cdot GL)}{G \cdot (DEL1 \cdot DEL1) \cdot (DI \cdot DI)}$$

Igualando ambas expresiones, puesto que ambas aplican a la región de flujo laminar se obtiene:

$$FF = (16 ./ (DL \cdot GL / VIL))$$

$$FF = (16 ./ REL)$$

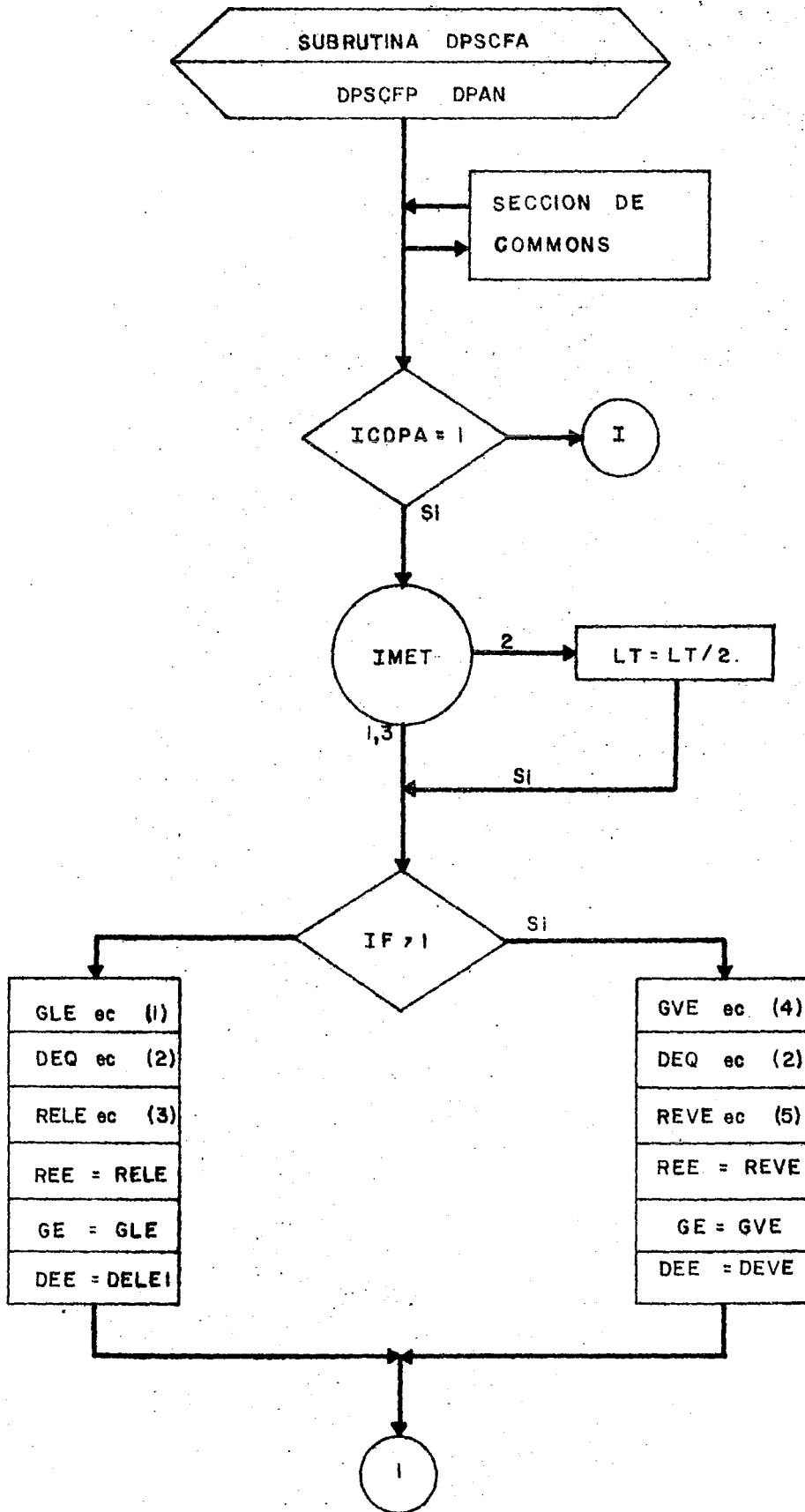
Sieder y Tate correlacionaron los factores de fricción para fluidos no isotérmicos que se calientan o se enfrian y obtuvieron la expresión:

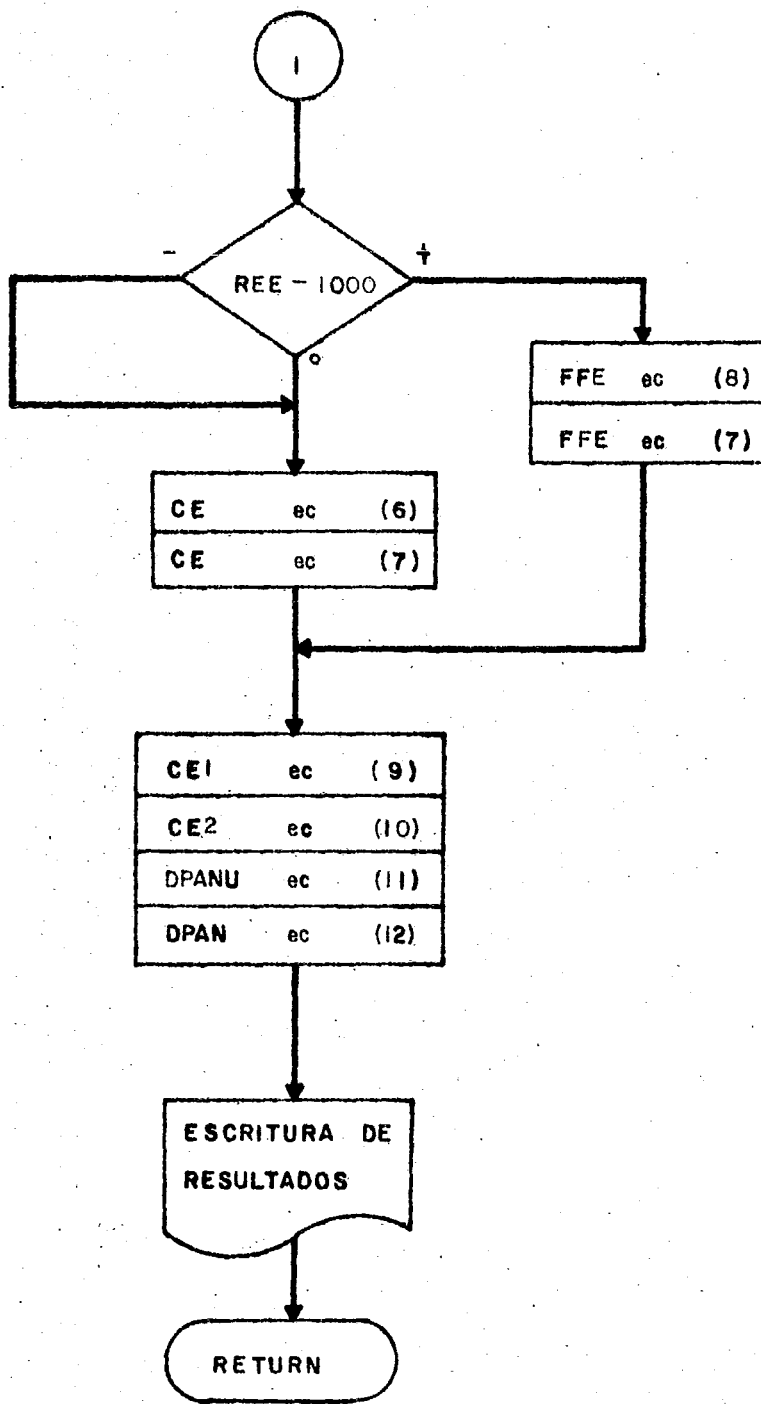
$$DPSCF = \frac{(FF \cdot GL \cdot GL \cdot LT)}{(2 \cdot G \cdot DI \cdot DEL1)} * A$$

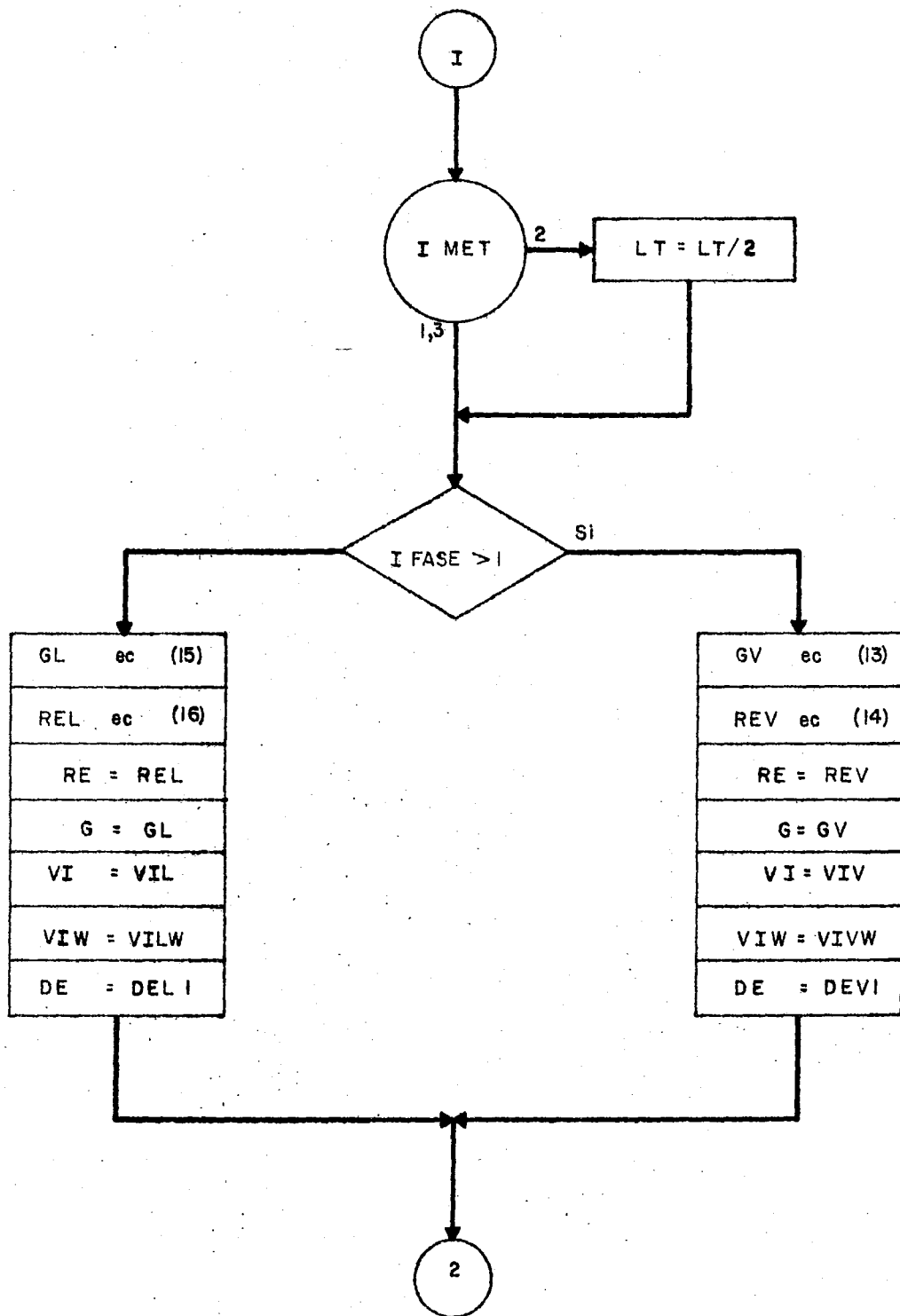
En donde $A = (VILW / VIL)^{**E}$

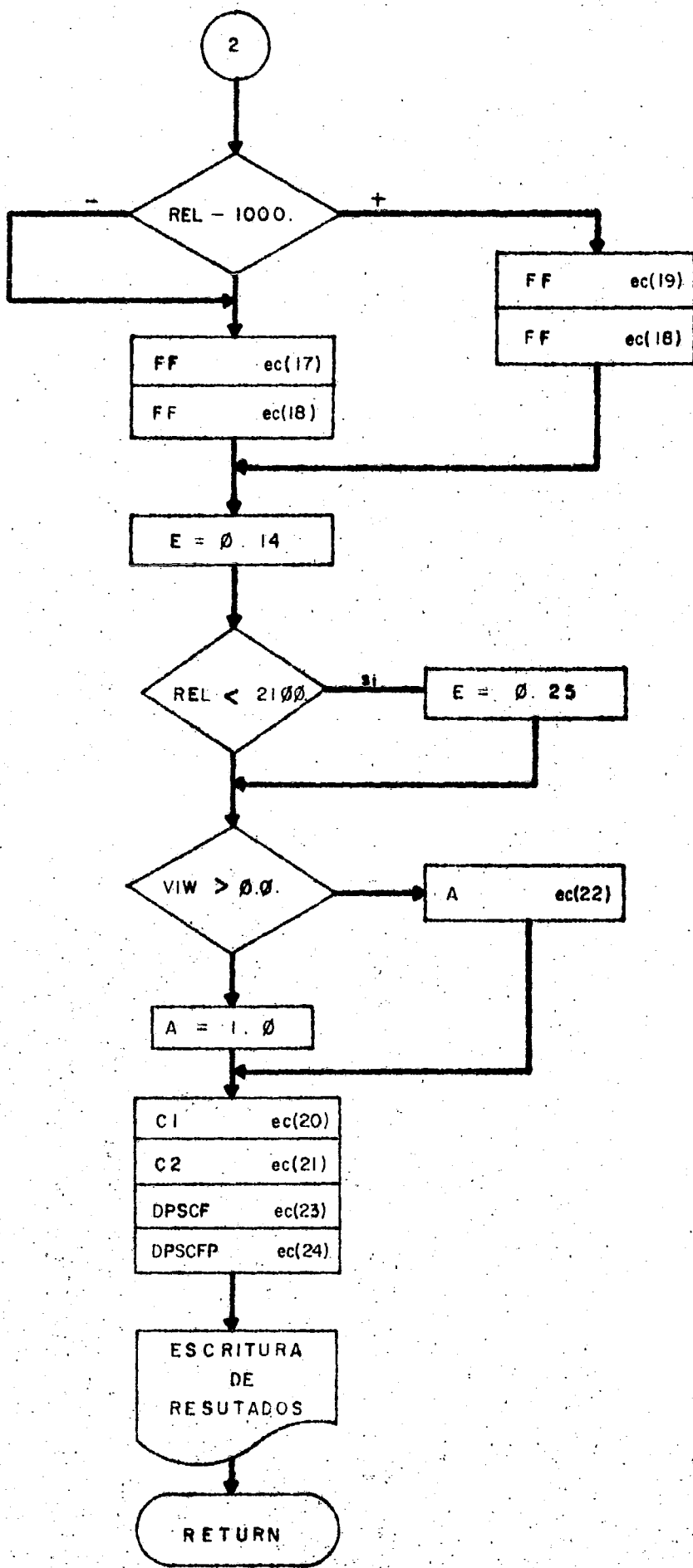
Siendo $E = 0.14$ No. de Reynolds > 2100 .
 $E = 0.25$ No. de Reynolds ≤ 2100 .

La expresión anterior se utiliza como base de cálculo de DP indistintamente, si se trata de líquido o vapor.









ECUACIONES SUBRUTINA DPSCFA

GLE= WLE/AFTA (1)
 DEQ= (DITE-DO) (2)
 RELE= (GLE*DEQ/VILE) (3)
 GVE= WVE/AFTA (4)
 REVE= (GVE*DEQ/VIVE) (5)
 FFE= 0.4821037*REE**(-0.99355) (6)
 FFE= FFE*144. (7)
 FFE= (2.7595 E-3)*REE**(-0.240697) (8)
 CE1= (FFE*GE*GE*LT) (9)
 CE2= (2.*416923200.*DEQ*DEE) (10)
 DPANU= (CE1/CE2) (11)
 DPAN= (DPANU/144.) (12)
 GV= WV/AFT (13)
 REV= GV*DI/VIV (14)
 GL= WL/AFT (15)
 REL= GL*DI/VIL (16)
 FF= 0.4821037*RE**(-0.99355) (17)
 FF= FF*144. (18)
 FF= (2.7595 E-3)*RE**(-0.240697) (19)
 C1= (FF*G*G*LT) (20)
 C2= (2.*416923200.*DI*DE) (21)
 A= (VIW/VI)**E (22)
 DPSCF= (C1/C2)*A (23)
 DPSCFP= DPSCF/144 (24)

*1 722780-9 29

SUBROUTINE DPSCFA (DPSCFP,DPAN,ICDPA)

2. C*****
3. C
4. C OBJETIVO CALCULO DE CAIDA DE PRESION DENTRO Y FUERA DE DUCTOS
5. C PARA FLUIDOS NO ISOTERMICOS SIN CAMBIO DE FASE, SE
6. C UTILIZAN CRITERIOS Y CORRELACIONES DE SIEDER Y TATE.
7. C (D. KERN PROCESS HEAT TRANSFER P.941)

9. C OBSERVACIONES IFASE=1 LIQUIDO IMET=1 U A TEMP. MEDIA
 10. C =2 VAPOR =2 U LOGARITMICA
 11. C =3 U A TEMP. CALORICA
 12. C DEQ ES EL DIAMETRO EQUIVALENTE PARA CAMBIADORES
 13. C DE DOBLE TUBO.
 14. C
 15. C ICDPA ES EL INDICE PARA EL CALCULO DE CAIDA DE
 16. C CAIDA DE PRESION EN LA SECCION ANULAR.
 17. C ICDPA=1 EFECTUA EL CALCULO.

17. C 18. C 19. C 20. C

```

21. C SECCION COMMONS
22. C
23. C COMMON/PROPIN/ DEL1,DEV1,DEL2,VIL,VIV,CTL,CTV,CPL,CPV,
24. C RO RO RO RO
25. C 1BETA,CAVAP,VILW,VIVW
26. C RO RO
27. C COMMON/PROPOU/ DELE1,DEVE1,DELE2,VILE,VIVE
28. C RO PO RO RO
29. C COMMON/GEOM/ DI,AFT,TETA,DO,LT,AFTA,DITE
30. C R R R R RO RO
31. C COMMON/PROC/ WL,WV,X,ENT,VEV,VAPI,VAP2,CTSUE,WLE,WVE
32. C RO RO RO RO
33. C COMMON/INDI/ IE,IFASE,IPOS,IPF,ICETC,IMET,IF
34. C R R R RO

```

TE/TCBRA-FO-1169 TO 140

36 11 VICEPRESIDENTES
37 50 TC 41

AD 60 TO 60-61-601-1MET

38- 61 TE (N-FD-1160 TO 6B

61-21 INDEXES
1151143

60 TEATE-ST-1160 TO A2

42. C CALCULO PARA FASE I TOUTA EXTERNA

**47. CRISESES PARA
CIEGWIE/AETA**

DEE-WEETAWA
DEE-WEETAWA

BRUNSWICK
REFLECTIONS

46 REEFER

RECORDED
47. GEEGLE

REF ID: A6114

SEE-SEE-SEE
GO TO 43

50 - C CALCULO

51 42 GVE=HVE/

DECEMBER 1982

REVIEWED

REVIEWER
BEE = BEE VE

RECEIVED
FEB 2 1968
GEE-GV

SECRETIVE
REFINERIE

57. DEE-BEE-VE
H3 TE/REF=1

51-2 84 EEEED-481

Digitized by srujanika@gmail.com

```

      GO TO 144.
60.   GO TO 46
61.   45 FFE=(2.7595E-3)*REE**W(-0.240697)
62.   FFE=FFE*144.
63.   46 CE1=(FFE*GE*GE*LT)
64.   CE2=(2.*416923200.*DEQ*DEE)
65.   DPANU=(CE1/CE2)
66. C    CAIDA DE PRESION EN (LB/IN**2)
67.   DPANE=DPANU/144.
68.   GO TO 50
69.   41 GO TO(1,11,1),IMET
70.   11 IF(N.EQ.1)GO TO 1
71.   LT=LT/2.
72.   1 IF(IFASE.GT.1)GO TO 10
73. C    CALCULO PARA FASE LIQUIDA
74.   GL=WL/AFT
75.   RE=GL*DI/VIL
76.   RE=REL
77.   GE=GL
78.   VI=VIL
79.   VIW=VILW
80.   DE=DEL1
81.   GO TO 9
82.   10 GV=WV/AFT
83.   REV=GV*DIV/VIV
84.   RE=REV
85.   G=GV
86.   VI=VIV
87.   VIVW=VIW
88.   DE=DEV1
89.   9 IF(RE<-1000.)2,2,3
90.   2 FF=0.4821037*RE**(-0.99355)
91.   FF=FF*144.
92.   GO TO 4
93.   3 FF=(2.7595E-3)*RE**(-0.240697)
94.   FF=FF*144.
95.   4 E=0.14
96.   IF(IE.LT.-2100.) E=0.26
97.   IF(VIW.GT.0.0) GO TO 30
98.   A=1.0
99.   31 C1=(FF*G*GL*LT)
100.  C2=(2.*416923200.*DI*DE)
101.  DPSCF=(C1/C2)*A
102. C    CAIDA DE PRESION EN (LB/IN**2)
103.  DPSCFP=DPSCF/144.
104.  GO TO 103
105.  30 A=(VIW/VI)**E
106.  GO TO 31
107.  30 IF(IE.EQ.1) WRITE(6,51)DPANU,DPAN
108.  51 FORMAT(3X,'EN DPSCFA DPANU/DPAN=',1P2E14.6)
109.  IF(IE.LE.2) WRITE(6,52)RELE,REV,FFE,CE1,CE2
110.  52 FORMAT(5X,'EN DPSCFA RELE/REV/FFE/CE1/CE2=',1P3E14.6
111.  *,/,5X,1P2E14.6)
112.  GO TO 53
113.  103 IF(IE.EQ.1) WRITE(6,102)DPSCF,DPSCFP
114.  102 FORMAT(3X,'EN DPSCFA DPSCF/DPSCFP E ',1P2E14.6)
115.  IF(IE.LE.2) WRITE(6,101)REL,REV,FF,A,C1,C2
116.  101 FORMAT(5X,'EN DPSCFA REL/REV/FF/A/C1/C2=',1P3E14.6,/,5X,1P3E1
117.  *6)
118.  53 RETURN

```

119. DEBUG UNIT(8),SUBCHK,INIT,SUBTRACE
120. END

END FTN 449 IPANK 327 DBANK 42 COMMON

&FIN

Subrutina HYDP (IC).

Objetivo: Los objetivos de esta rutina son:

- a).- Determinación del patrón de flujo a dos fases.
- b).- Cálculo del coeficiente de transferencia de calor por condensación.
- c).- Cálculo de la caída de presión en flujo a dos fases, dentro de ductos de sección transversal uni forme.

La subrutina HYDP funciona como directriz en torno al fenómeno de caída de presión y transferencia de calor en flujo a dos fases. Dado que las condiciones de operación más comunes comprenden tres tipos de flujo, estratificado, onda y anular, el modelo está restringido a estos tres patrones. En tanto que no se cuenta con correlaciones para cada uno de los siete patrones de flujo establecidos en el mapa de Mandhane, se harán las sustituciones convenientes de acuerdo a la semejanza con los modelos físicos de las correlaciones existentes.

Al ejecutar la subrutina de patrones de flujo (PATFLU), en caso de obtener un patrón de flujo tipo burbuja, se approxima dicho patrón a un flujo líquido sin cambio de fase mediante la subrutina de Seader y Tate sin cambio de fase - (STSCF).

Para efecto de cálculos del coeficiente de transferencia de calor por condensación y la caída de presión el modelo hace uso de las siguientes subrutinas :

PATFLU: Cálculo de patrones de flujo.

ALFAZ: Cálculo de la fracción de vacío.

DPFRIC: Cálculo de componente por fricción de DP modelo anular.

DPACC: Cálculo del componente por aceleración de DP modelo anular.

DPGRAV: Cálculo del componente por gravedad de DP modelo anular.

HCOND: Cálculo del coeficiente por condensación modelo anular.

HESTRA: Cálculo del coeficiente por condensación modelo estratificado.

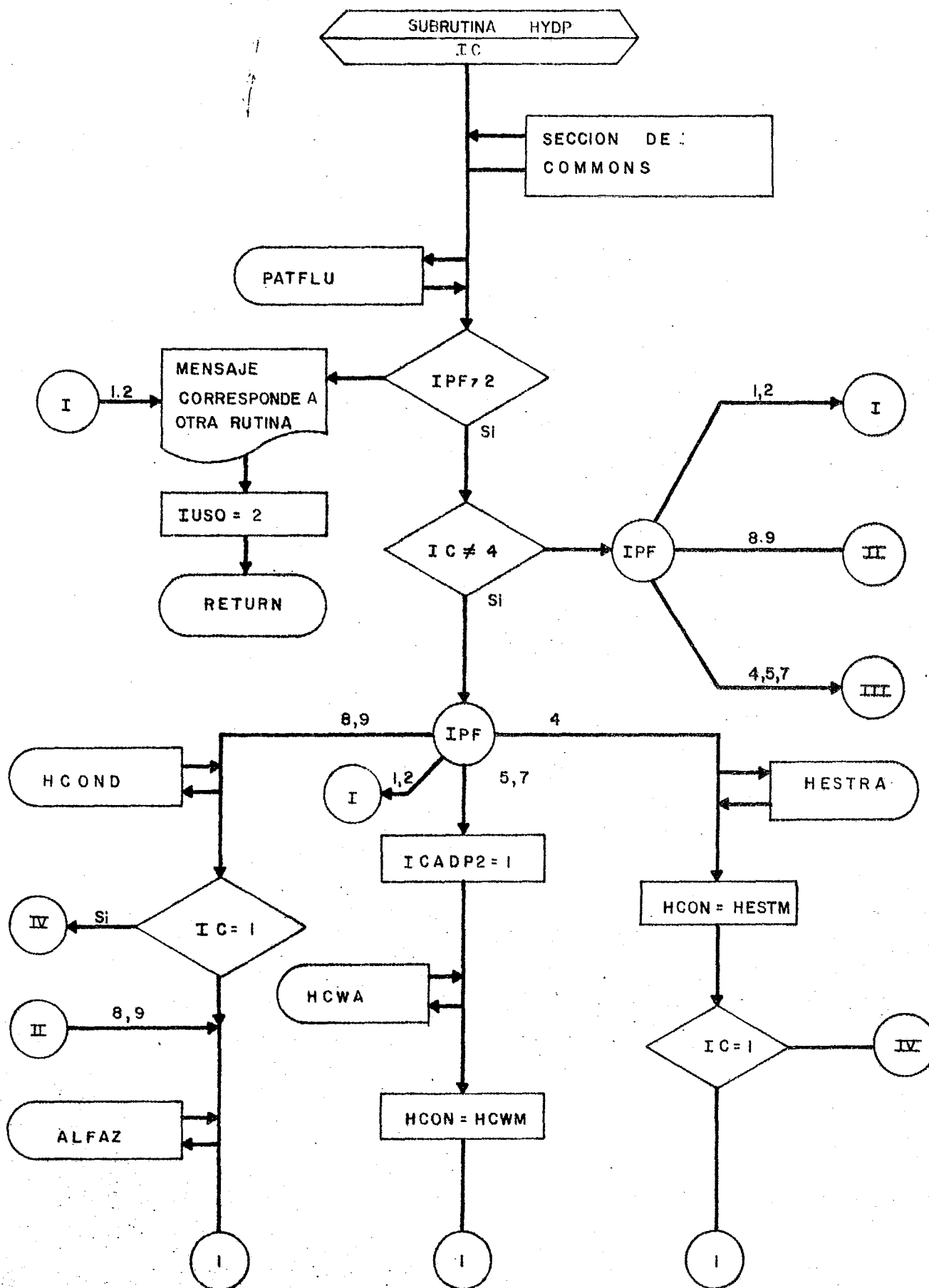
HCOWA: Cálculo del coeficiente por condensación modelo onda, y cálculo de caída de presión por el método de LOCKHART-MARTINELLI.

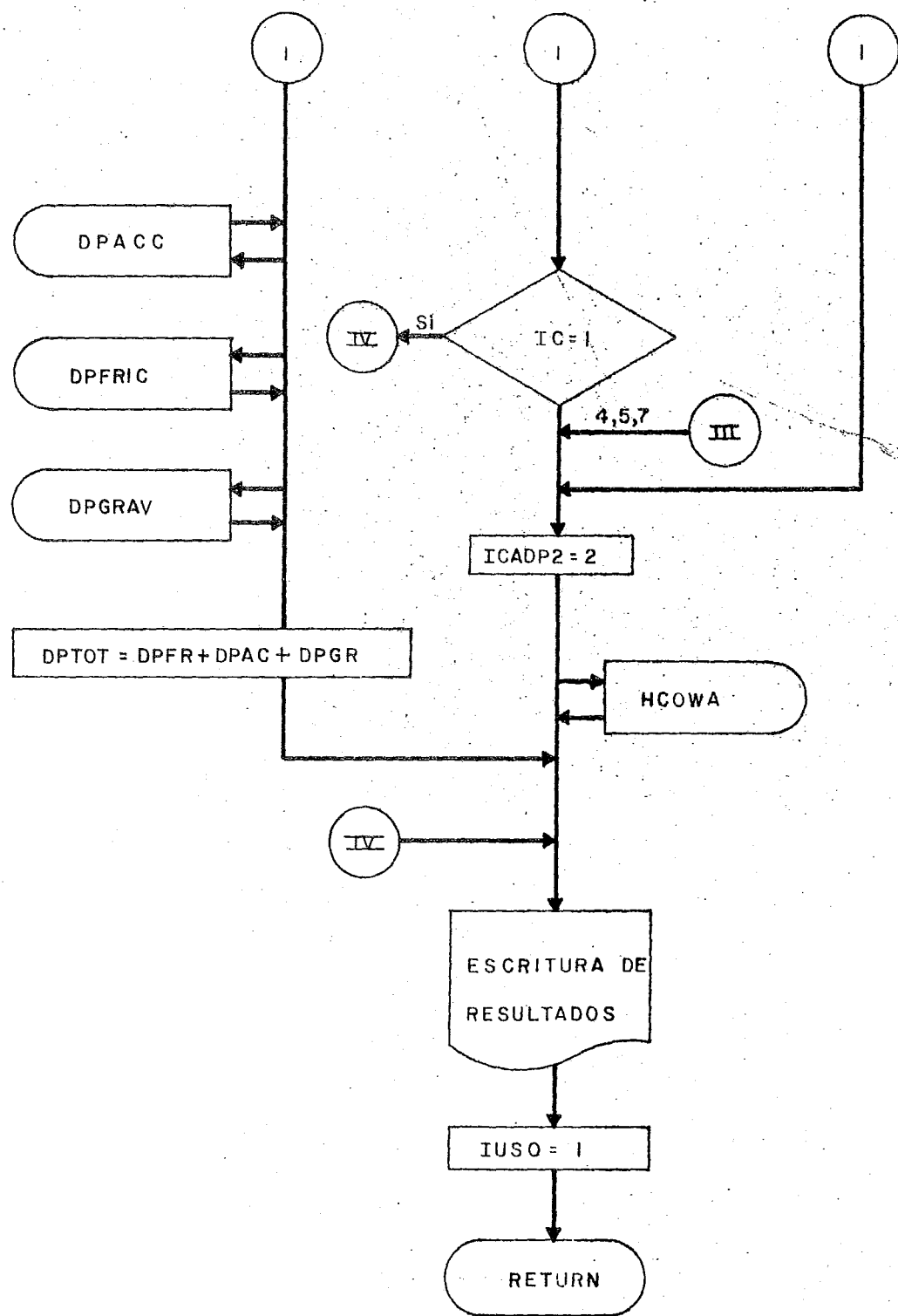
El tipo de cálculo a efectuarse, está determinado por un índice de cálculo IC.

IC=1 Cálculo de H

IC=2 Cálculo de DP

IC=3 Cálculo de ambos.





SUBROUTINE HYDR (T)

OBJETIVO: CALCULO DEL COEFICIENTE DE TRANSFERENCIA DE CALOR POR CONDENSACION Y AL CALCULO DE LA CAIDA DE PRESION EN FLUJO A DOS FASES DENTRO DE DUCTOS DE SECCION TRANSVERSAL UNIFORME.

METODOS: CPY Y EP (MODELO ANGULAR) CORRELACIONES DE SOLIMAN
FRACCION DE VACIO POR CORRELACIONES DE ZIVI
PATRONES DE FLUJO POR MANDHANE
DE AUXILIARI POR LOCKHART-MARTINELLI
H(ESTRATIFICADO) POR CHADDOCK
H(ONDA) POR RUSSON-MYERS

SUBROUTINES UTILIZADAS:

DIFFLJ CALCULO DE PATRONES DE FLUJO
ALFAZ CALCULO DE LA FRACCION DE VACIO
DFRACC CALCULO DEL COMPONENTE POR FRICCIÓN
DZAGO CALCULO DEL COMPONENTE POR ACCELERACION
DEGRAV CALCULO DEL COMPONENTE POR GRAVEDAD
HCOND CALCULO DE H. CONDENSACION (ANULAR)
HCONW CALCULO DE H. CONDENSACION (ONDA)
YDP (LOCKHART-MARTINELLI)
HSTRA CALCULO DE H. CONDENSACION (ESTRATIFICADO)

OBSERVACIONES:

- 1 ACC=1 CALCULO DE HV
- 2 CALCULO DE EP
- 3 CALCULO DE AMBOS
- 4 CALCULO DE DR CON HV COMO DATO. (EN COMMON)

VALO QUE NO SE CUENTA CON CORRELACIONES PARA CADA UNO DE LOS ESTERMIENTOS DE FLUJO ESTABLECIDOS EN EL MAPA DE MANDHANE, SE HACEN LAS SUSTITUCIONES CONVENIENTES DE ACUERDO A LA SEMEJANZA CON LOS MODELOS FISICOS DE LAS CORRELACIONES EXISTENTES.

SECTION COMMONS:

COMMON /ADIV/ IF,TFASE,IPOS,IPF,ICLTC,IMET,IF,ITF
COMMON /R/ R,RR,R
COMMON /CALC/ALFA,HCON,DPER,DFAC,DPER,OPTOT,HICL,HICLV,HC,MR,HE,
COMMON /G/ G,G
COMMON /HCALE/HCALE,HCLE,RCLE,REL,V,V,P,S,P,SY,DP2FF,HEFF,HU
COMMON /G/ G,G
COMMON /VERORIN/DEL1,DLVI,DEL2,VIL,VIV,CTL,CTV,CPL,CPV,BETA,
COMMON /C/ C,G
COMMON /VAP/VILH,VIVW,TINSUP
COMMON /DI/ DI,RET,TETA,DOV,I,AFT,I,DITE,DOTE
COMMON /R/ R,R
COMMON /TMRE/TI,TT,I,T,,TW,TG,TV,T1,T2,T01,T02,TSUE,TT01,TT02
COMMON /P/ P,G

```

COMMON /PROC/ WL,WV,X,ENT,VEV,VAPI,VAP2,CTSUE,WLE,WVE
          G G G G G G G R R0 RD
C         CALL PATFLU(ITF)
10        IF(IPF.GT.2) GO TO 10
11        WRITE(6,300)
12        FORMAT(5X,'EN HYDP,IPF=1 O 2 CORRESPONDE A OTRA RUTINA')
13        TU$O=2
14        GO TO 170
15        IF(TC.NE.4) GO TO 20
16        GO TO(11,11,12,12,13,13,14,14),IPF
17        GO TO(11,11,21,21,22,22,23,23),IPF
18        CALL HCCND
19        IF(IC.EQ.1) GO TO 30
20        CALL ALFAZ
21        CALL DPACC
22        CALL DPFRIC
23        CALL OPERAV
24        PTOT=DPFR+DPAC+DPGR
25        GO TO 31
26        ICADP2=1
27        CALL HCCWA(HCWM,ICADP2)
28        CON=HCWM
29        IF(IC.EQ.1) GO TO 30
30        ICADP2=2
31        CALL HCCWA(HCWM,ICADP2)
32        CON=HCWM
33        GO TO 34
34        CALL HESTRA(HESTM)
35        CON=HESIM
36        IF(IC.EQ.1) GO TO 30
37        ICADP2=2
38        CALL HCCWA(HCWM,ICADP2)
39        CON=HCWM
40        WRITE(6,301)
41        FORMAT(5X,'EN HYDP TERMINA CALCULO. TU$O=1')
42        RETURN
43        DEBUG UNIT(8),SUBCHK,INIT,SUBTRACE
44        END

```

LEANK 83 DLEANK 72 COMMON

Subrutina PATFLU (ITF)

Objetivo: Determinar el patrón de flujo a dos fases basado en el mapa de Mandhane.

R. Mandhane Ind. Engineering Chem. Vol. 32 pág. 115.

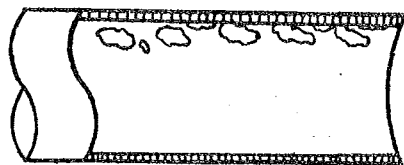
Para flujo adiabático a dos fases, los patrones de flujo observados son los que muestra la figura. Todos ellos pueden presentarse en la condensación de un vapor saturado, sujeto a la limitación de que en toda superficie condensante, existirá una película de condensado no obstante la configuración de flujo. Como en el caso del modelo estratificado.

La subrutina opera mediante un índice de tipo de fluido ITF,

ITF = 1 agua

ITF = 2 otro fluido.

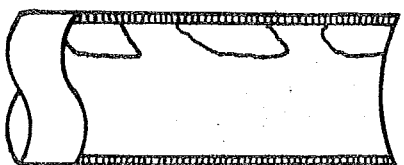
Calcula los parámetros de entrada al mapa, VV, VL y determina el patrón de flujo. En caso de no ser agua, los parámetros de entrada antes mencionados son corregidos en función de las propiedades físicas una vez determinado el



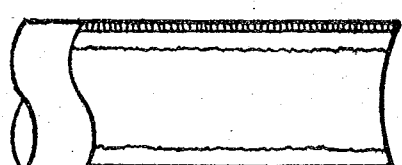
BURBUJA



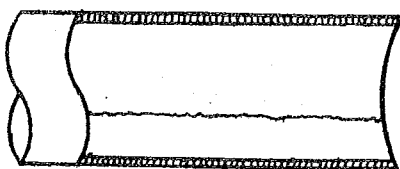
SLUG



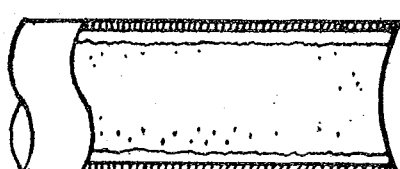
PISTON



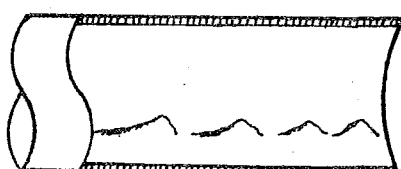
ANULAR



ESTRATIFICADO



ANULAR MIST

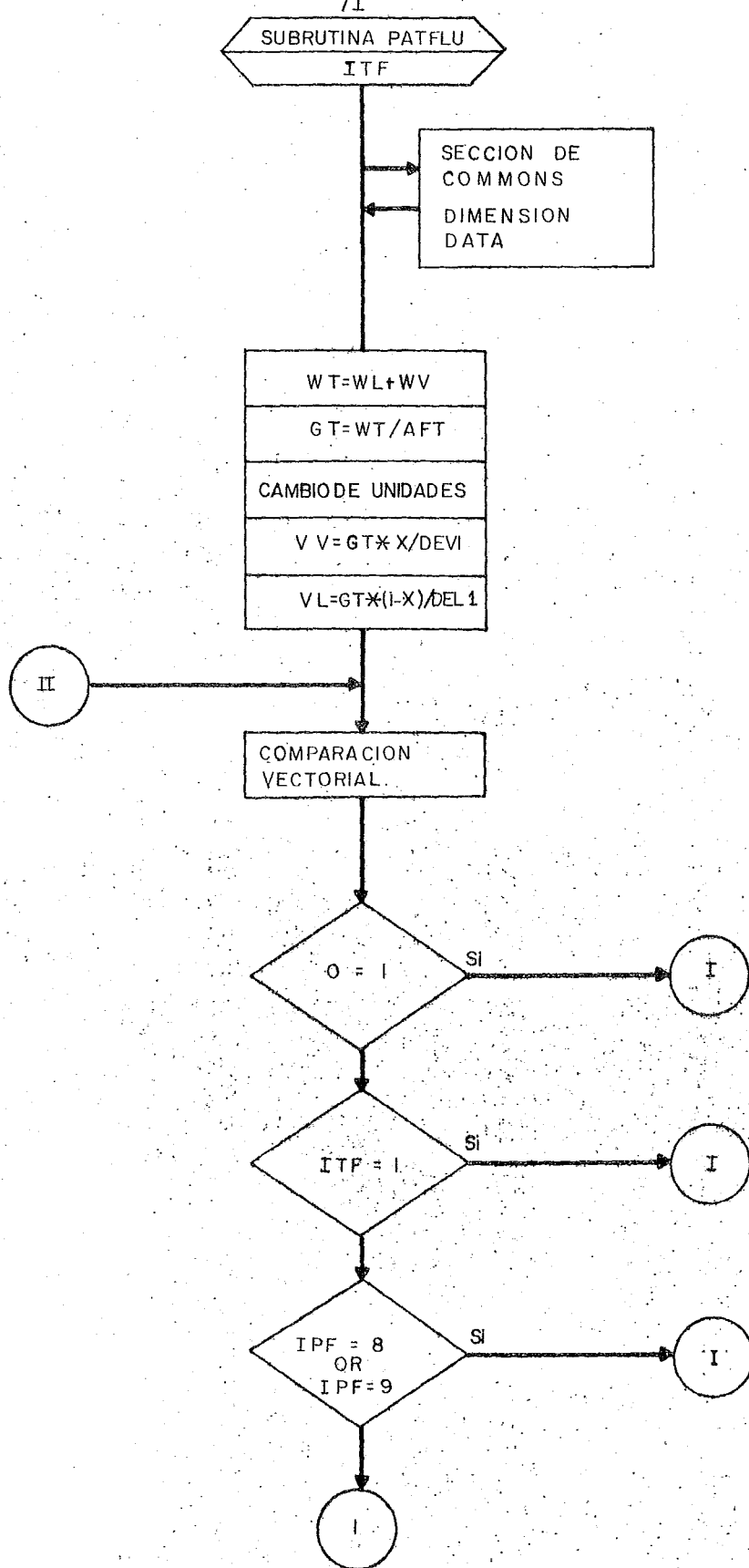


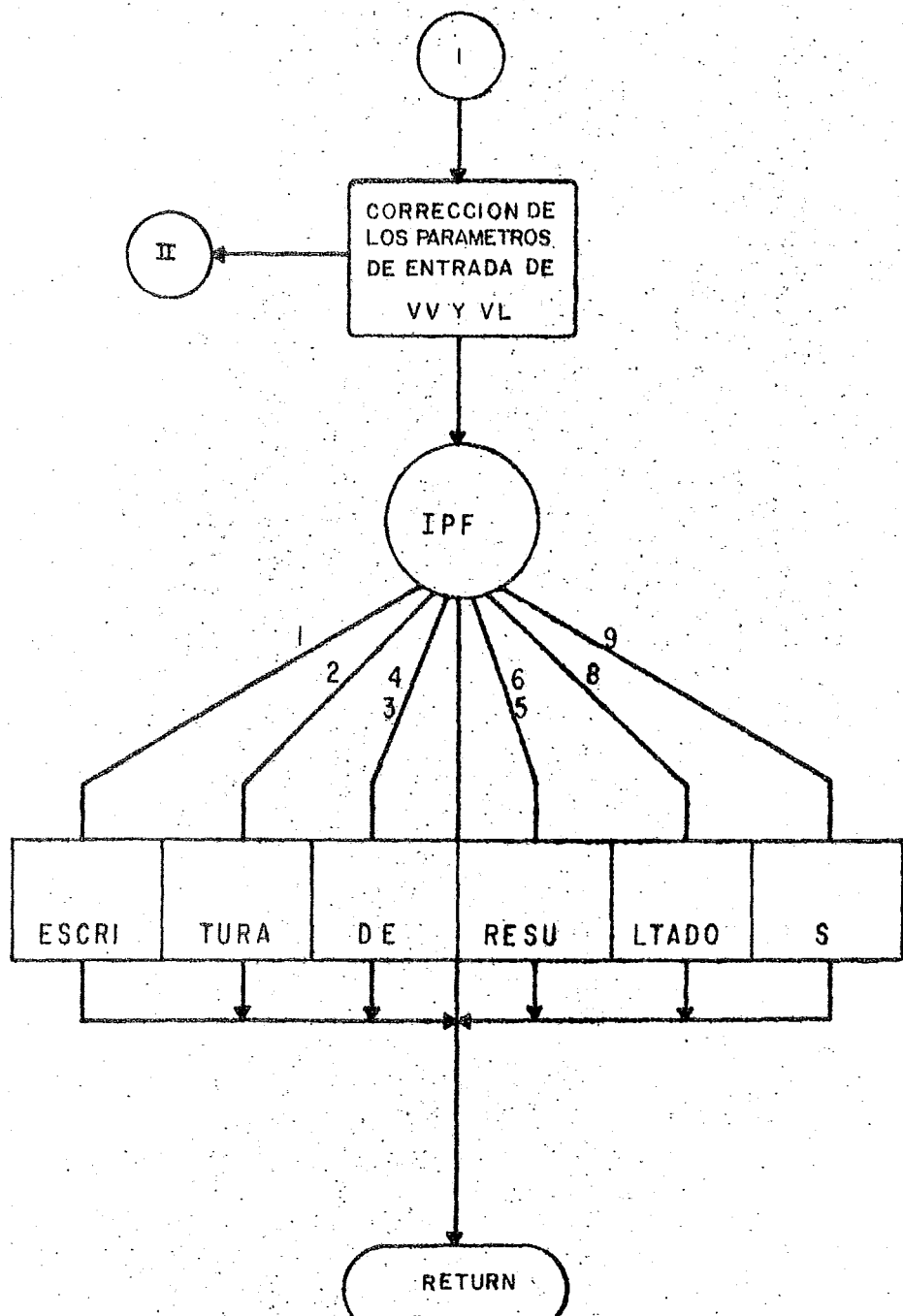
ONDA

FLUJO 

patrón de flujo y se vuelve a entrar al mapa con dichos parámetros. Esto permite evaluar correctamente el tipo de patrón de flujo.

71





SUBROUTINE PATFLU(ITE)

OBJETIVO DETERMINAR EL PATRON DE FLUJO A DOS FASES BASADO EN
EL MAPA DE MANDHANE
(R. MANDHANE IND. ENGNNERING CHEM. VOL 32 P.115)

OBSERVACIONES LA SUBRUTINA OPERA CON UN INDICE DE TIPO DE
FLUIDO ITE AL SER APLICADO A OTRO FLUIDO LOS PARAMETROS
DE ENTRADA VL Y VV COMO FUNCIONES DE LAS PROPIEDADES
DE DICHO FLUIDO REFERIDAS A LAS PROPIEDADES FISICAS
DEL AGUA • ITE=1 AGUA

• =2 OTRO FLUIDO

DIMENSION XV(7),VT1(7),XH(9),VT2(9),A(7,9)

SECCION COMMONS

COMMON /PROFINV/ DEL1,DEV1,DEL2,VIL,VIV,CTL,CTV,CPL,CPV,

R,MR

*BET1,CAVAP,VILW,VIVH,TENSUP

RO

COMMON /GEOMA/ DI,AFT

R

COMMON /PRCC/ WL,WV,X

R

COMMON /INCI/ TE,IFASE,IPUS,IFF

R

DATA(XV(I),I=1,7)/0.,1.,13.,0.)96.,0.16.,0.5,0.1,1.0/, (VT1(I),I=1,7)/1.,
12.,1.,4.,5.,6.,7.,/, (XH(J),J=1,9)/0.,18.,2.5.,3.,16.,8.,11.,25.,96.,
210/, /(VT2(J),J=1,9)/1.,2.,3.,4.,5.,5.,7.,8.,9.,/, ((A(I,J),I=1,7)
J=1,9)
/1.,0.,26.,0.,24.,0.,46.,0.,4.,0.,1.,1.,50.,0.,
0.,31.,0.,46.,0.,11.,0.,46.,0.,11.,0.,50.,0.,50.,0.,41.,0.,
0.,46.,0.,46.,0.,46.,0.,12.,0.,32.,0.,50.,0.,50.,0.,21.,0.,41.,0.,
0.,46.,0.,46.,0.,46.,0.,11.,0.,32.,0.,50.,0.,50.,0.,91.,0.,46.,0.,32.,0.,
0.,32.,0.,7.,0.,7.,0.,7.,0.,91.,0.,1.,0.,5.,0.,6.,2.,0.,
0.,2.,0.,8.,0.,7.,0.,0.,7.,0.,52.,0.,31.,0.,9.,0.,6.,0.,
0.,0.,2.,0.,0.,8.,0.,3.,0.,6.,0.,9.,0.,0.,0.,0.,0./

IPFF=1 DISPERSED BUBBLE

IPFF=2 BUBBLE PLUG

IPFF=4 ESTRATIFIED

IPFF=6 SLUG

IPFF=7 WAVE

IPFF=8 ANULOS MIST

IPFF=9 ANULOS

WT=WL+WV

GTEQT/AFT

CÓDIGO DE UNIDADES

GTEQT/77.3*8.0

DEL1*DELL1*1000*1000

DEV1*DEV1*1000*1000

VV=V1*X/DEV1

VLE=VT1(1)-X/DELL1

```

24 IF(XV(I).GT.VL) GO TO 11
25 CONTINUE
26 DO 11 J=1,7
27 IF(XH(J).GT.VV) GO TO 21
28 CONTINUE
29 C
30 C
31 21 BALFA(6,-I,1)
32 RES=BALFA(7,1)
33 IGERES
34 IPFF=IG
35 RES2=(RES-IC)*1.
36 IF("RES2.EQ.0") GO TO 200
37 C CALCULO DEL VALOR EQUIVALENTE DE LOS VECTORES DE TRANSICION
38 C VT1(I),VT2(J) AL VALOR REAL DE VL,VV EN EL XV,XH
39 C1=(VL-XV(I-1))/(XV(I)-XV(I-1))
40 X1=C1+VT1(I-1)
41 C2=(VV-XH(J-1))/(XH(J)-XH(J-1))
42 Y1=C2+VT2(J-1)
43 ISFC=1
44 B1=.5+VT1(I-1)
45 B66=VT2(J-1)+0.6666
46 B33=VT2(J-1)+0.3333
47 IR=TG-2
48 GO TO (22,23,23,23,22,24,25),IR
49 C PARA EL CASE DE PEND NEG
50 C
51 22 VINF=2
52 VSUP=5
53 GO TO 26
54 23 VINF=4
55 VSUP=5
56 GO TO 26
57 24 VINF=7
58 VSUP=9
59 GO TO 26
60 25 VINF=4
61 VSUP=7
62 26 IPFF=VINF
63 M=1
64 IF(Y.LT.B1) GO TO 27
65 IF(Y.LT.B3) GO TO 28
66 IPFF=VSUP
67 M=2
68 GO TO 28
69 27 IF(Y.GT.B66) GO TO 29
70 28 CONTINUE
71 IF(A(I,J).EQ.52.OR.A(I,J).EQ.62) GO TO 484
72 IF(C.EQ.1) GO TO 281
73 IF(TTF.EQ.1) GO TO 281
74 TTF(IPFF.EQ.1.OR.IPFF.EQ.9).67 GO TO 281
75 DEL1=DEL1#16.0189
76 DEV1=DDEV1#16.0189
77 TENSUP=TENSLP*(3.5E-8)
78 VIL=VIL#.014133
79 VIV=VIV#.014133
80 C1=(EV1/1.395)*#0.3833
81 C2=(DEL1#1724)/(1.1L*TENSUP))#0.25

```

```

121.      X=(C1*C2*C3)
122.      Y=(C2*C4)
123.      LEVEL
124.      V=VV
125.      ITF=1
126.      GO TO(31,32,32,34,32,32,32),IPF
127.      VL=L
128.      VV=V*X
129.      O=1
130.      GO TO 559
131.      VL=L*Y
132.      VV=V*X
133.      O=1
134.      GO TO 559
135.      VL=L*(1./Y)
136.      VV=V*X
137.      O=1
138.      GO TO 559
139.      GO TO(1,2,2,4,5,5,7,6,9),IPF
140.      IF(IE.EQ.1) WRITE(6,100)IPF, ISEG
141.      FORMAT(3X,'EN PATFLU IPF(PATRON DISPERSED BUBBLE)',2I5)
142.      IF(IE.LE.2) WRITE(6,101)ISEG,VL,VV,X,Y,IPF
143.      FORMAT(5X,'EN PATFLU ISEG/VL/VV/X/Y/IPF=PATRON DISPERSED,
144.      IBUBBLE',I3,2X,1P4E14.6,2X,I3)
145.      GO TO 111
146.      IF(IE.EQ.1) WRITE(6,110)IPF, ISEG
147.      FORMAT(3X,'EN PATFLU IPF(PATRON BUBBLE PLUG)',2I5)
148.      IF(IE.LE.2) WRITE(6,112)ISEG,VL,VV,X,Y,IPF
149.      FORMAT(5X,'EN PATFLU ISEG/VL/VV/X/Y/IPF=PATRON BUBBLE PLUG',
150.      I3,2X,1P4E14.6,2X,I3)
151.      GO TO 111
152.      IF(IE.EQ.1) WRITE(6,12)IPF, ISEG
153.      FORMAT(3X,'EN PATFLU IPF(PATRON ESTRATIFIED)',2I5)
154.      IF(IE.LE.2) WRITE(6,121)ISEG,VL,VV,X,Y,IPF
155.      FORMAT(5X,'EN PATFLU ISEG/VL/VV/X/Y/IPF=PATRON ESTRATIFIED',
156.      I3,2X,1P4E14.6,2X,I3)
157.      GO TO 111
158.      IF(IE.EQ.1) WRITE(6,13)IPF, ISEG
159.      FORMAT(3X,'EN PATFLU IPF(PATRON SLUG)',2I5)
160.      IF(IE.LE.2) WRITE(6,131)ISEG,VL,VV,X,Y,IPF
161.      FORMAT(5X,'EN PATFLU ISEG/VL/VV/X/Y/IPF=PATRON SLUG',
162.      I3,2X,1P4E14.6,2X,I3)
163.      GO TO 111
164.      IF(IE.EQ.1) WRITE(6,14)IPF, ISEG
165.      FORMAT(3X,'EN PATFLU IPF(PATRON WAVE)',2I5)
166.      IF(IE.LE.2) WRITE(6,141)ISEG,VL,VV,X,Y,IPF
167.      FORMAT(5X,'EN PATFLU ISEG/VL/VV/X/Y/IPF=PATRON WAVE',
168.      I2X,1P4E14.6,2X,I3)
169.      GO TO 111
170.      IF(M-1)=445,445,446
171.      IPF=VSUP
172.      GO TO 260
173.      IPF=VINF
174.      GO TO 260
175.      IF(IE.EQ.1) WRITE(6,15)IPF, ISEG
176.      FORMAT(3X,'EN PATFLU IPF(PATRON ANNULAR MIST)',2I5)
177.      IF(IE.LE.2) WRITE(6,151)ISEG,VL,VV,X,Y,IPF
178.      FORMAT(5X,'EN PATFLU ISEG/VL/VV/X/Y/IPF=PATRON ANNULAR MIST',

```

4F16,6,2X,13)
104 TO 111
105 9 IF(TE.0.1) WRITE(6,160) IPF,ISEQ
106 100 FORMAT(3X,'EN PATFLU IPF(PATFLN ANNULAR*,215)
107 IF(TE.1.2) WRITE(6,161) TSEG,VL,VV,X,Y,IPF
108 101 FORMAT(5X,'EN PAT FLU TSEG/VL/VV/X/Y/IPF=PATRON ANNULAR*,
109 113,2X,164,14,6,2X,13)
110 111 GT=GT*737.538
111 DEL1=DL1/16.0184
112 DEV1=DEV1/16.0174
113 IF(ITP.5.1180 TO 1111
114 TCONSUP=TENSUP/(3.5E-8)
115 VILE=VILA.1.04133
116 VIVE=VIV/VU.1.04133
117 1111 RETURN
118 DEBUC UNIT(8),SUBCHK,INIT,SUBTRACE
119 END

171 1PANK 775 DBANK 23 COMMON

Subrutina ALFAZ

Objetivo: Cálculo de la fracción de vacío en ductos circulares en posición horizontal.

Principio de mínima Entropía.

S.M. Zivi J. Heat Transfer 1964.

En estado estacionario un proceso termodinámico se caracteriza por producir un mínimo en la rapidez de generación de Entropía, sujeto a la limitación de que el proceso está lo suficientemente cercano al equilibrio.

Aplicando el principio de producción de mínima entropía en flujo a dos fases, se formula la rapidez de disipación de energía en términos de la fracción de vacío, y se calcula la fracción de vacío, que minimiza tal disipación.

Despreciando las variaciones de la fracción de vacío con respecto al tiempo, la presión, calidad del vapor y las velocidades locales de ambas fases, se establece formalmente el principio expresando:

$$ds \leq \frac{dq}{T} \quad (1)$$

Por la primera ley de la termodinámica.

$$dE = dQ - d(PV) \quad (2)$$

$$dE = dQ - PdV - VdP \quad (3)$$

para fluidos incompresibles $dV=0$.

Como la naturaleza del patrón de flujo anular lleva implícita una alta velocidad en la fase vapor, induce a un esfuerzo cortante promedio τ_{AU} .

Considerando un corte transversal en un punto Z sobre la longitud del núcleo de vapor, como lo muestra la figura, se establece que para cualquier punto sobre algún diámetro del ducto, es decir para cualquier punto sobre la superficie del corte la presión P es la misma, y sólo varía a elementos diferenciales de longitud dz sobre el núcleo de vapor.

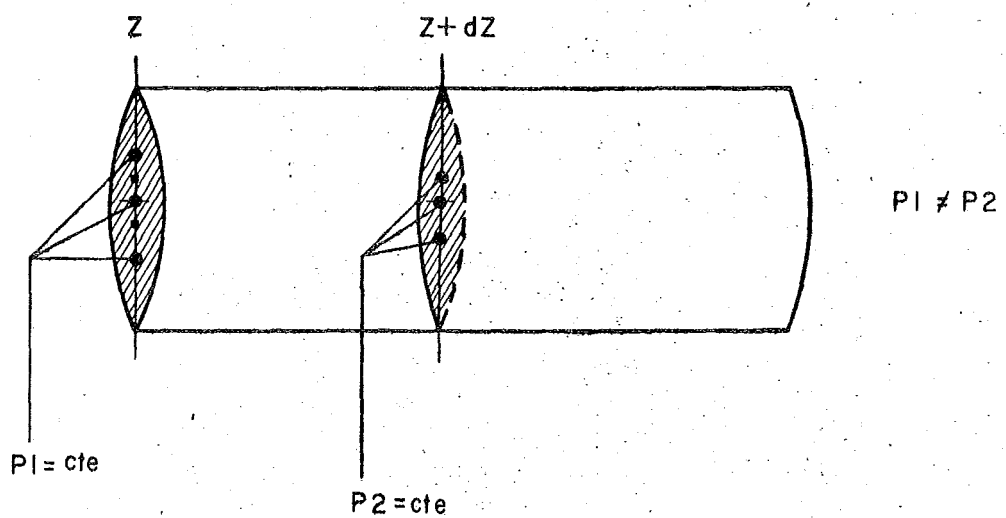
Consecuentemente en el punto de análisis Z , $dP = 0$

Aplicando las consideraciones anteriores a la ecuación (3) se obtiene:

$$dE = dQ \quad (4)$$

Substituyendo la ec. (4) en ec. (1)

$$dS = \frac{dE}{T} \quad (5)$$



de la ec. (5) se establece la proporcionalidad entre dS y dE .

El cambio diferencial de energía dE se puede aproximar a un cambio diferencial de energía cinética dEc considerando que el flujo turbulento implica un esfuerzo cortante promedio τ_{AVG} .

Por tanto el principio de producción de mínima entropía minimiza el flujo de energía cinética, es decir, la fracción de vacío α_f será tal que Ec es un mínimo, para tal efecto se expresa como:

$$\frac{dEc}{d(\alpha_f)} = 0$$

A través del manejo y deducción de las fórmulas (ver apéndice) se obtiene:

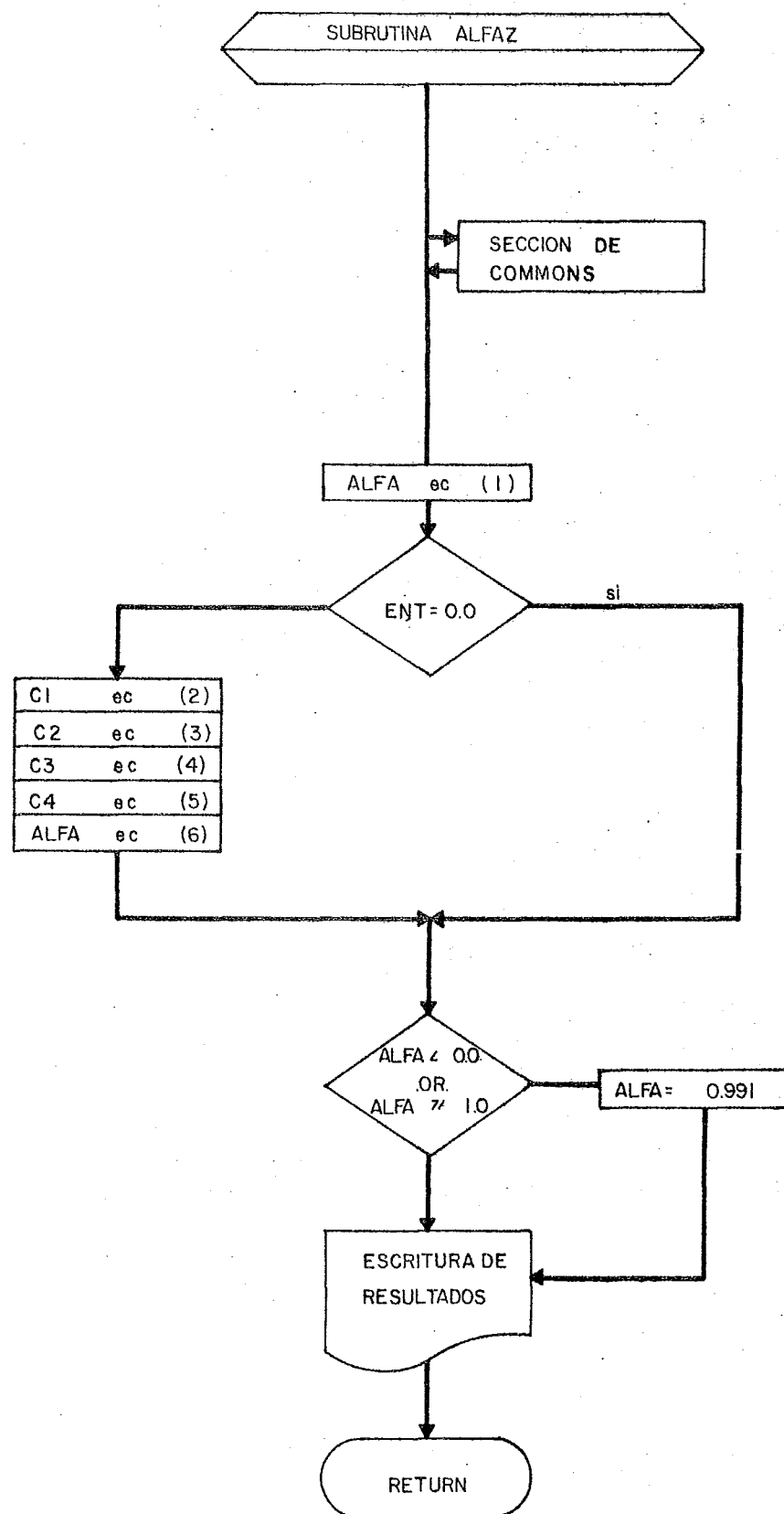
$$\alpha_f = \left(\frac{1}{1 + (1-x)/x} * (DEV1/DEL1)^{2/3} \right)$$

Para el caso de patrón de flujo Quasi anular es decir, cuando una fracción ENT de la fase líquida se encuentra dispersa en el núcleo de vapor en forma de pequeñas gotas de condensado y viajando a la velocidad del mismo V_L , el resto del condensado fluye a una velocidad V_L , el procedimiento es el mismo que en el caso anterior (ver apéndice) y se llega a

la expresión:

$$\text{ALFA} = (1. + \text{ENT} * (\frac{\text{DEV1}}{\text{DELI}}) * (\frac{1. - x}{x}) + (1. - \text{ENT}) * (\frac{\text{DEV1}}{\text{DELI}})^{**} (2. / 3.) * (\frac{1. - x}{x}) * \\ (\frac{1. + \text{ENT} * (\frac{\text{DEV1}}{\text{DELI}}) * (\frac{1. - x}{x})}{1. + \text{ENT} * (\frac{1. - x}{x})})^{**} 0.333)^{**} (-1.0)$$

Consignada en la bibliografía.



ECUACIONES SUBRUTINA ALFAZ

$$\text{ALFA} = 1. / (1. + ((1.-X)/X) * (\text{DEV1}/\text{DEL1})^{**0.6666}) \quad (1)$$

$$\text{C1} = 1. + (\text{ENT} * (\text{DEV1}/\text{DEL1}) * ((1.-X)/X)) \quad (2)$$

$$\text{C2} = ((1.-X/X) * (1.-\text{ENT}) * (\text{DEV1}/\text{DEL1})^{**0.6666}) \quad (3)$$

$$\text{C3} = 1. + (\text{ENT} * (\text{DEV1}/\text{DEL1}) * (1.-X)/X) \quad (4)$$

$$\text{C4} = 1. + (\text{ENT} * (1.-X)/X) \quad (5)$$

$$\text{ALFA} = 1. / (\text{C1} + \text{C2} * (\text{C3}/\text{C4})^{**0.3333}) \quad (6)$$

BH*CERTES.ALFAZ
*10/21/00-09 49

SUBROUTINE ALFAZ

```

1. C *****
2. C ***** SUBROUTINE ALFAZ *****
3. C
4. C      OBJETIVO CALCULO DE LA FRACCION DE VACIO EN DUCTOS CIRCULARES.    C
5. C      PASADO EN EL METODO DE MINIMA ENTROPIA.                                C
6. C      (S. M. ZEVI     JOURNAL OF HEAT TRANSFER   1964)                      C
7. C
8. C      OBSERVACIONES ESTE MODELO PERMITE CALCULAR LA FRACCION DE          C
9. C      VACIO EN FLUJO PURAMENTE ANULAR, Y EN FLUJO QUASI-                  C
10. C      ANULAR, ES DECIR EN PRESENCA DE PEQUENAS GOTAS DE                 C
11. C      SE CONDENSAO EN EL SENO DE LA FASE VAPOR Y A LA                   C
12. C      VELOCIDAD DE LA MISMA.                                         C
13. C
14. C*****                                         C
15. C
16. C      SECTION COMMONS
17. C
18. C      COMMON /PROPIN/ DEL1,DEV1
19. C                           R   P
20. C      COMMON /PROC/ WL,UV,X,ENT
21. C                           R   RO
22. C      COMMON /INDI/ IF
23. C                           R
24. C      COMMON /CALC/ ALFA
25. C                           G
26. C
27. C      ALFA=1./(1.+((1.-X)/X)*(DEV1/DEL1)**.6666)
28. C      IF(ENT.FL.O.G) GO TO 1
29. C      C1=1.+((ENT*(EEV1/DEL1)*((1.-X)/X))
30. C      C2=((1.-X)/X)*(1.-ENT)*(DEV1/DEL1)**0.6666
31. C      C3=1.+((ENT*(DEV1/DEL1)*(1.-X)/X)
32. C      C4=1.+((ENT*(1.-X)/X)
33. C      ALFA=1./((C1+C2*(C3/C4)**#0.3333)
34. C      1 IF(ALFA.LT.0.0.OR.ALFA.GE.1.)ALFA=0.991
35. C      ENT FRACTION DE CONDENSAO EN LA CORRIENTE GASEOSA
36. C      C

16. IFANK(61) DRANK & COMMON


```

Subrutinas: DPGRAV, DPFRIC, DPACC, HCOND.

Subrutina DPGRAV.

Objetivo: cálculo del componente por gradiente gravitacional de caída de presión en flujo a dos fases. Patrón de flujo anular.

Subrutina DPFRIC.

Objetivo: cálculo del componente por fricción de caída de presión de flujo a dos fases. Patrón de flujo anular.

Subrutina DPACC.

Objetivo: cálculo del componente por aceleración por caída de presión en flujo a dos fases, Patrón de flujo anular,

Subrutina HCOND.

Objetivo: cálculo del coeficiente de transferencia de calor por condensación. Patrón de flujo anular.

Las subrutinas anteriores están referidas a ductos circulares de sección constante.

M. Soliman Journal of transfer 1968.

Fundamentos teóricos.

El mecanismo de la condensación dentro de ductos en posición horizontal, y en donde el patrón de flujo es del tipo anular, está afectado fundamentalmente por las

fuerzas de momentum, fricción y gravedad.

En un principio, este fenómeno se lleva a cabo sobre la pared (fría) del ducto, formándose poco a poco una película de condensado la cual posteriormente queda en contacto con el vapor condensante.

Dependiendo de la magnitud y orientación de las fuerzas antes mencionadas, la película líquida puede ser de espesor uniforme alrededor de la periferia del ducto, o puede tender a estratificarse con una capa de mayor espesor en el fondo del tubo. Esto es debido al efecto de la gravedad perpendicular al eje axial del ducto.

En la mayoría de los equipos industriales el patrón de flujo anular se mantiene sobre la mayor porción de la longitud condensante. Esto se apoya en el hecho de existir entre las fases líquida y vapor, altas relaciones de densidad, existiendo generalmente una fracción de líquido baja y en consecuencia un alto valor de velocidad en la fase de vapor.

Análisis del modelo de flujo:

El patrón de flujo anular, se considera como de ma-

yor influencia a lo largo del ducto, ya sea en posición vertical u horizontal.

El modelo físico está basado en la existencia de un campo de aceleración externa a, el cual actúa a lo largo del eje con la convención de signos mostrada en la figura 1.

Considérese un elemento diferencial dZ del núcleo de vapor. Figura 2, el esfuerzo por fricción F_v que existe en la interfase líquido-vapor, actúa en dirección opuesta al flujo de vapor.

La ecuación de momentum, establece que la suma de fuerzas actuando sobre un volumen dado de vapor en la dirección axial, es igual a la diferencia entre la suma de momentum a la salida y la suma de momentum a la entrada de dicho elemento de volumen:

$$\nabla F_Z = \nabla M_{sal} - \nabla M_{ent}$$

Aplicando la ecuación anterior al elemento diferencial de volumen del núcleo de vapor se obtiene:

$$-\frac{d}{dz}(PAv) - \frac{FvSv}{Gc} + \frac{DEV1(a)Av}{Gc} = \frac{1}{Gc} \frac{d}{dz} (Vv Wv) - \frac{Uvi}{Gc} \frac{d}{dz} Wvi$$

En donde Uv representa el valor promedio de la velocidad del vapor sobre la sección transversal del núcleo de vapor y Uvi es el componente axial a tiempo promedio de la velocidad a la cual las moléculas pasan del núcleo de vapor a la película de condensado.

Analogamente para la capa de condensado figura 3, - se obtiene la siguiente expresión:

$$-\frac{d}{dz}(PAI) + \frac{FlSv}{Gc} - \frac{FoS}{Gc} + \frac{DELI(a)Al(Ul Wl)}{Gc} - \frac{Uvi}{Gc} \frac{d}{dz} Wl$$

En donde Fl es el esfuerzo por fricción en el líquido a la interfase líquido-vapor, Fo es el esfuerzo en el líquido condensado a la pared del ducto y Ul es la velocidad promedio del líquido en la capa de condensado.

Si se considera que las variaciones en Al y Av son despreciables sobre el elemento dz y además se supone -- que no hay deslizamiento entre la fase líquida y la fase vapor en la interfase, entonces $Fl=Fv$.

Si las ecuaciones anteriores se expresan en función del gradiente de presión ($\frac{dP}{dz}$), se igualan y se reor-

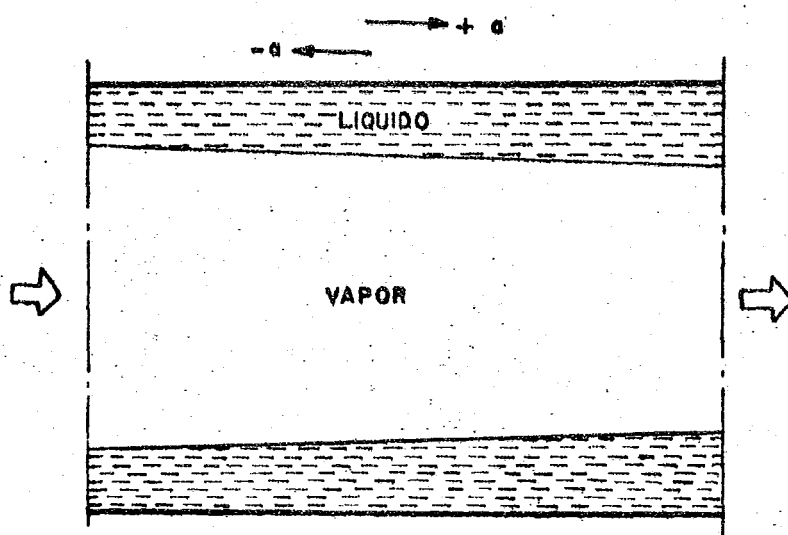


FIG. 1

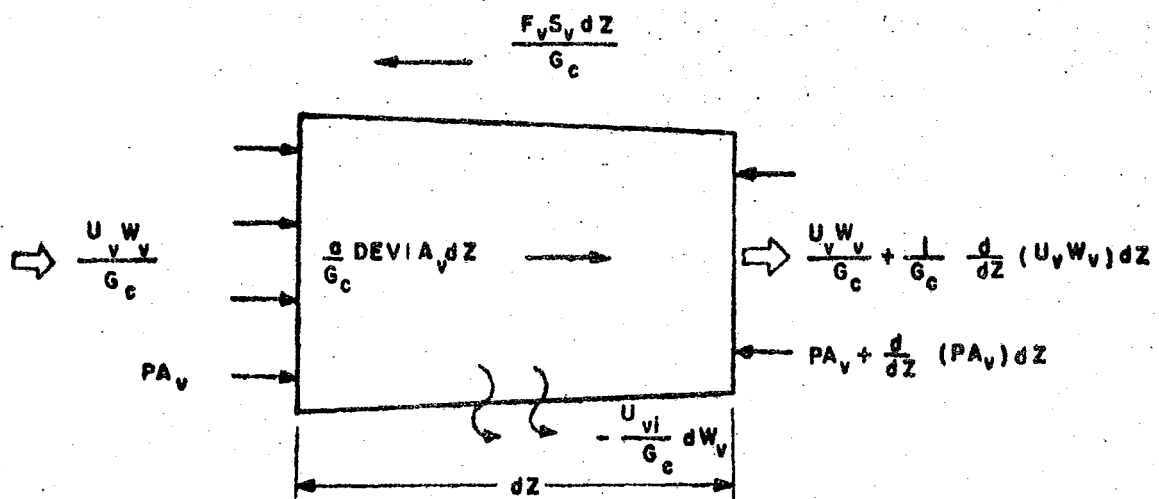


FIG. 2

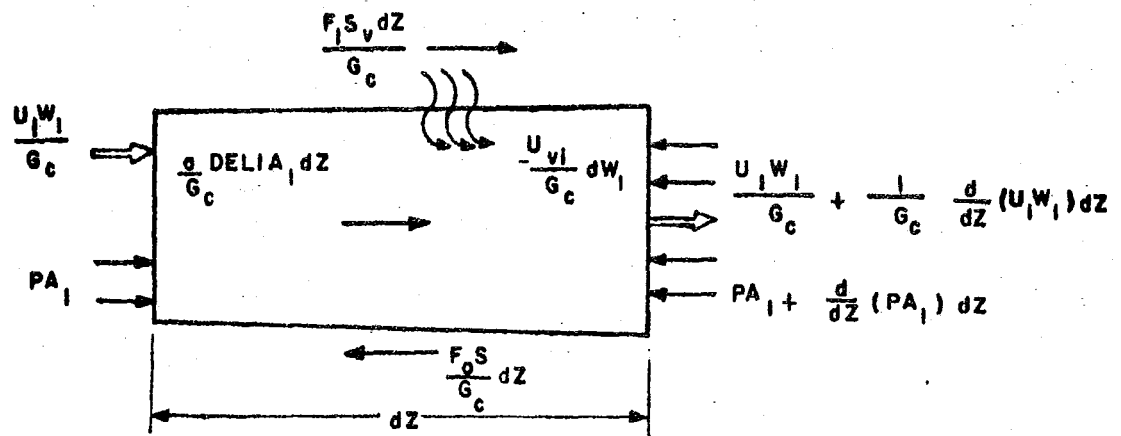


FIG. 3

denan, como resultado del tratamiento algebraico (ver -- apéndice) se obtiene la siguiente expresión:

$$F_O = F_f + F_m + F_a$$

$$F_f = F_v \frac{Sv}{S} (1. + \frac{Av}{Al})$$

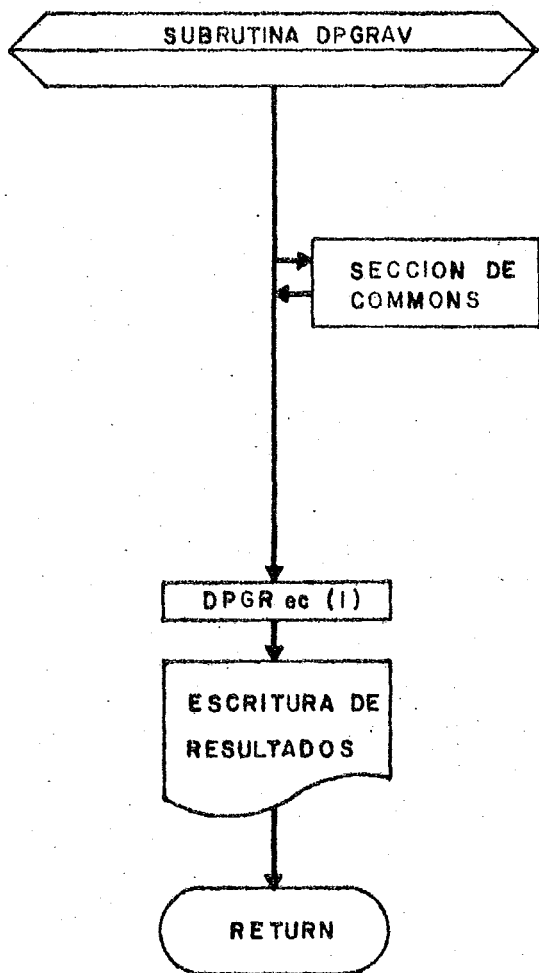
$$F_m = \frac{Al}{AvS} \frac{d}{dz} (UvWv) - \frac{1}{S} \frac{d}{dz} (VlWl) = \frac{Uvi}{S} \left(\frac{d}{dz} Wl - \frac{Al}{Av} \frac{d}{dz} Wv \right)$$

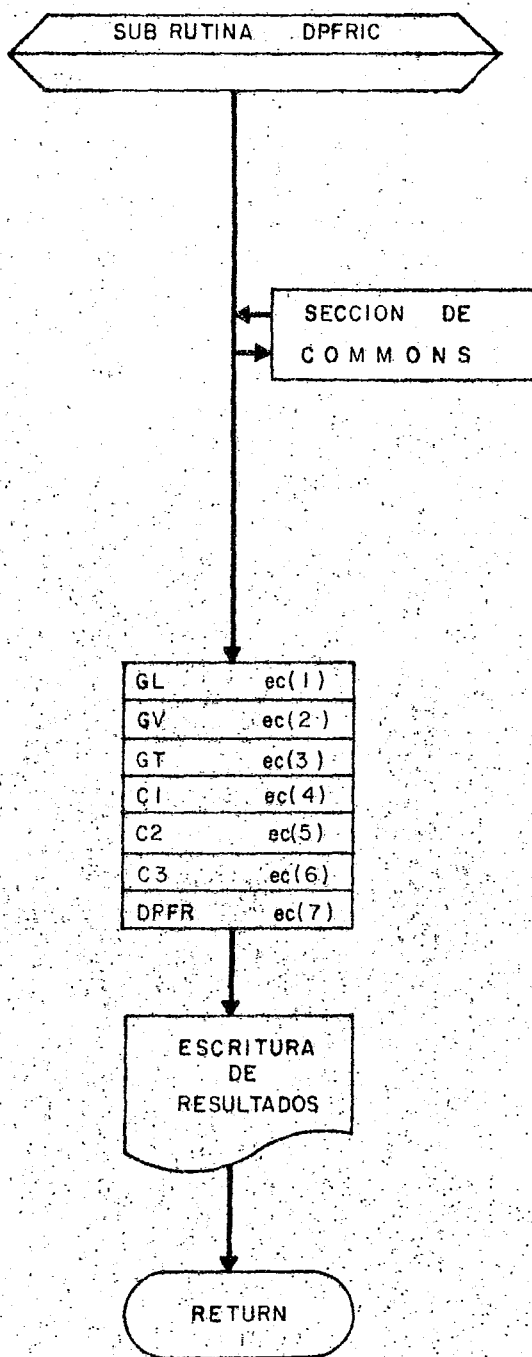
$$F_a = a \frac{Al}{S} (DEL1 - DEV1)$$

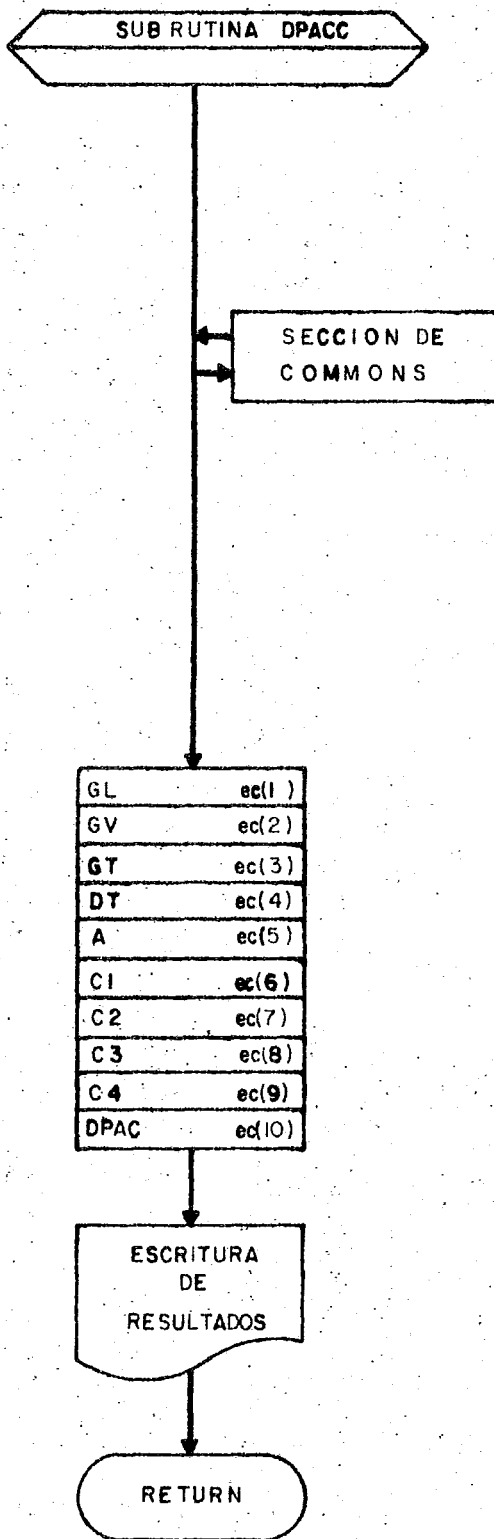
Ff representa el efecto de fricción en flujo a dos fases.

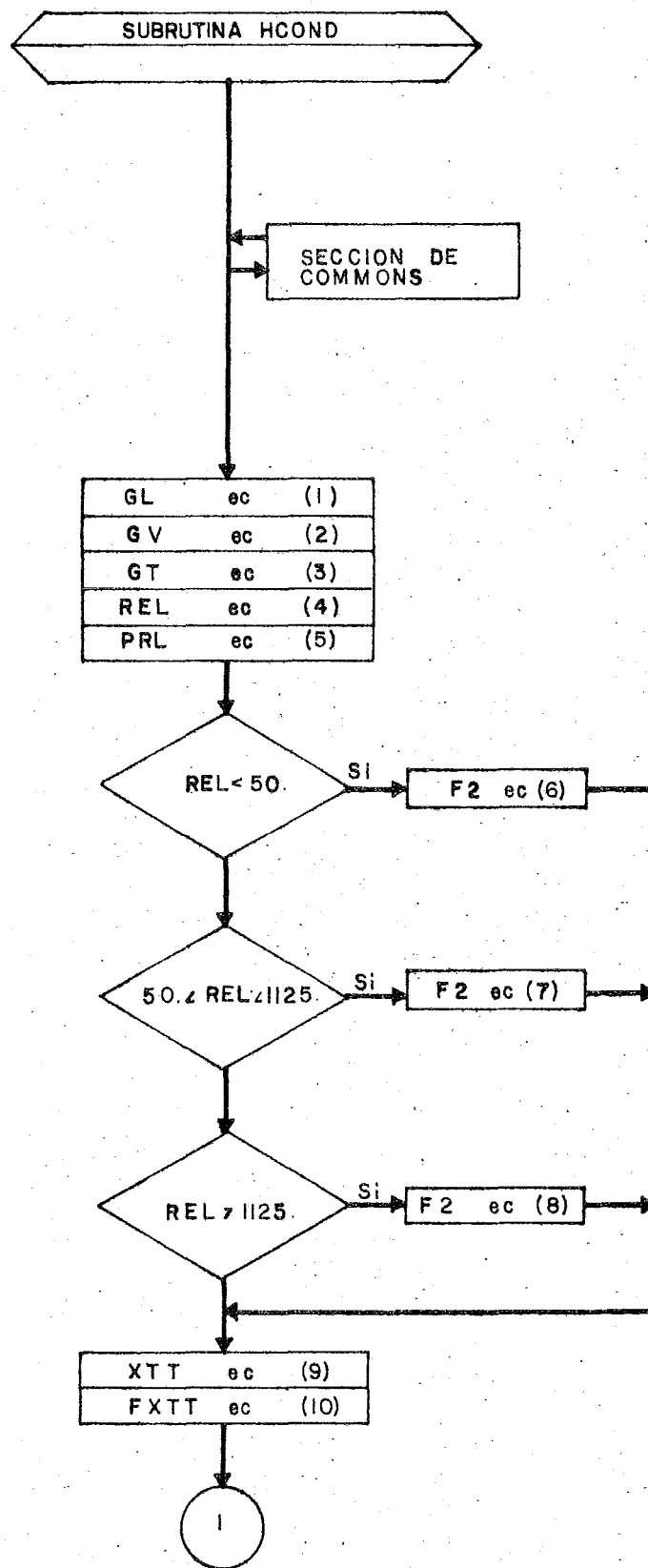
Fm el efecto de cambios de momentum en el flujo.

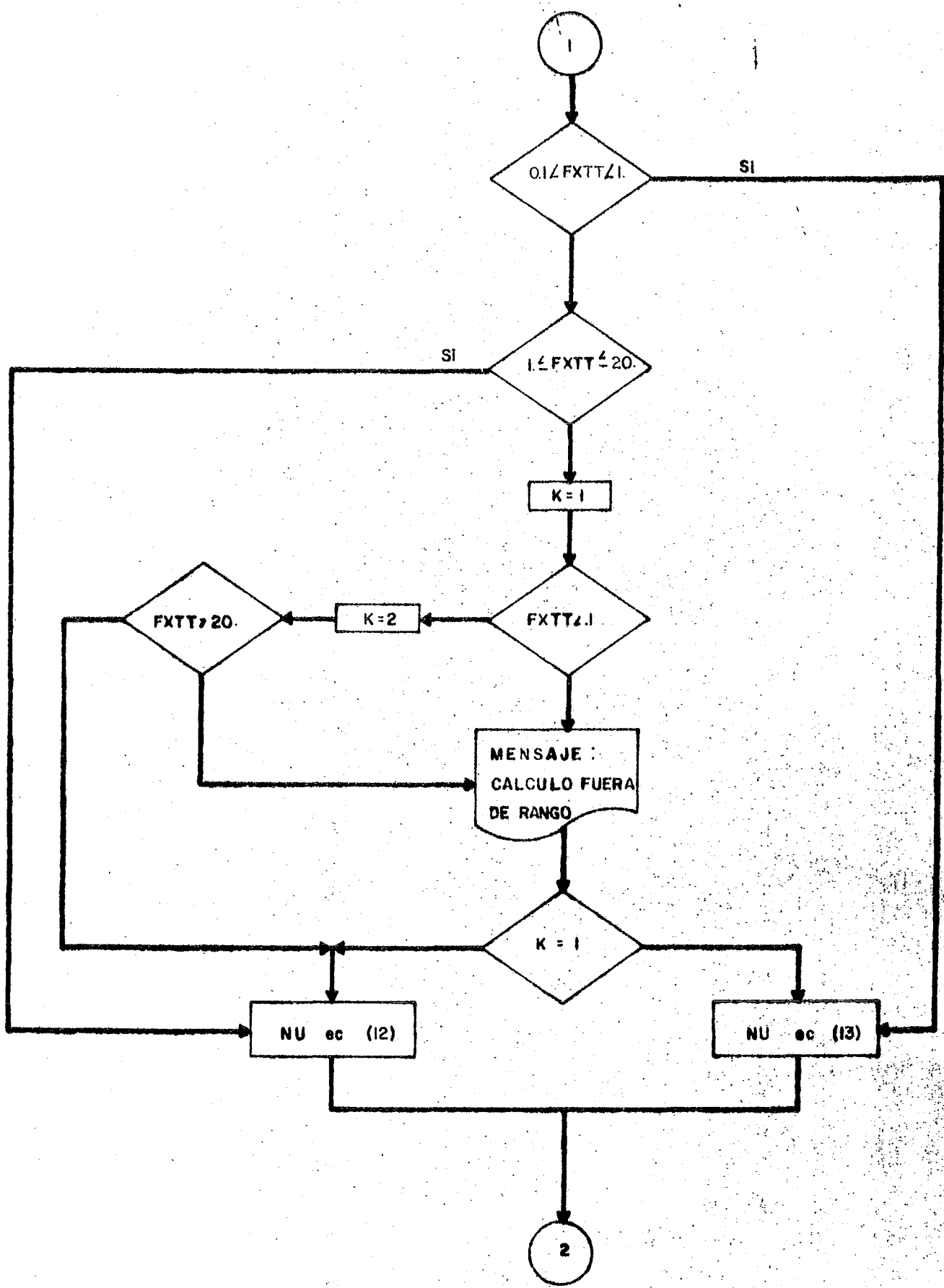
Fa el efecto de un campo axial gravitacional sobre la pared.

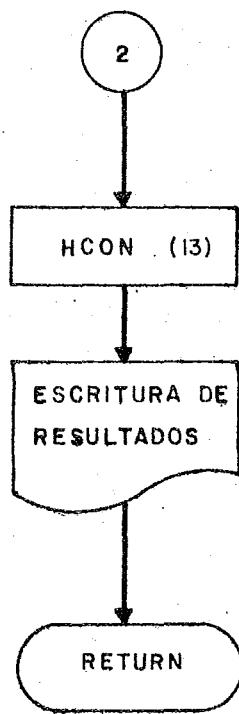












ECUACIONES SUBRUTINA DPGRV

$$DPGR = \text{SIN}(TETA) * (\text{ALFA} * \text{DEV1} + (1. - \text{ALFA}) * \text{DEL1}) \quad (1)$$

ECUACIONES SUBRUTINA DPFRICC

$$GL = WL/AFT \quad (1)$$

$$GV = WV/AFT \quad (2)$$

$$GT = GL+GV \quad (3)$$

$$C1 = 0.09 * GT * GT / (416923200. * DI * DEV1) * (GT * DI / VIV) ** (-0.2) \quad (4)$$

$$C2 = 5.7 * (VIL/VIV) ** 0.0523 * ((1.-X) ** 0.47) * (X ** 1.33) * (DEV1 / DEL1) ** 0.261 \quad (5)$$

$$C3 = 8.11 * ((VIL/VIV) ** 0.105) * (1.-X) ** 0.94 * (X ** 0.86) * (DEV1 / DEL1) ** 0.522 \quad (6)$$

$$DPFR = C1 * (X ** 1.8 + C2 + C3) \quad (7)$$

ECUACIONES SUBRUTINA DPACC

$GL = WL/AFT$ (1)
 $GV = WV/AFT$ (2)
 $GT = GL/+GV$ (3)
 $DT = TC-TW$ (4)
 $A = 4.*HCON*DT/(GT*CAVAP)$ (5)
 $C1 = A*GT*GT/(416923200.*DI*DEV1)$ (6)
 $C2 = 2.*X+(1.-2*X)*(DEV1/DEL1)*\theta.3333$ (7)
 $C3 = 2.* (1.-X) * (DEV1/DEL1)$ (8)
 $C4 = 2.* (1.-X) * (DEV1/DEL1)$ (9)
 $DPAC = C1*(C2+C3-C4)$ (10)

ECUACIONES SUBRUTINA HCON

GL= WL/AFT (1)
 GV= WV/AFT (2)
 GT= GL+GV (3)
 REL= (1.-X)*GT*DI/VIL (4)
 PRL= CPL*VIL/CTL (5)
 F2= $\theta.7\theta7^*PRL^*REL^{**0.5}$ (6)
 F2= $5.^*PRL+5.^*ALOG(1.+PRL^*(\theta.\theta9636^*REL^{**\theta.585}-1))$ (7)
 F2= $5.^*PRL+5.^*ALOG(1.+5^*PRL)+2.5^*ALOG(\theta.\theta\theta31^*REL^{**0.812})$ (8)
 XTT= $(VIL/VIV)^*\theta.1^*((1.-X)/X)^*\theta.9^*(DEV1/DEL1)^{**0.5}$ (9)
 FXTT= $\theta.15^*(1./XTT+2.85^*XTT^{**(-\theta.476)})$ (10)
 NU= FXTT*REL*PRL/F2 (11)
 NU= $(FXTT^{**1.15})^*PRL^*REL^{**\theta.9}/F2$ (12)
 HCON= NY*CTL/DI (13)

,EN*CEETES.DPGRAD

*10/22/80-08 31

11. 1. SUBROUTINE DPGRAD

12. 2. ****=
 13. C
 14. C OBJETIVO CALCULO DEL COMPONENTE POR GRADIENTE GRAVITACIONAL
 15. C DE CAIDA DE PRESION EN FLUJO A DOS FASES DENTRO DE
 16. C DUCTOS DE SECCION CONSTANTE.
 17. C (M. SOLIMAN J. HEAT TRANSFER 1968)
 18. C (M. ROHSENOW HANDBOOK OF HEAT TRANSFER P.12-21)
 19. C
 20. C OBSERVACIONES LAS VELOCIDADES ATRIBUIDAS A CADA FASE DEBEN PER-
 21. C MANEJAR CONSTANTES, NO NECESARIAMENTE IGUALES Y MANTENER
 22. C TENER LA MASA VELOCIDAD CONSTANTE. ESTO ES PARA EVITAR
 23. C CAMBIOS EN EL PATRON DE FLUJO. EL GRADIENTE LOCAL DE
 24. C PRESION ES FUNCION DEL FLUJO LOCAL Y DE LOS PARAMETROS
 25. C DEL FLUX DE CALOR.
 26. C
 27. C ****=
 28. C SECCION COMMONS
 29. C
 30. C COMMON/PROPIN/ DEL1,DEV1
 31. C R R
 32. C COMMON/GEOM/DI,AFT,TETA
 33. C R
 34. C COMMON/INDI/ IE
 35. C R
 36. C COMMON/CALC/ ALFA,HCON,DPFR,DPAC,DPGR
 37. C R G
 38. C DPGR=SIN(TETA)*(ALFA*DEV1+(1.-ALFA)*DEL1)
 39. C IF(IE.LE.2)WRITE(6,100) DPGR
 40. C 100 FORMAT(3X,'EN DPGRAD DPGR=',1PE14.6)
 41. C RETURN
 42. C DEBUG UNIT(8),SUBCHK,INIT,SUBTRACE
 43. C END

33 IBANK 28 DBANK 11 COMMON

DR*CALCUL. DPFVIC
*IG/7180-39 4R

1. * SUBROUTINE DPFVIC
 2. ****
 3. C
 4. C SUBJECTIVO CALCULO DEL COMPONENTE POR FRICCIÓN DE CAIDA DE PRESIÓN C
 5. C EN FLUIDO A DOS FASES DENTRO DE DUCTOS UNIFORMES. C
 6. C (M. SOLIMAN - J. HEAT TRANSFER 1968) C
 7. C
 8. C OBSERVACIONES EL ESFUERZO CORTANTE DEL VAPOR ES EL RESULTADO C
 9. C DE LA FRICCIÓN ENTRE EL VAPOR Y LA PELÍCULA DE CON- C
 10. C REPSALP. LA NATURALEZA DEL CALCULO ES PUNTUAL ES DECIR C
 11. C ESTIMA EL VALOR DEL COMPONENTE DE CAIDA DE PRESIÓN POR C
 12. C UNIDAD DE LONGITUD.
 13. C
 14. ****
 15. C
 16. C SECTION COMMONS
 17. C
 18. C COMMON /EOFIN/ DEL1,DEV1,DEL2,VIL,VIV
 19. C C R R R R R R
 20. C COMMON /EFTOM/ D1,AFT
 21. C C R R R R R R
 22. C COMMON /PHOC/ NL,WV,X
 23. C C R R R R R R
 24. C COMMON /INDIV/ IF
 25. C C N
 26. C COMMON /CALC/ ALFA,MCON,DPFD
 27. C
 28. C
 29. C GLE=VIL/AFT
 30. C CVENW/AFT
 31. C ET=GLE*GV
 32. C C1=-1.054*GT*ST/(41692320.1**ST*DEV1)*(GT*DT/VIV)**(-0.2)
 33. C C2=8.7*(VIL/VIV)**0.0523*((1.-X)**0.47)*(X**1.33)*(DEV1/DEL1)
 34. C 1**0.261
 35. C C3=8.11*((VIL/VIV)**0.105)*(1.-X)**0.94*(X**0.86)*(DEV1/DEL1)
 36. C 1**0.522
 37. C DPF1=C1*(X**1.8+C3)
 38. C IF(IE.EC.1) WRITE(6,100) DPF1
 39. 100 FORMAT(3X,'EN DPFVIC DPF1= ',1PE16.6)
 40. IF(IE.LE.2) WRITE(6,101) GL,GV,GT,C1,C2,C3
 41. 101 FORMAT(3X,'EN DPFVIC ',GL/GV/ST/C1/C2/C3=' 1P6E14.6)
 42. RETURN
 43. DEBUG UNIT(8),SM,CHK,INTT,SUSTRACE
 44. END

130 1PANK 126 1PANK 14 COMMON

3H*CFETES.DPACC
*10/71/80-09 48

```

1.      SUBROUTINE DPACC
2.      *****
3.      C
4.      C      OBJETIVO. CALCULO DEL COMPONENTE PDP ACCELERACION DE CAIDA DE
5.      C      CAIDA DE PRESTON EN FLUJO A DOS FASES DENTRO DE DUC-
6.      C      TOS Y CON SECCION TRANSVERSAL CONSTANTE.
7.      C      (M. SOLIMAN Y J. HEAT TRANSFER - 1968)
8.      C      (M. RICHSENOW - HANDBOOK OF HEAT TRANSFER - P.12-21)
9.      C
10.     C      OBSERVACIONES LOS VALORES DE MASA VELOCIDAD DEBEN PERMANECER
11.     C      CONSTANTES, NO NECESARIAMENTE IGUALES PARA EVITAR
12.     C      CAMBIOS EN EL PATRON DE FLUJO.
13.     C
14.     C      *****
15.     C
16.     C      SECCION DE COMMONS
17.     C
18.     C      COMMON/PROPIN/DFLI,DEV1,DELP,VIL,VIV,CTL,CTV,CPL,CPV,BETA,
19.     C          R
20.     C      ICAVAP
21.     C          R
22.     C      COMMON/GLOM/DI,AFT
23.     C          R R
24.     C      COMMON/PHOC/WL,WV,X
25.     C          R R R
26.     C      COMMON/TDIX/ IE
27.     C          R
28.     C      COMMON/CALC/ALFA,HCON,DPFR,DPAC
29.     C          R   O
30.     C      COMMON/TEMPE/TT1,TT2,TE,TW,TC,TV
31.     C          R   R
32.     C      GL=WL/AFT
33.     C      GV=WV/AFT
34.     C      CT=GL+GV
35.     C      LT=TV-TW
36.     C      A=4.*HCON*DT/IGT*CAVAP)
37.     C      C1=A*GT*DT/(416923200.*DI*DEV1)
38.     C      C2=2.*X+(1.-2.*X)*(DEV1/DELP)**0.3333
39.     C      C3=(1.-2.*X)*(DEV1/DELP)**0.6666
40.     C      C4=2.*((1.-X)*(DEV1/DELP))
41.     C      DPAC=C1*(C2+C3-C4)
42.     C      IF(IE.EQ.1) WRITE(6,100) DPAC
43.    100 FORMAT(2X,'EN DPACC DPAC=' 1PE14.6)
44.     C      IF(IE.LE.2) WRITE(6,101) GT,A,DT,C1,C2,C3,C4
45.    101 FORMAT(2X,'EN DPACC GT/A/DT/C1/C2/C3/C4=' ,1P7E14.6)
46.     C      RETURN
47.     C      DEBUE UNIT(E),SUFCRK,INTT,SUPTRACE
48.     C      END

```

33 1FANK 118 CBANK 27 COMMON

1. SUBROUTINE HCOND

2. C*****
3. C
4. C OBJETIVO CALCULO DEL COEFFICIENTE DE TRANSFERENCIA DE CALOR
5. C POR CONDENSACION EN DUCTOS DE SECCION UNIFORME. MODELO
6. C ANULAR.
7. C (M. SOLIMAN J. HEAT TRANSFER 1968)
8. C (M. ROHSENOW HANDBOOK OF HEAT TRANSFER P.12-23)

9.
10. C OBSERVACIONES LA NATURALEZA DEL CALCULO ES PUNTUAL, EL COEFICIENTE DE TRANSFERENCIA DE CALOR POR CONDENSACION MEDIO SE VALUA COMO EL PROMEDIO DE LOS VALORES DEL COEFICIENTE DE TRANSFERENCIA DE CALOR EVALUADO PARA CADA INTERVALO DE LONGITUD DL.

11.
12. C SECCION COMMONS
13.
14. C
15. C
16. C
17. C
18. C
19. C
20. C COMMON /PROPIN/ DEL1,DEV1,DEL2,VIL,VIV,CTL,CTV,CPL
21. C R R R R R R
22. C COMMON /GEOM/ DI,AFT
23. C R R
24. C COMMON /PROC/ WL,WV,X
25. C R R R
26. C COMMON /INDI/ JE
27. C R
28. C COMMON /CALC/ ALFA,HCON
29. C G
30. C GL=WL/AFT
31. C GV=WV/AFT
32. C GT=GL+GV
33. C REL=(1.-X)*GT*DI/VIL
34. C PPL=CPL*VIL/CTL
35. C IF(REL.LT.50.0) F2=0.707*PRL*REL**0.5
36. C IF(REL.GT.50. .0P,REL.LT.1125.0)F2=5.*PRL+5*ALOG(1.+PRL*
37. C 110.09636*REL**0.585-1.0))
38. C IF(REL.GT.1125.0)F2=5.*PRL+5.*ALOG(1.+5.*PRL)+2.5*ALOG(0.0031*
39. C PRL**0.812)
40. C XTT=(VIL/VIV)**0.1*((1.-X)/X)**0.9*(DEV1/DEL1)**0.5
41. C FXTT=0.15*(1./XTT+2.85*XTT**(-0.476))
42. C IF(FXTT.GT.0.1.OR.FXTT.LT.1.0)NU=FXTT*REL*PRL/F2
43. C IF(FXTT.GT.1.0.OR.FXTT.LT.20.0)NU=(FXTT**1.15)*PRL*REL**0.9/F2
44. C K=1
45. C IF(FXTT.LT.0.1) GO TO 90
46. C K=2
47. C IF(FXTT.GT.20.) GO TO 90
48. C 11 NU=(FXTT**1.15)*PRL*REL**0.9/F2
49. C GO TO 12
50. C 12 NU=FXTT*REL*PRL/F2
51. C 13 HCON=NU*CTL/DI
52. C GO TO 92
53. C 90 WRITE(6,91)
54. C 91 FORMAT(5X,'CALCULO FUERA DE RANGO')
55. C IF(K.EQ.1) GO TO 10
56. C GO TO 11
57. C 92 IF(TE.EC.1)WRITE(6,100)HCON
58. C 100 FORMAT(3X,'EN HCOND HCON= ',1PE14.6)

105

59. IFITE.LF.2) WRIT(6,101)CT,KFL,PRL,F2,XTT,FXTT
60. 101 FORMAT(FX,'EN MCND.GT/RCL/PRL/F2/XTT/FXTT= ',1P6E14.6)
61. RETURN
62. DEBUG UNIT(9),SUBCHK,INIT,SUBTRACE
63. END

FTN 287 ITANK 181 DBANK 16 COMMON

Subrutina HESTRA (HESTM)

Objetivo: Cálculo del coeficiente de transferencia de calor por condensación. (Modelo estratificado)

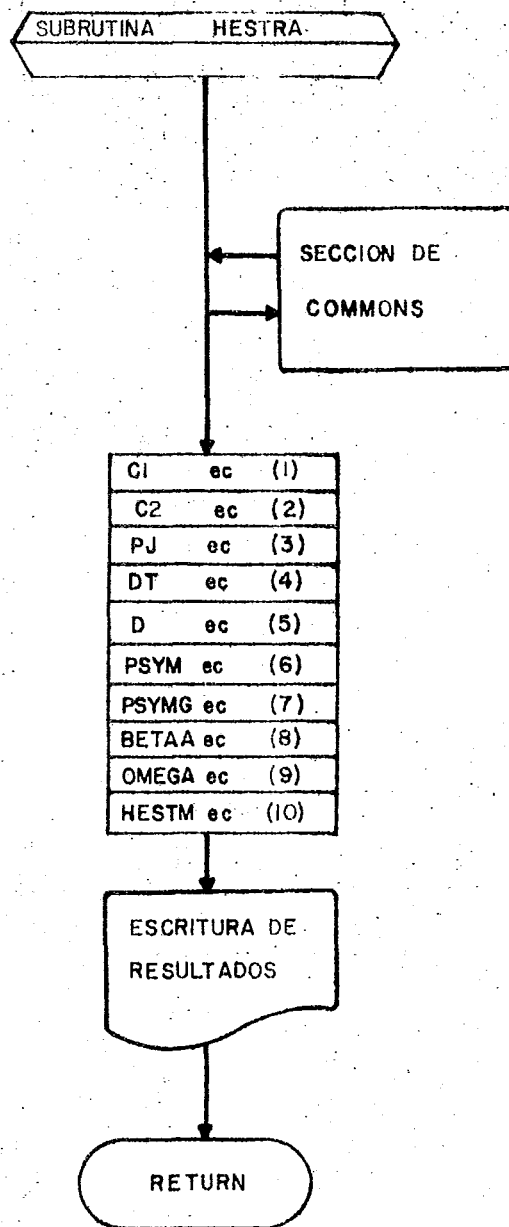
Chaddock J. B. Refrigerating Engineering 1957

Se considera un flujo laminar descendiente para todo el espesor de película que moja completamente la periferia del ducto.

La película de condensado, desciende al fondo del ducto considerando únicamente el efecto de aceleración de la gravedad, así el efecto de velocidad del vapor sobre el espesor de película se desprecia. Supone una diferencia DT constante entre TV y TW.

El modelo propone un coeficiente como función de un grupo de propiedades físicas-aceleración debida a la gravedad, denominado como PJ, y de un ángulo efectivo medio, medido desde la porción superior del ducto hasta la zona interior del ducto en donde se lleva a cabo el fenómeno de condensación.

Dicho coeficiente representa el fenómeno de la condensación para modelo de flujo estratificado.



ECUACIONES SUBRUTINA HESTRA

C1= (DEL1-DEV1)*416923200.* (CTL**3) (1)
C2= VIL* (DEL1*CAVAP) **3 (2)
PJ= (C1/C2)**0.25 (3)
DT= TV-TW (4)
D= DI*12. (5)
PSYM= 3.1416-((0.47*PJ*LT*(DT)**0.75)/(D**2.75))**0.142 (6)
PSYMG= PSYM*57.2957 (7)
BETA1= 0.899069+(0.199586E-3)*PSYMG-(0.619363E-5)*
PSYMG*PSYMG (8)
OMEGA= PJ*DEL1*CAVAP (9)
HESTM= (PSYM/3.1416)*((BETA1*OMEGA)/(DI*DT)**0.25) (10)

EFFECTIVO BURST (CFLT)

EN EL CALCO DE LOS COEFICIENTES DE TRANSFERENCIA DE CALOR Y DE CONDENSACION, SE PUEDE CONSIDERAR UNA PELICULA DE CONDENSACION DE espesor de la mitad del ancho de la tuberia.

EFFECTIVO CALCULO DEL COEFICIENTE DE TRANSFERENCIA DE CALOR Y DE CONDENSACION. (MODELO ESTRATIFICADO)
(CHADDOCK J. B. REFRIGERATING ENGINEERING 205)

EN ESTA OBRA SE INDICA QUE SE REGISTRA UN FLUJO LAMINAR DESCENDIENTE PARALELO AL ESPESOR DE LA PELICULA DE CONDENSACION, COMPLETAMENTE PURIFICADA EN EL DUCTO.

LA PELICULA DE CONDENSACION PESADETE AL FONDO DEL TUBO CONSIDERANDO EXCLUSIVAMENTE EL EFECTO DE GRAVEDAD, ASI EL EFECTO DE LA VELOCIDAD DEL VAPOR SOBRE EL ESPESOR DE LA PELICULA SE DESPRECIA, SE SUPONE UNA DIFERENCIA DE TEMPERATURA CONSTANTE ENTRE TV Y TW.

EFFECTIVO CUMINS

COMBINACIONES ALFA, HOCM, DPFR, DFAC, DTOT, DPTOT, HIOCL, HICCV, PULG
G C C G G G G G G G G G G G G G
HCCCL, HCCV, REL, REV, PSY, LPKPP, FFFF, FOF, FOF, FOF, FOF, FOF, FOF, FOF, FOF
COMBINACIONES FINAS DELT, U, V, D, LB, VIL, VIV, CTL, CTV, CPL, CPV
F R R R R R R R R R R R R R R R R
T, ECR, CAVP
R R R R R R R R R R R R R R R R R
COMBINACIONES DI, AFT, TETA, PUL, LT
R R R R R R R R R R R R R R R R R
COMBINACIONES TEMPS / TT1, TT2, TF, Tw, TS, TV
R R R R R R R R R R R R R R R R R
COMBINACIONES IT
R R R R R R R R R R R R R R R R R

CALCULO DEL GRUPO PI DE PROPIEDADES ESTADISTICAS-GRAVEDAD PARA COMPUTACION LAMINAR DE LA PELICULA.

CI=TEL(1+0.11)*4169232+1.* (CTL+93)

GRAVEU*(TEL+CAVAR)***3

PUE(0.17/2)*40.21

EETEV-TS

CALCULO DEL VALOR MEDIO DEL ANGULO EFECTIVO PSYM

DE EL ANGULO EFECTIVO INTERNACIONAL EN PULGADAS

DECUT12.

PSY=3.1415+((U+75)*ULTR*(DT)+(-0.7517/(U**2.75))**0.142

CALCULO DEL PARAMETRO GEOMETRICO RETA EN FUNCION DEL ANGULO EFECTIVO PSYM. (TIPO RESALDO EN GRADOS)

PSY*1.02PSYM**7.2267

SETT=(3.699+1.122565E-3)*PSYM+(-1.619763E-5)*PSYMG*PSYMG

CALCULO DEL COEFICIENTE ESTIMATIVO

OMEG=EPJ*DEL11*CAVAR

BEST=(PSYM/2.1436)**((BTIA*ROMEO4)/(DT+T))**3.25

DE(T+T**2.1)*PSIT,(S,2,1)*BEST

FON(T**2,1)*HECTAB*(BESTME**2.721445)

DE(T+T**2)*PSIT,(C,1,1)*U,DT,PSYMG,SETT1,OMEGA

OMEG=(T**2,1)*HST*(P1D1/PSYMG/SETT1/OMEGA**1,LP5E11.4)

PSY=

PSY,SETT1,DE(T+T**2)

110

LND

LAFFER IBANK 135 DBANK 42 COF 97

AF 20

Subrutina HCOWA (HCWM, ICADP2).

Objetivo: Cálculo del coeficiente de transferencia de calor por condensación dentro de ductos de sección uniforme y con velocidad de vapor moderada. Modelo onda, y/o cálculo de la caída de presión en flujo a dos fases mediante las correlaciones de LOCKHART-MARTINELLI.

H. Rosson A. Myers Chem. Eng. Prog. Sym. Ser. 1965.

A. Degance R. Atherton Chemical Engineering 1970.

La subrutina opera mediante un índice de cálculo ICADP2:

ICADP2 = 1 Cálculo de H

ICADP2 = 2 Cálculo de DP

ICADP2 = 3 Cálculo de ambos.

El coeficiente global propuesto por Rosson y Myers -- está basado en el cálculo de los coeficientes locales de transferencia alrededor de la periferia del ducto.

En la porción superior del tubo el coeficiente de película es independiente de la cantidad de condensado en el mismo.

Del análisis de Nusselt para condensación de película

se obtiene:

$$\left(\frac{H_{CON}*DO}{CTL}\right) = (\text{constante}) * \left(\frac{(DO^{**3}) * DEL1 * (DEL1-DEV1)^*G}{DO*VIL*DT}\right)^{**0.25}$$

Como existe esfuerzo cortante con el vapor, la constante es una función del Reynolds del vapor, al evaluar empírica mente esta correlación se obtiene una ecuación del tipo de la de Nusselt, modificada en su término constante.

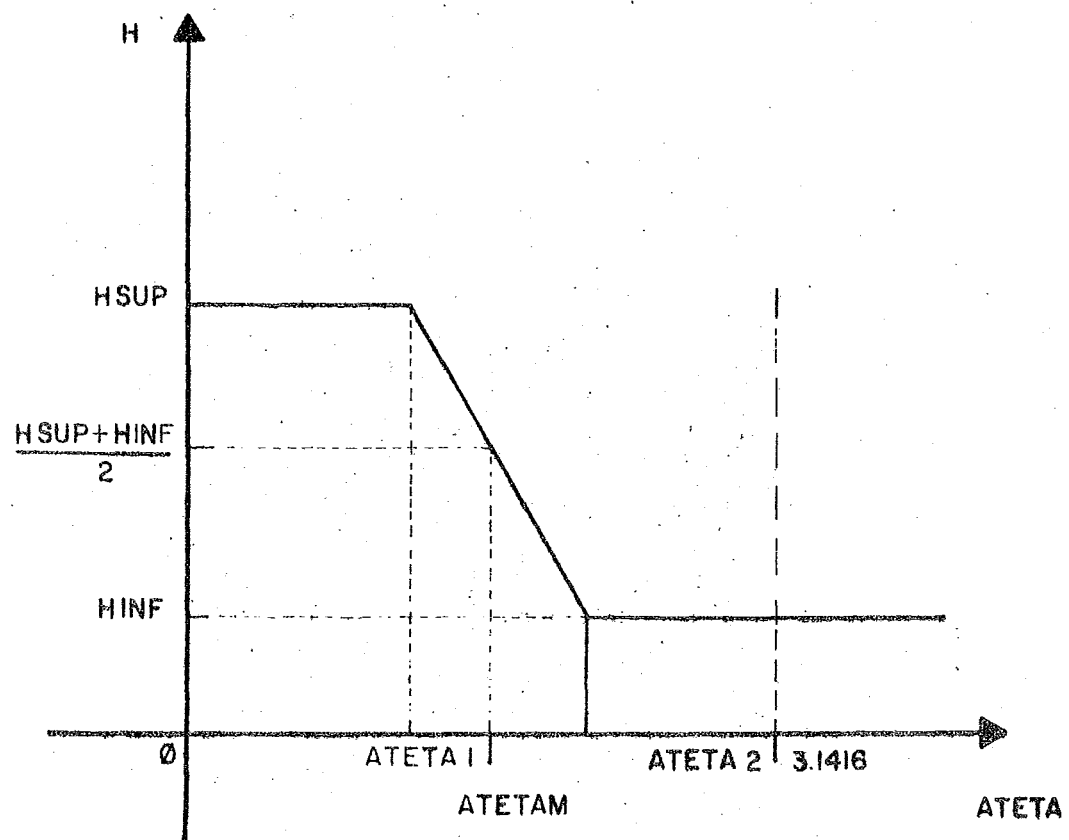
$$HSUP=0.31*(REL)^{**0.12}*\left(\frac{(CTL^{**3}) * CAVAP * DEL1 * (DEL1-DEV1)^*G}{DO*VIL*DT}\right)^{**0.25}$$

El coeficiente de la parte inferior representa la transferencia de calor de la porción de líquido estratificado en el fondo del ducto.

$$H_{INF}=\frac{FI(L,V)*\left(\frac{CTL}{DO}\right)*\text{SQRT}(8.*REL)}{5.+\left(\frac{5.}{PRL}\right)*(ALOG(5.*PRL)+1.)}$$

En donde FI (L,V) representa el parámetro de Lockhart-Martinelli de caída de presión para flujo a dos fases en función de los números de Reynolds de líquido y vapor respectivamente.

Los resultados experimentales de H v. s. ATETA pueden ser razonablemente aproximados en la mayoría de los casos por



una representación como muestra la gráfica.

El coeficiente local es aproximadamente igual a HSUP en la parte superior del tubo, $0 \leq ATETA \leq ATETA1$ y es muy cercano a HINF para la porción inferior del intervalo $ATETA2 \leq ATETA \leq 3.1416$. Para el intervalo $ATETA1 \leq ATETA \leq ATETA2$, el coeficiente decrece en forma lineal de HSUP hacia HINF, con el aumento de ATETA.

A un ángulo ATETAM el coeficiente local de transferencia es el promedio aritmético de HSUP y HINF.

Rosson y Myers sugirieron que ATETAM podía ser relacionado con parámetros de flujo y del sistema de la siguiente manera:

$$ATETAM = 0.27 * (3.1416) * (REV)^{0.1} \quad \text{Si } \frac{(REV)^{0.6} * (REL)^{0.5}}{GA} < 6.4 \times 10^{-5}$$

$$ATETAM = 1.74 \times 10^{-5} * (3.1416) * GA \quad \text{Si } \frac{(REV)^{0.6} * (REL)^{0.5}}{GA} \geq 6.4 \times 10^{-5}$$

En donde GA representa el número de Galileo

$$GA = \frac{(DI)^3 * DEL1 * (DEL1 - DEV1) * G}{(VIL)^2}$$

que expresa la relación entre la fuerza gravitacional y la fuerza viscosa.

Para la condición expresada en la figura el coeficiente medio a cualquier posición axial está dado por la siguiente expresión:

$$HCWM = HINF + (HSUP - HINF) * (ATETAM / 3.1416)$$

Para el cálculo de caída de presión la subrutina opera con un índice ICADP2 = 2, evaluando la función FI líquido de Lockhart-Martinelli en términos de los números de Reynolds - de líquido y del vapor para cualquiera de los cuatro casos - siguientes:

FITT líquido turbulento vapor turbulento

FITV líquido turbulento vapor viscoso

FIVT líquido viscoso vapor turbulento

FIVV líquido viscoso vapor viscoso

Una vez evaluada la función $FI(L,V)$ se procede al cálculo de la caída de presión mediante la expresión:

$$\left(\frac{DP}{DL}\right) TP = ((FI(L,V))^{**2}) * DPL$$

En donde DPL representa la caída de presión en la fase líquida considerando que el líquido ocupa la totalidad del ducto.

La caída de presión a simple fase se calcula mediante la correlación de : SIADER-TATE para fluido incompresible, - no isotérmico.

$$DPL = \frac{(FL * LT * (GL^{**2}))}{2 * 416923200 * DEL1 * DI} * A$$

En donde A es el factor de corrección de viscosidad de Siader-Tate.

$$A = (VILW/VIL)^{**N}$$

Asignando el valor N=0.25 si REL (numero de Reynolds) es menor que 2100. y N=0.14 en caso contrario.

SUBRUTINA HCOWA
HCWM, ICADP2

SECCION DE
COMMONS

WT	ec	(1)
GT	ec	(2)
VL	ec	(3)
VV	ec	(4)
REL	ec	(5)
REV	ec	(6)
PRL	ec	(7)

REL < 2000.

SI

FL

ec

(8)

FL ec (8)

REV < 2000.

SI

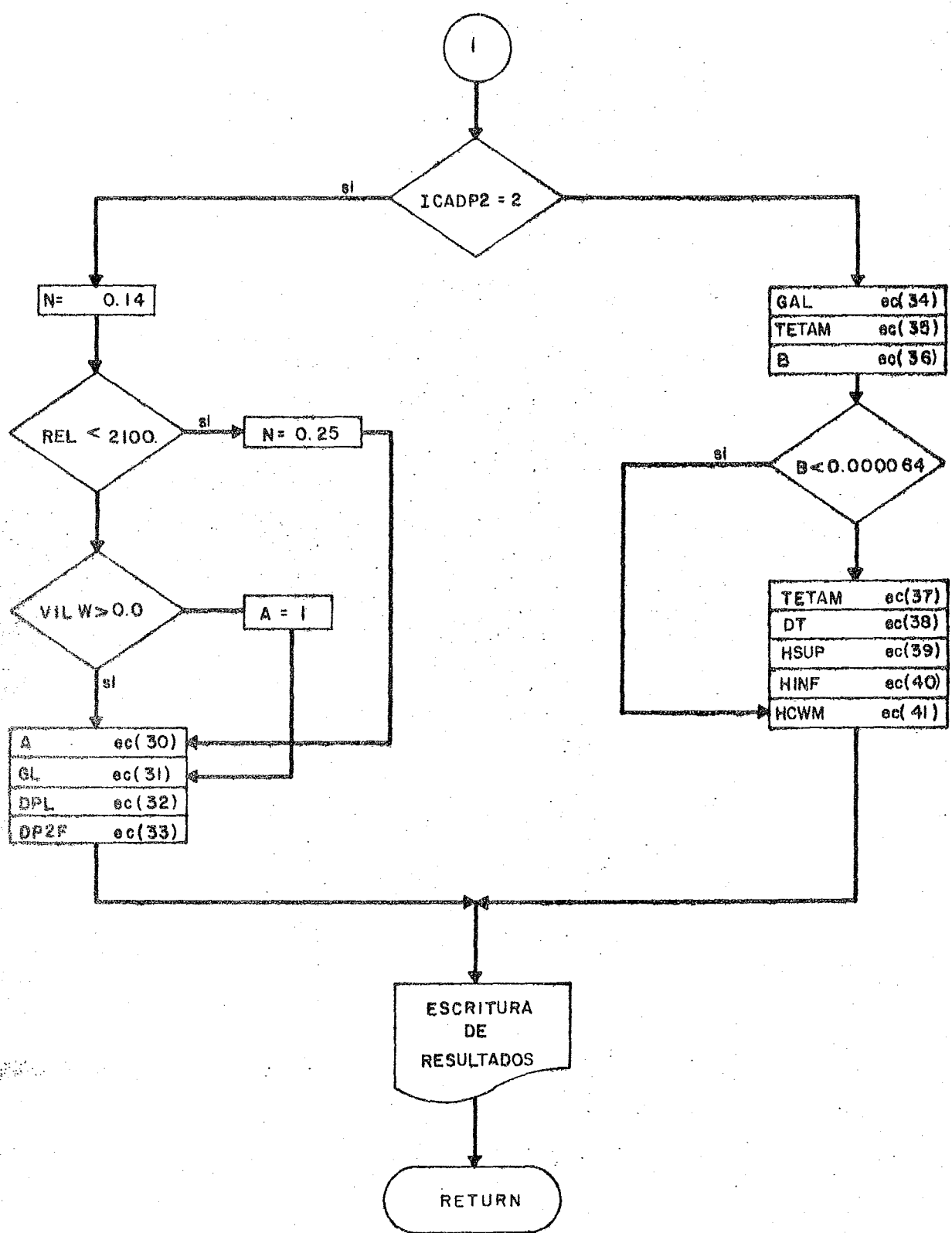
FV	ec	(10)
XTT	ec	(11)
A	ec	(12)
FITT	ec	(13)
FI	ec	(14)

FV	ec	(15)
XTV	ec	(16)
A	ec	(17)
FITV	ec	(18)
FI	ec	(19)

FV	ec	(20)
XTV	ec	(21)
A	ec	(22)
FIVT	ec	(23)
FI	ec	(24)

FV	ec	(25)
XVT	ec	(26)
A	ec	(27)
FIVT	ec	(28)
FI	ec	(29)

I



ECUACIONES SUBRUTINA HCOWA

WT= WL+WV (1)
 GT= WT/AFT (2)
 VL= GT*(1.-X)/DEL1 (3)
 VV= GT*X/DEV1 (4)
 REL= VL*DI*DEL1/VIL (5)
 REV= VV*DI*DEL2/VIV (6)
 PRL= CPL*VIL/CTL (7)
 FL= 0.0056+(0.5/REL**0.32) (8)
 FL= 64./REL (9)
 FV= 0.0056+(0.5/REL**0.32) (10)
 XTT= SQRT((DEL1*FL*VL**2)/(DEV1*FV*VV**2)) (11)
 A= ALOG(XTT) (12)
 FITT= EXP(C1+C2-C3-C4+C5+C6) (13)
 FI= FITT (14)
 FV= 64./REV (15)
 XTV= SQRT((DEL1*FL*VL**2)/(DEV1*FV*VV**2)) (16)
 A= ALOG(XTV) (17)
 FITV= EXP(C1-C2-C3+C4+C5) (18)
 FI= FITV (19)
 FV= 0.0056+(0.5/REL**0.32) (20)
 XVT= SQRT((DEL1*FL*VL**2)/(DEV1*FV*VV**2)) (21)
 A= ALOG(XVT) (22)
 FIVT= EXP(C1-C2-C3+C4+C5) (23)
 FI= FIVT (24)
 FV= 64./REV (25)
 XVV= SQRT((DEL1*FLVL**2)/(DEV1*FV*VV**2)) (26)
 A= ALOG(XVV) (27)
 FIVV= EXP(C1-C2-C3+C4+C5) (28)
 FI= FIVV (29)
 A1= (VILW/VIL)**N (30)
 GL= WL/AFT (31)

DPL= (C16/C17)*A1 (32)
DP2F= (PI**2)*DPL (33)
GAL= (DI**3)*DEL1*(DEL1-DEV1)*416923200./ (VIL*VIL) (34)
TETAM= 0.27*3.1416*REV**0.1 (35)
B= (REV**0.6)*(REL**0.5)/GAL (36)
TETAM= (1.74E-5)*3.1416*GAL/(180.* (REL*REV)**0.5) (37)
DT= TSAT-TW (38)
HSUP= C11*(C12/C13)**0.25 (39)
HINF= C14/C15 (40)
HCWM= HINF+(HSUP-HINF)*TETAM/3.1416 (41)

HAC SET. HCOWA
13/20/ -02 36

SUBROUTINE HCOWA(HCWM,ICADP2)

OBJETIVO CALCULO DEL COEFICIENTE DE TRANSFERENCIA DE CALOR
POR CONDENSACION DENTRO DE DUCTOS DE SECCION UNIFORME
Y CON VELOCIDAD DE VAPOR MODERADA. MODELO ONDA. (70)
CALCULO DE LA CAIDA DE PRESION EN FLUJO A DOS FASES
MEDIANTE LAS CORRELACIONES DE LOCKHART-MARTINELLI.
(H. ROSSON A. MYERS : CHEM. ENG. PROG. SYM. SER. 1966)
(A. DEGANCE R. ATHERTON : CHEMICAL ENGINEERING 1970)

OBSERVACIONES LA FUNCION FI CALCULADA ES LA DE LOCKHART Y
MARTINELLI QUE RELACIONA LA CAIDA DE PRESION EN FLUJO
A DOS FASES CON LA CAIDA DE PRESION EN FASE LIQUIDA.

SECTION COMMONS

COMMON /PROFIN/ DEL1,DEV1,DEL2,VIL,VIV,CTL,CTV,CPL,CPV,BETA,
R R R R

ICAV,P,VTLW

R P O

COMMON /GEOM/ DT,AFT,TETA,DO,LT
R R R R

COMMON /PROC/ WL,WV,X
R R R

COMMON /IND/ IF

COMMON /TEMPE/ TT,TIZ,TE,TW,TC,TV
R R

COMMON /CALC/ ALTA,ICON,DPFR,DPAC,DFGR,OPTOT,HIOCL,HIOCIV,HC,HR,HE,
F G G B F G G G G G G G G

HOCLE,HCCVE,REL,REV,PSV,DP2FP,HFFF,HD

G G G G G G F

WT=WL+HV

GT=WT/AFT

VL=GT*(1-X)/DEL1

VV=GT*X/DEV1

REL=VL*DI*DEL1/VIE

REV=VV*DI*DEV1/VIV

PRL=CPL*VIL/CTL

IF(PEL.LT.2000) GO TO 1

FL=1.0056*(1.5/REL**0.32)

GO TO 6

REGIMEN DEL LIQUIDO VISCOSEO (V)

1 FL=64./REL

IF(PEL.LT.2000) GO TO 2

GO TO 5

REGIMEN DEL LIQUIDO TURBULENTO (T)

5 IF(PEL.LT.2000) GO TO 3

GO TO 4

EN ESTE CASO EL VAPOR SIGUE TAMBIEN REGIMEN VISCOSEO (V)

2 FV=64./PEV

PARAMETRO XVV DE LOCKHART-MARTINELLI PARA REGIMENES

Liq. VISCOSEO; VAP. VISCOSEO.

XVV=SQRT((DEL1*FL*VL)**2)/(DEV1*FV*VV)**2))

59. C A=ANALOG(XVV)
 60. C FUNCION FI DE LOCKHART-MARTINELLI PARA REGIMENES
 61. C LIQ. VISCOSO, VAP. VISCOSO.
 62. C C1=(1.11633E-3)*A**5
 63. C C2=(1.142411-2)*A**4
 64. C C3=(1.547196-2)*A**3
 65. C C4=(1.956345-1)*A**2
 66. C C5=(-0.429580)*A+0.979954
 67. C FIVV=EXP(C1-C2-C3+C4+C5)
 68. C FI=FIVV
 69. C GO TO 10
 70. C EN ESTE CASO EL VAPOR SIGUE REGIMEN TURBULENTO
 71. S 5 FV=0.056+(0.5/REL)**0.321
 72. C XVT=SQRT((DEL1*FL*VL)**2)/(DEV1*FV*VV**2)
 73. C A=ANALOG(XVT)
 74. C FUNCION FI DE LOCKHART-MARTINELLI PARA REGIMENES
 75. C LIQ. VISCOSO, VAP. TURBULENTO
 76. C C1=(1.11867E-3)*A**5
 77. C C2=(1.573279E-3)*A**4
 78. C C3=(1.521166E-2)*A**3
 79. C C4=(1.0166844)*A**2
 80. C C5=(-0.443137)*A+1.24987
 81. C FITV=EXP(C1-C2-C3*(4+C5))
 82. C FI=FITV
 83. C GOT0 10
 84. C REGIMEN DEL VAPOR VISCOSE
 85. S 3 FV=64./REV
 86. C XTV=SQRT((DEL1*FL*VL)**2)/(DEV1*FV*VV**2)
 87. C A=ANALOG(XTV)
 88. C FUNCION FI DE LOCKHART-MARTINELLI PARA REGIMENES
 89. C LIQ. TURBULENTO, VAP. VISCOSO.
 90. C C1=(1.121974E-3)*A**5
 91. C C2=(1.645703E-3)*A**4
 92. C C3=(1.403578E-2)*A**3
 93. C C4=(1.0718848)*A**2
 94. C C5=(-0.4684944)*A+1.24916
 95. C FITV=EXP(C1-C2-C3+C4+C5)
 96. C FI=FITV
 97. C GO TO 10
 98. C EN ESTE CASO EL VAPOR SIGUE REGIMEN TURBULENTO
 99. S 4 FV=0.056+(0.5/REL)**0.321
 100. C XTT=SQRT((DEL1*FL*VL)**2)/(DEV1*FV*VV**2)
 101. C A=ANALOG(XTT)
 102. C FUNCION DE LOCKHART-MARTINELLI PARA REGIMENES
 103. C LIQ. TURBULENTO, VAP. TURBULENTO
 104. C C1=(1.124885E-3)*A**5
 105. C C2=(1.274665E-4)*A**4
 106. C C3=(1.12955E-2)*A**3
 107. C C4=(1.176414E-2)*A**2
 108. C C5=(1.0521161)*A**2
 109. C C6=(-0.504851)*A+1.24916
 110. C FITT=EXP(C1+C2+C3+C4+C5+C6)
 111. C FI=FITT
 112. S 1 IF(TCADE<2.26.2) GO TO 11
 113. C GALT=(DL**3)*DEL1*(DL1-DEV1)*416923300./(VIL*VIL)
 114. C CALCULO DE TETAM ANGULO PARA EL CUAL EL VALOR DEL COEF.
 115. C ES EL PROMEDIO ARITMETICO DE HSUPCOEF, DE LA PARTE SUP. DEL
 116. C DUCTO Y DE HSINFECOF, DE LA PARTE INF. DEL DUCTO
 117. C TETADE=(27*7.1416*R/V)**0.1
 118. C I=(TETADE)+(R*TLE**0.5)/GALT

B CONSTANTE

19. IF(P.LI.E.,'00.44) GO TO 7
 20. TETAM=(1.74F-5)*3.1416*GALZ/(1.0*(CTL*REV)*80.5)

21. CALCULO DEL COEFICIENTE HSUP

22. DT=TV-TW

23. C11=CE.31*REV**0.12

24. C12=(CTL**3)*CAVAP*DEL1*(DEL1-TV)*9416923200.

25. C13=DI*VIL*DT

26. HSUP=C11*(C12/C13)**0.25

27. CALCULO DEL COEFICIENTE HINF

28. C14=FI*(CTL/DI)*SQR(8.0*REL)

29. C15=S.+IS./PRL)*(ALOG(S.*PRL)+1.0)

30. HINF=C14/C15

31. CALCULO DEL COEFICIENTE MEDIO A CULQUIER POSICION AXIAL

32. HCWM=HINF+(HSUP-HINF)*TETAM/3.1416

33. IF(TE.EQ.11) WRITE(1,100) HCWM

34. FORMAT('X,'N HCOW',14.6)

35. IF(TE.LE.2) WRITE(1,101) REL,V,PEL,V,GAL,HINF,HSUP,TETAM

36. FORMAT('X,'N HCOW',REL/REV/F17.17/GAL/HINF/HSUP/TETAM*',1P3E14.6
 37. *,/17.17,17.17)

38. IF((CAVAP-2)17,17,1)

39. 17 GO TO 17

40. 11 =A-1.14

41. IF(PEL.LT.-100.0) A1=0.25

42. IF(VELW.GT. 0.0) GO TO 30

43. A1=1.0

44. GL=WL/AFT

45. C16=(FL*LT*GL*GL)

46. C17=(2.*94169232*D.*DEL1*DI)

47. DPLT(C16/C17)*A1

48. DR_{EF}=FI**3*DPL

49. DP .TP=DREF/144.

50. GO TO 13

51. A1=(VIL/WL)**AN

52. GO TO 31

53. SE MANDAN ESCRIRIR LOS REYNOLDS PARA PODER INTERPRETAR

54. LOS REGIMENES EXTERNAMENTE.

55. 103 IF(TE.EQ.1) WRITE(1,104) DR2F,DP2FP,DPL

56. 104 FORMAT('X,'N HCOWA DR2F/DP2FP/DPL*',1P3E14.6)

57. IF(TE.LE.2) WRITE(1,102) VL,VV,VCL,REV,XVV,XVT,XTV,XTT,FI

58. FORMAT('X,'N HCOWA VL/VV/REL/REV/XVV/XVT/XTV/XTT/FI*',1P3E14.6,

59. *,/17,17,17,17,17,17)

60. 107 RETURN

61. DBUS UNIT(1),SUBCH,INIT,SUBTRACE

62. END

174 NK 354 CRATE 4K COMMON

Subrutina COEFHO (IF, ICETC, HAIRE, HCNA, HSUE, HO)

Objetivo: Cálculo del coeficiente externo de transferencia -
de calor en diferentes medios.

La subrutina COEFHO funciona como directriz en torno
al cálculo de coeficiente externo de transferencia de calor.

Utiliza para su funcionamiento un índice IF de fase -
de fluido externo en caso de ser necesario y un índice de --
coeficiente externo de transferencia de calor ICETC, mediante
el cual se efectúa el cálculo del coeficiente externo de trans-
ferencia, según sea el medio exterior.

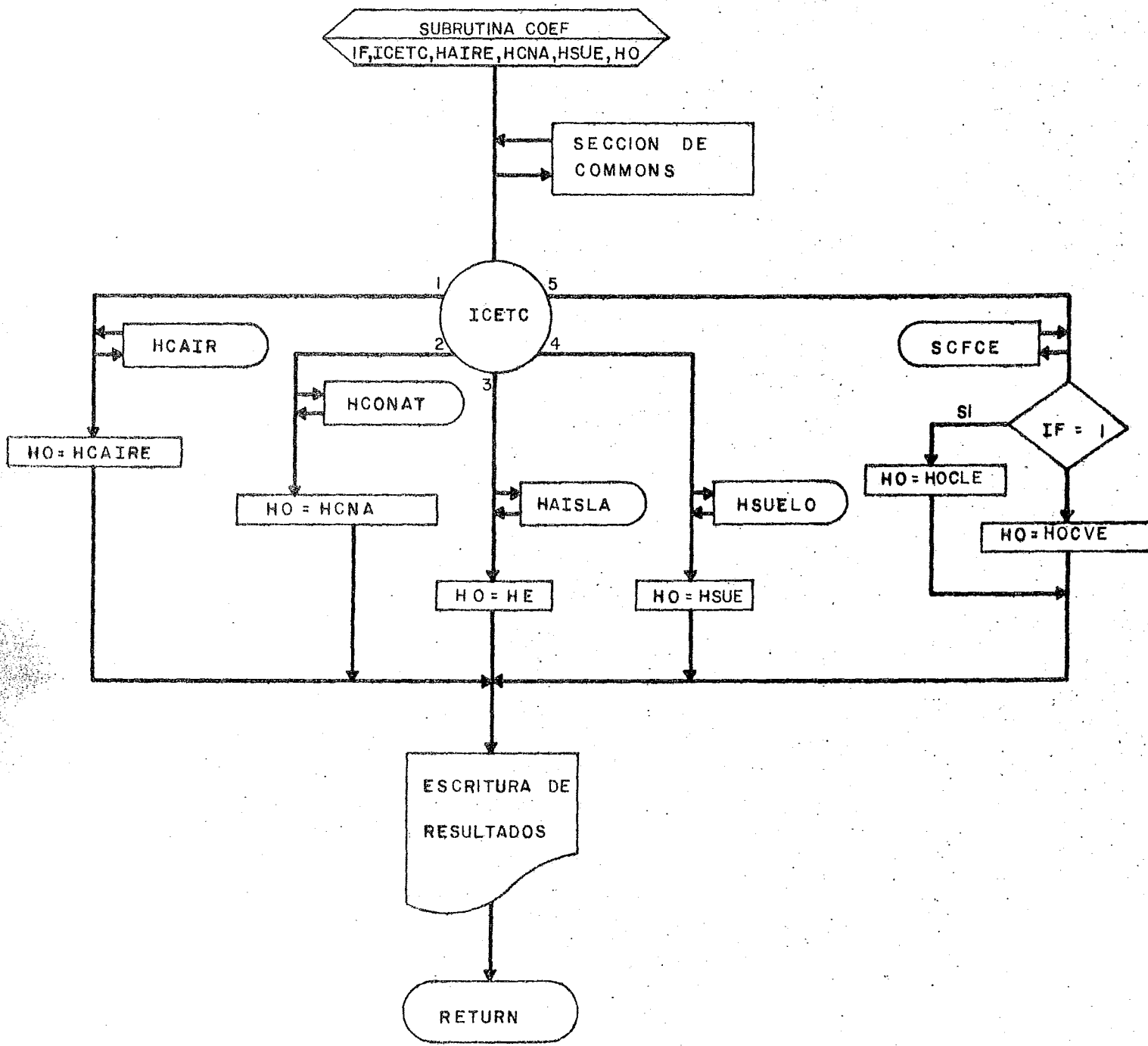
ICETC=1 evaluación del coeficiente externo de transferencia
de calor con aire a presión atmosférica y temperatu-
ra ambiente. Convección natural.

ICETC=2 evaluación del coeficiente de transferencia de calor
por convección natural con líquidos.

ICETC=3 evaluación del coeficiente externo en ductos aislados
(convección natural con aire y radiación).

ICETC=4 evaluación del coeficiente de transferencia de calor
por conducción en ductos totalmente enterrados.

ICETC=5 evaluación del coeficiente externo de transferencia
de calor en cambiadores de doble tubo.



10/22/80-08 32

```

1.      SUBROUTINE COEFHO(IF,ICETC,HAIRE,HCNA,HSUE,H0)
2.      C*****C*****C*****C*****C*****C*****C*****C*****C*****C*****C
3.      C
4.      C      OBJETIVO CALCULO DEL COEFICIENTE EXTERNO DE TRANSFERENCIA DE
5.      C      CALOR EN DIFFERENTES MEDIOS.
6.      C
7.      C      CORRELACIONES Y METODOS
8.      C
9.      C      CONVECCION NATURAL CON AIRE A TEMPERATURA AMBIENTE Y PRESION
10.     C      ATMOSFERICA POR CORELACIONES DE MC. ADAMS.
11.     C      CONVECCION NATURAL CON LIQUIDOS POR MC. ADAMS
12.     C      DUCTOS AISLADOS COEFICIENTE EXTERNO DEFINIDO COMO LA SUMA
13.     C      DEL COEFICIENTE POR CONVECCION NATURAL CON AIRE CONSIDERANDO
14.     C      LA VELOCIDAD DEL VIENTO Y EL COEFICIENTE DE RADIACION POR
15.     C      R. VIVAS CARDONA
16.     C      COEFICIENTE DE TRANSFERENCIA DE CALOR POR CONDUCCION EN
17.     C      DUCTOS TOTALMENTE ENTERRADOS POR W. M. ROHSENOW
18.     C      COEFICIENTE EXTERNO DE TRANSFERENCIA DE CALOR SIN CAMBIO
19.     C      DE FASE.(CAMBIADORES DE DOBLE TUBO) POR SIEDER-TATE
20.     C
21.     C      SUBRUTINAS UTILIZADAS
22.     C
23.     C      HCAIR CALCULO DE H. DE CONVECCION NATURAL CON AIRE
24.     C      HCONAT CALCULO DE H. DE CONVECCION NATURAL CON LIQUIDOS
25.     C      HAISLA CALCULO DE H. EN DUCTOS AISLADOS
26.     C      HSUEL0 CALCULO DE H. EN DUCTOS ENTERRADOS
27.     C      SCFCE CALCULO DE H. EN CAMBIADORES DE DOBLE TUBO.
28.     C
29.     C      OBSERVACIONES
30.     C
31.     C      EL CALCULO DE LOS DISTINTOS COEFICIENTES EXTERNOS SE EFECTUA MEDIANTE UN INDICE DE COEFICIENTE EXTERNO DE TRANSFERENCIA DE CALOR. ICETC
32.     C
33.     C      ICETC=1 EVALUACION DEL COEFICIENTE EXTERNO DE TRANSFERENCIA DE CALOR CON AIRE A PRESION ATMOSFERICA Y TEMPERATURA AMBIENTE.(CONVECCION NATURAL CON AIRE)
34.     C      ICETC=2 EVALUACION DEL COEFICIENTE EXTERNO DE TRANSFERENCIA DE CALOR CON LIQUIDOS.(CONVECCION NATURAL)
35.     C      ICETC=3 EVALUACION DEL COEFICIENTE EXTERNO DE TRANSFERENCIA DE CALOR EN DUCTOS AISLADOS.(CONVECCION NATURAL CON AIRE Y RADIACION)
36.     C      ICETC=4 EVALUACION DEL COEFICIENTE EXTERNO DE TRANSFERENCIA DE CALOR EN DUCTOS ENTERRADOS.
37.     C      ICETC=5 EVALUACION DEL COEFICIENTE EXTERNO DE TRANSFERENCIA DE CALOR EN CAMBIADORES DE DOBLE TUBO.
38.     C
39.     C*****C*****C*****C*****C*****C*****C*****C*****C*****C*****C*****C
40.     C
41.     C      SECCION DE COMMONS
42.     C
43.     C      COMMON/CALC/ALFA,HCON,DPFR,DPAC,DFGP,DPTOT,HIOL,HIOLY,HC,HR,HE,
44.     C
45.     C      1HOCLE,HOCVE
46.     C      G   G   G
47.     C
48.     C      EO TO(10,20,30,40,50),ICETC
49.     C      10 CALL HCAIR(HAIRE)

```

59. HO=HAIRE 127
60. GO TO 60
61. 20 CALL HCONAT(HCNA)
62. HO=HCNA
63. GO TO 60
64. 30 CALL HAISLA
65. HO=HE
66. GO TO 60
67. 40 CALL HSUELO(HSUE)
68. HO=HSUE
69. GO TO 60
70. 50 CALL SCFCE
71. IF(IF.EQ.1) GO TO 70
72. HO=HOCVF
73. GO TO 60
74. 70 HO=HOCLC
75. 60 WRITE(6,301)
76. 301 FORMAT(5X,'EN COEFHO TERMINA EL CALCULO IUSO=1')
77. RETURN
78. DEBUG UNIT(8),SUBCHK,INIT,SUBTRACE
79. END

END FTN 1E6 IBANK 46 DBANK 13 COMMON

Subrutina HCAIR (AIRE).

Objetivo: Cálculo del coeficiente de transferencia de calor por convección natural fuera de ductos, con aire a presión atmosférica y temperatura ambiente.

Wilham H. Mc Adams Heat transmission P. 197-77.

Al exponer una superficie caliente en contacto con aire a temperatura ambiente, en tanto que la densidad del aire cerca de la superficie caliente es menor que la densidad promedio del aire a temperatura ambiente que rodea la superficie, las fuerzas de flotación causan un flujo ascendente de aire cerca de la superficie.

Si la superficie estuviera más fría que el aire que le rodea, dicha densidad sería mayor, causando un flujo descendente de aire cerca de la superficie.

Cilindros verticales:

Para aire a la temperatura ordinaria y presión atmosférica la ecuación:

$$(HCAIR*LT/CTL)=C* ((LT**3*(DEV1**2)*G*BETA*DT/VIL**2)*(CPL*VIL/CTC))$$

**n

que es de la forma $Y=CX^n$

se reduce a $HCAIR=C'Dt^{n-3}/L$

Para X entre 10^9 a 10^{12}

$$HCAIR = 0.19 * DT^{**0.333}$$

Para X entre 10^4 y 10^9

$$HCAIR = 0.29 ((TW-TE)/LT)^{**0.25}$$

Cilindros horizontales.

Como en el caso anterior, para la convección con aire a temperatura ambiente y presión atmosférica, considerando el cambio de dimensión característica LT por DO a la definición propuesta de X, se obtiene para el rango de X entre 10^9 a 10^{12}

$$HCAIR = 0.18(TW-TE)^{**0.333}$$

Para cualquier valor de X comprendido entre 10^3 y 10^9
Mc Adams propone:

$$HCAIR = 0.27 ((TW-TE) /DO)^{**0.25}$$

La subrutina opera según un índice de posición para ductos verticales u horizontales, calculando el coeficiente de convección natural como una función de XV ó XH respectivamente, entre los rangos establecidos, en caso de encontrar valores de XV ó XH fuera de los rangos determinados, imprime un mensaje y continúa el cálculo direccionándolo a la expresión adecuada para la obtención del coeficiente.

SUBRUTINA HCAIR
HAIRE

SECCION DE:
COMMONS

DT	ec	(1)
K = 1		
PRE	ec	(2)
CI	ec	(3)

I POS=1 SI

XH ec (7)

XV ec (4)

XH > 10⁹

XH > 10³ SI

K=2

XV > 10⁴

XV > 10⁶ SI

XH > 10²

K=4

MENSAJE CALCULO
FUERA DE
RANGO

K=3

XV > 10²

HAIRE ec (8)

IV

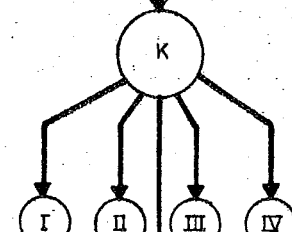
HAIRE ec (5)

III

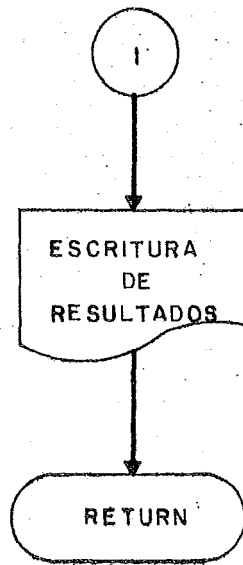
HAIRE ec (9)

I

II



I



ECUACIONES SUBRUTINA HCAIR

DT= TW-TE (1)
PRE= CPVE*VIVE/CTVE (2)
C1= 416923200.*BETAE*DT*DEVE1*DEVE1*PRE/(VIVE*VIVE) (3)
XV= C1*LT**3 (4)
HAIRE= 0.19* (DT**0.333) (5)
HAIRE= 0.29* (DT/LT)**0.25 (6)
XH= C1*DO**3 (7)
HAIRE= 0.18* (DT**0.333) (8)
HAIRE= 0.27* (DT/DO)** 0.25 (9)

1. TECN. HUARIR
2. 178-05 49

1. SUBROUTINE HCATHAIRE
 2. C*****
 3. C
 4. C ORJETIVO CALCULO DEL COEFFICIENTE DE TRANSFERENCIA DE CALOR POR
 5. C CONVECCION NATURAL FUERA DE DUCTOS, CON AIRE A PRESION
 6. C ATMOSFERICA Y TEMPERATURA AMBIENTE.
 7. C (WILHAM H. MC. ADAMS HEAT TRANSMISSION P. 175-77)
 8. C
 9. C OBSERVACIONES IPCS ES UN INDICE DE POSICION
 10. C IPCS=1 VERTICAL
 11. C =2 HORIZONTAL
 12. C
 13. C*****
 14. C
 15. C SECTION COMMONS
 16. C
 17. C COMMON /PROFCU/ DELE1,DFVEL,DELE2,VTLE,VIVE,CTLE,CTVE,CPL,
 18. C R R R
 19. C CPVF,BETA,E
 20. C R
 21. C COMMON /LOM/ DI,AFT,TETA,DU,LT
 22. C R R
 23. C COMMON /INDIV/ IT,IFASE,IPOS
 24. C R R
 25. C COMMON /TEMPE/ TT1,TT2,TE,TW
 26. C R R
 27. C
 28. C DT=TW-TF
 29. C K=1
 30. C PRE=CPVF*VIVE/CTVE
 31. C CI=416923200.*BETA*DT*DU*(DELE1+DELE2)*PRE/(VIVE*VIVE)
 32. C IF(IPOS.EQ.1) GO TO 35
 33. C XH=C1*D0**3
 34. C IF(XH.LT.10FU,) GO TO 60
 35. C IF(XH.LT.1.E9) GO TO 51
 36. C IF(XH.GE.1.E12) GO TO 59
 37. C 54 HAIRE=.18*DT**0.33
 38. C GO TO 27
 39. C 51 HAIRE=.7*(CT/DC)**0.25
 40. C GO TO 27
 41. C 59 K=4
 42. C GO TO 67
 43. C 50 XVEC1=L7**3
 44. C 1F(YV.LT.1.E4). FC TO 58
 45. C 1F(YV.LT.1.E9) FC TO 52
 46. C 1F(YV.GT.1.E12) GO TO 57
 47. C 53 HAIRE=.1.*DT**.733
 48. C GO TO 27
 49. C 52 HAIRE=.55*(DT/LT)**.25
 50. C GO TO 27
 51. C 58 K=2
 52. C GO TO 67
 53. C 57 K=3
 54. C 6L WRITL(6,1)
 55. C 91 FORMAT(7A,'CALCULO FUERA DE TANGO,(CONTINUAR)')
 56. C GO TO (F1,52,53,14),K
 57. C 2L IF(TE.EQ.1) WRITL(6,15L)-AIR
 58. C 15L FORMAT(7A,'EN HC AIR HAT.FE',1RE14.6)

59. IF(IIE,LF,2) WRITE(6,151)DT,CF,XH,XV,HAIRE
60. 151 FORMAT('X, FN HCAIR DT/01/XH/XV/HAIRE=',1P5E14.6)
61. RETURN
62. DEUC UNIT(8),SUBCHK,INIT,SUBTRACE
63. END

U FTN 159 IFANK 146 DRANK 22 COMMON

IN

Subrutina HCONAT (HCNA).

Objetivo: Cálculo del coeficiente de transferencia de calor por convección natural fuera de ductos con líquidos.

Wilham H. Mc. Adams Heat Transmission P. 175-77

Correlación para cilindros verticales:

En 1932 King. correlacionó sus datos para planos verticales con los de otros observadores, para planos y cilindros verticales, Colburn contribuyó aportando datos de agua fluyendo a bajas velocidades en ductos verticales.

Usando una longitud LT en los números Nusselt y Grashof los datos fueron correlacionados en una gráfica logaritmo de Nu v.s. logaritmo de GrPr obteniéndose la representación de una ecuación de la forma $Y=CX^n$, es decir:

$$(HCNA*LT/CTL)=C*((LT^{**3}*(DEL1**2)*G*BETA*DT/VIL^{**2})*(CPL*VIL/CTL))^{**n}$$

Para todos los valores de X entre 3.5×10^7 a 10^{12} -
 $C=0.13$ y $n=0.333$ y para valores de X entre 10^4 a 3.5×10^7 -
 $C=0.55$ y $n=0.25$.

Para cilindros horizontales se reemplaza la longitud

LT por el diámetro externo DO, Saunders y Weise realizaron la corrección del coeficiente basándose en un conjunto extenso de datos, como lo muestra la figura, en donde la curva continua muestra la correlación recomendada.

En el rango turbulento para X entre 10^9 y 10^{12} , la ecuación recomendada es:

$$(HCNA*LT/CTL) = 0.13 * ((LT^{**3} * (DEL1^{**2}) * G * BETA * DT / VIL^{**2}) * (CPL * VIL / CTL)) \\ **\phi.333$$

En el rango de flujo laminar, para X entre 10^4 y 10^9 , se sugiere la expresión:

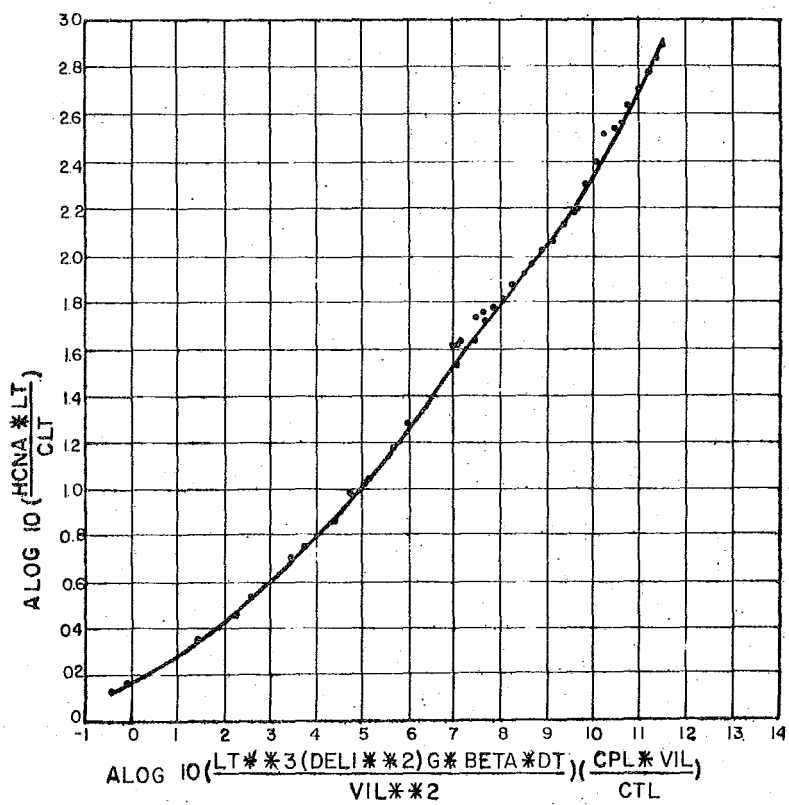
$$(HCNA*LT/CTL) = 0.59 ((LT^{**3} * (DEL1^{**2}) * G * BETA * DT / VIL^{**2}) * (CPL * VIL / CTL)) \\ **\phi.25$$

Correlación para cilindros horizontales:

Ackermann propuso para X entre 10^3 y 10^9 la siguiente ecuación:

$$(HCNA*DO/CTL) = 0.53 ((DO^{**3} * (DEL1^{**2}) * G * BETA * DT / VIL^{**2}) * CPL * VIL / CTL)) \\ **\phi.25$$

Si la dimensión característica tomada es la distancia máxima que viaja el líquido $LT = (3.1416) * DO / 2$. en lugar de DO,



la constante toma el valor de 0.59 como en el caso de cilindros verticales.

Para el caso de ductos horizontales, la ecuación propuesta por Mc. Adams es:

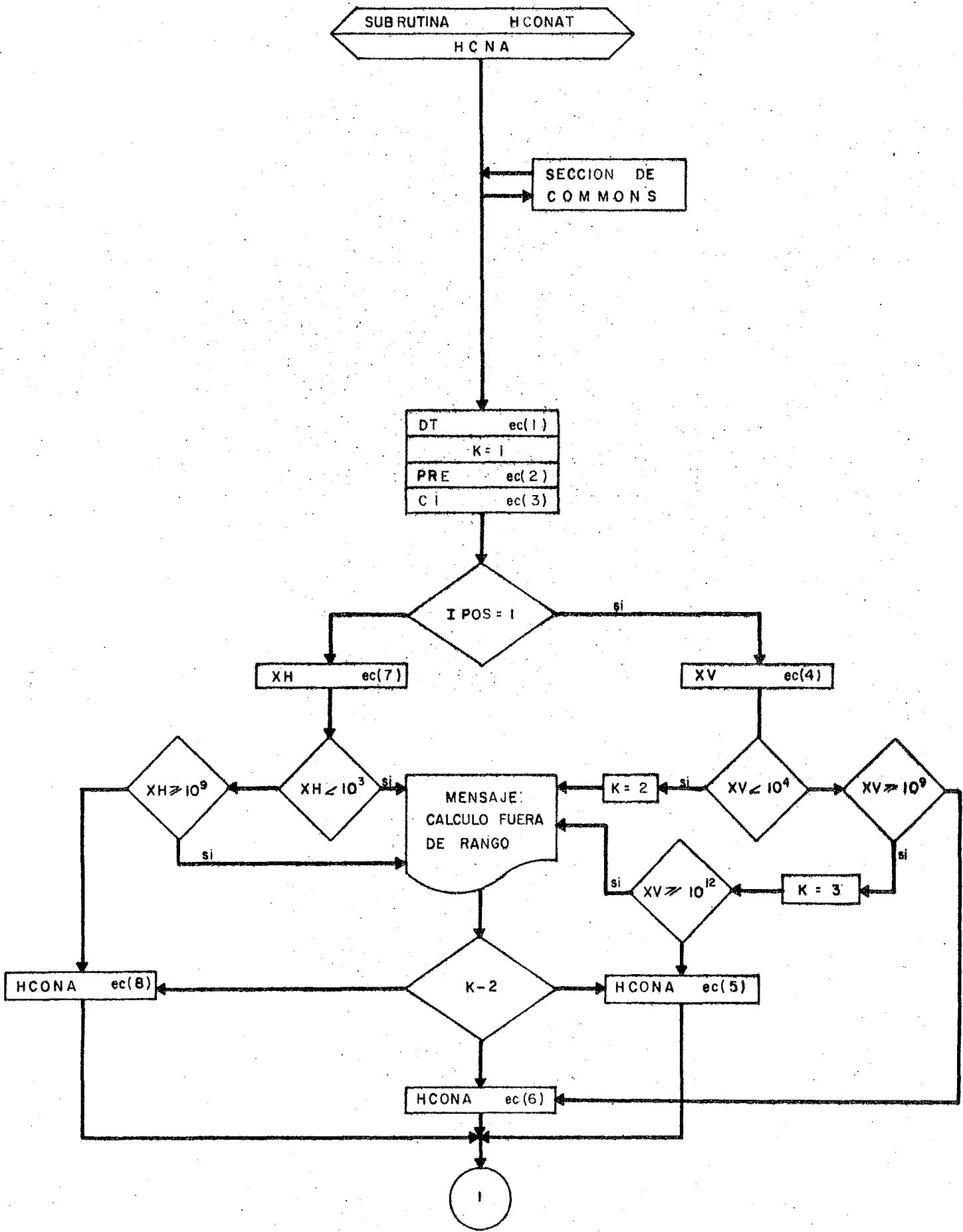
$$Nu = 0.53 * Ra^{(1/4)}$$

en donde el número de Rayleigh queda definido como el producto del número de Grashof y el número de Prandtl, al ser expresada en unidades dimensionales más adecuadas para el diseño se obtiene (ver apéndice) la siguiente expresión:

$$HCNA * 113.0 * ((CTL^{(3)} * (DELL^{(2)} * CPL / VIL) * (BETA * DT / DO))^{(1/4)})^{(0.25)}$$

D. Kern dedujo una expresión igual a la anterior con un valor de la constante ligeramente mayor, es decir 116.0 en lugar de 113.

La subrutina HCONAT está diseñada para calcular el coeficiente de transferencia de calor por convección natural en función de la posición del ducto y de los rangos para X establecidos, en caso de obtener valores fuera de los rangos determinados para X la subrutina escribe un mensaje indicando que el cálculo esta fuera de rango y continua el cálculo dirigiéndolo éste a la expresión adecuada para la obtención del coeficiente.





ECUACIONES SUBRUTINA HCONAT

$$DT = TW - TE \quad (1)$$

$$PRE = CPLE * VILE / CTLE \quad (2)$$

$$C1 = 416923200. * BETAE * DT * DELE1 * DELE1 * PRE / (VILE * VILE) \quad (3)$$

$$XV = C1 * LT ** 3 \quad (4)$$

$$HCNA = 0.13 * (CTLE * (XV) ** 0.333) / LT \quad (5)$$

$$HCNA = 0.59 * (CTLE * (XV) ** 0.25) / LT \quad (6)$$

$$XH = C1 * DO ** 3 \quad (7)$$

$$HCNA = 0.53 * (CTLE * (XH) ** 0.25) / DO \quad (8)$$

,HWCETLS.HCONAT
\$10/21780-09 49

1. SUBROUTINE HCONAT(HCONA)

```

2. ****
3. C
4. C   OBJETIVO CALCULO DEL COEFFICIENTE DE TRANSFERENCA DE CALOR POR
5. C   CONVECCION NATURAL FULRA DE DUCTOS CON LIQUIDOS.
6. C   (WILHAM H. MC. ADAMS    HEAT TRANSMISSION    P. 175-77)
7. C
8. C   OBSERVACIONES: IPOS ES UN INDICE DE POSICION
9. C           IPOS=1 VERTICAL
10. C          IPOS=2 HORIZONTAL
11. C
12. C   ****
13. C
14. C   SECTION CUMMONS
15. C
16. C   COMMON /PROPOU/ DFL1,DFVE1,DFLF2,VILE,VIVE,CTLE,CTVE,CPLF,
17. C           R           R           R
18. C   ICPVF,BETAF
19. C           R
20. C   COMMON/GLOM/ DI,AFT,TETA,DU,LT
21. C           R           R
22. C   COMMON /INDI/ IE,IFASE,IPOS
23. C           R           R
24. C   COMMON/TEMPE/ TT1,TT2,TE,TW
25. C           R           R
26. C
27. C   DT=TW-TE
28. C   K=1
29. C   PRE=CPLF*VILE/CTLE
30. C   C1=416923200.*BETAF*DT*DFL1*CELE1*PRE/(VILE*VILE)
31. C   IF(IPOS.EQ.1) GO TO 50
32. C   XH=C1*D0*#3
33. C   IF(XH.LT.1)GO TO 100
34. C   IF(XH.GE.1.E9) GO TO 100
35. 61 HCNA=D.53*(CTLE*(XH)**D.25)/DC
36. GO TO 200
37. 50 XV=C1*LT*#3
38. IF(XV.LT.1.E4) GO TO 20
39. IF(XV.GE.1.E9) GO TO 21
40. 62 HCNA=D.59*(CTLE*(XV)**D.25)/LT
41. GO TO 200
42. 20 K=2
43. GO TO 100
44. 21 K=3
45. IF(XV.GE. 1.E12) GO TO 100
46. 63 HCNA=D.13*(CTLE*(XV)**D.373)/LT
47. GO TO 200
48. 100 WRITE(6,91)
49. 91 FORMAT(1X,'CALCULO FUERA DE RANGO, (CONTINUAR?)')
50. IF(K-2)61,62,63
51. 61C IF(IE.EQ.1) WRITE(6,150)HCNA
52. 150 FORMAT(3X,'EN HCONAT - HCNA = ',1PF14.6)
53. IF(IE.LE.2)WRITE(6,151)DT,C1,XH,XV,HCNA
54. 151 FORMAT(5X,'EN HCONAT , DT/C1/XH/XV/HCNA = ',1P5E14.6)
55. RETURN
56. DEBUG UNIT(5),SUBCK,INIT,SUBTRACE
57. END

```

Subrutina HAISLA.

Objetivo: Cálculo de coeficiente externo de transferencia de calor en ductos recubiertos con aislante. El coeficiente externo (HE) se define como la suma del coeficiente de transferencia de calor por convección con el aire (HC) y el coeficiente de radiación (HR), es decir $HE=HC+HR$.

R. Vivas R. Cardona revista IMP julio de 1979.

Un material aislante es aquel que ofrece básicamente una gran resistencia al flujo de calor a través de él, requiere de otras propiedades como son:
Resistencia mecánica, estabilidad dimensional, no corrosivo, que no propicie microorganismos, que no sea combustible, que no desprenda gases tóxicos, etc.

La resistencia al flujo de calor es inversamente proporcional a la densidad del material, esto constituye una limitante para obtener mejores aislantes ya que serían necesariamente materiales muy frágiles y no llenarían los demás requisitos mencionados anteriormente.

Dependiendo de su estructura se pueden clasificar en fibrosos, espumosos, monolíticos y reflectivos, por su pre-

sentación se clasifican en rígidos, semirígidos y flexibles.

Existen tres razones fundamentales que justifican el uso de sistemas de aislamiento térmico en instalaciones industriales.

Seguridad Industrial.

Condiciones de proceso.

Administración de energía.

Seguridad Industrial:

Las plantas de proceso constan de una serie de operaciones y procesos unitarios que transforman materias primas en productos, lo que implica necesariamente la creación de medios artificiales requeridos por el proceso, que involucran cambios de presión, temperatura composición de los materiales entre otras variables, incluyendo una generación, transformación y transferencia de energía y por consiguiente una serie de riesgos potenciales a los operadores que requieran moverse en el área y que deberán ser eliminados.

En el aspecto térmico los sistemas de aislamiento son el medio más importante para dar protección al personal.

Condiciones de proceso:

En la mayoría de los procesos industriales, existen -

secciones críticas en las que es necesario tener un control riguroso de la temperatura, ya que de esto pueden depender tanto la calidad del producto como las mismas condiciones del proceso, razón por la cual se debe diseñar un sistema sofisticado de control o bien diseñar un sistema de aislamiento térmico que garantice que dichas secciones estén "libres de pérdidas de energía".

Administración de energía:

Debido a que el combustible como principal energético era barato hasta hace pocos años, este renglón tuvo una importancia secundaria para la especificación del aislamiento térmico. Actualmente el precio elevado del petróleo en el mercado internacional, hace pensar en una mejor administración de la energía en términos de una mayor eficiencia en el aprovechamiento de los efluentes de proceso de cualquier sistema.

En superficies planas las variaciones en el espesor del aislante no modifican la superficie externa del sistema, considerando que la transferencia de calor se efectúa en régimen permanente se puede decir que:

$$\frac{Q}{A} = \text{Constante} = q$$

A diferencia cuando se pretende aislar una superficie curva, cualquier variación en el espesor del aislante implica una variación logarítmica de la superficie de la cara externa, de manera que no es posible establecer que es constante la relación.

$$\frac{Q}{A} \neq \text{Constante}$$

En este caso las ecuaciones de transferencia de calor de acuerdo con la ley de Fourier son:

$$(3.1416)^* (TM-TE)$$

$$Q_2 = \frac{1. ED}{(DI^*HI) (CTD^*DLM)} + \frac{1.}{(2.^*CTA1)} * \text{ALOG} \left(\frac{DEA1}{DO} \right) + \frac{1.}{(2.^*CTA2)} * \text{ALOG} \left(\frac{DEA2}{DEA1} \right) + \frac{1.}{(HE^*DEA2)}$$

$$TM = (T1+T2)/2$$

$$DEA1 = DO + (2.^*EA1)$$

$$DEA2 = DO + 2.^*(EA1+EA2)$$

$$DLM = \frac{ED}{\text{ALOG}(DO/DI)}$$

$$Q1 = (3.1416)^* HE^* DEA2^* (T-TE)$$

El cálculo de coeficiente de radiación HR, se obtiene de la expresión:

$$HR = \frac{(0.173^*E^* \left(\left(\frac{T}{100.} \right)^{**4} - \left(\frac{TE}{100.} \right)^{**4} \right))}{T-TE}$$

Para el cálculo del coeficiente de convección se aplican los siguientes valores de PGALFA:

Tubería horizontal DO<24 in PGALFA = 1.56 (DO)**(-0.198)

Tubería vertical DO<24 in PGALFA = 1.239 (DO)**(-0.2)

en la ecuación de convección debido al aire

$$HC = PGALFA * \frac{(T+TE)}{2} ** (-0.181) * (T-TE) ** (0.266 * B)$$

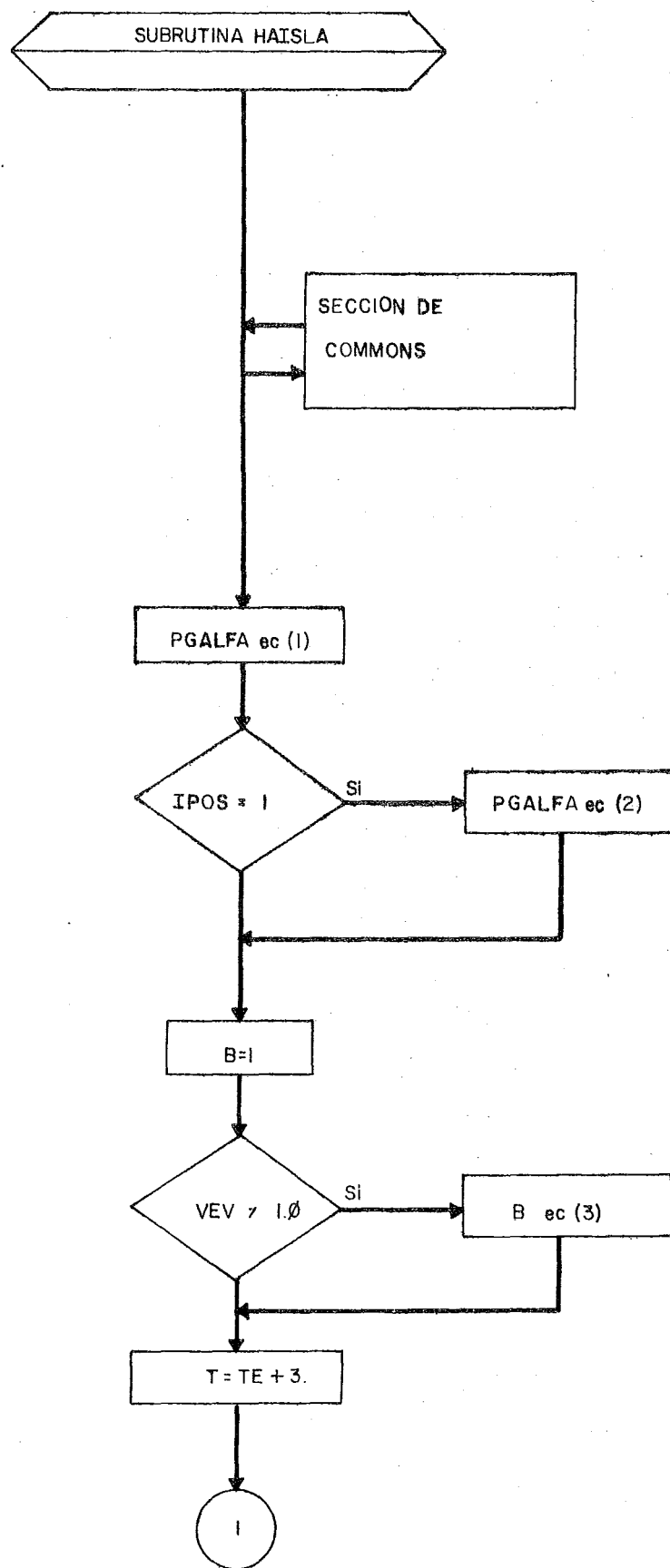
En donde el factor geométrico PGALFA queda definido por las ecuaciones anteriores como función de la posición.

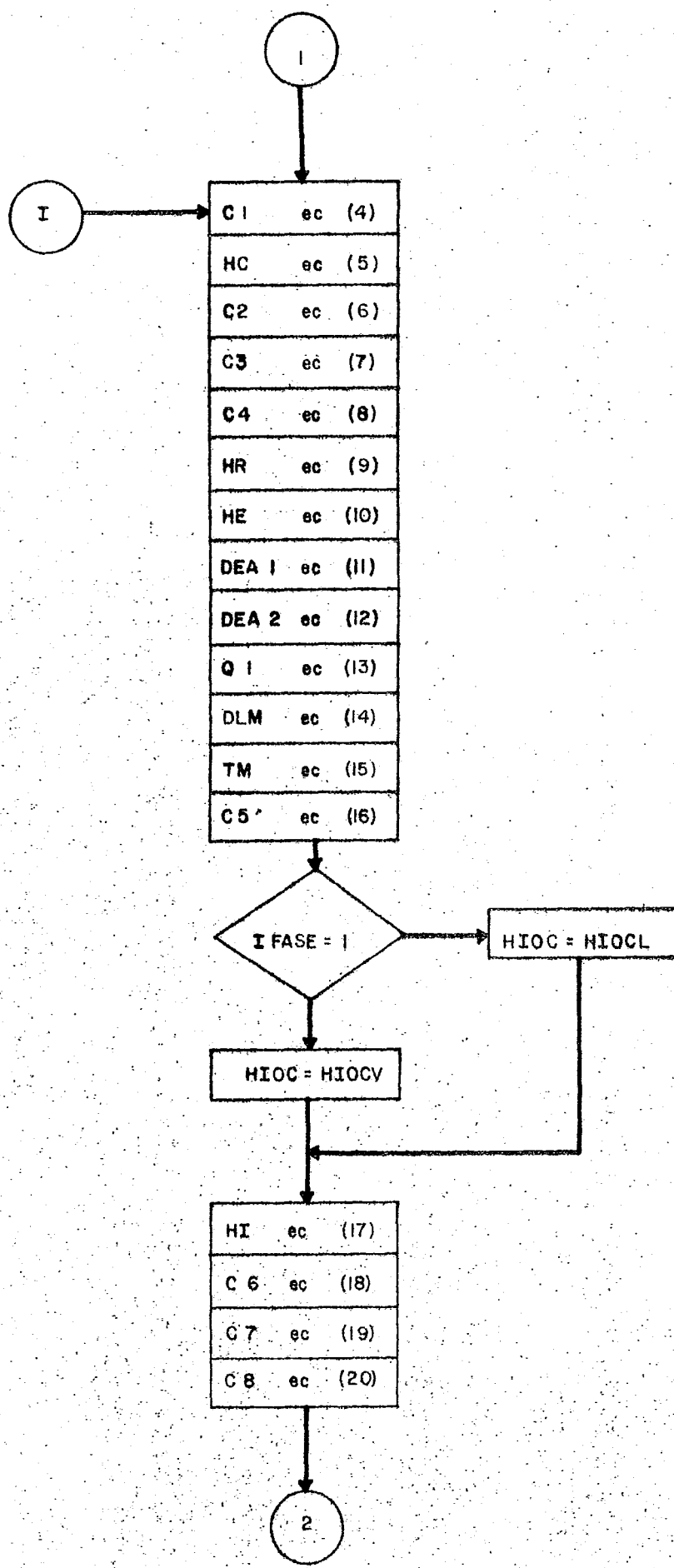
B es el factor que considera la velocidad del viento VEV y toma los siguientes valores:

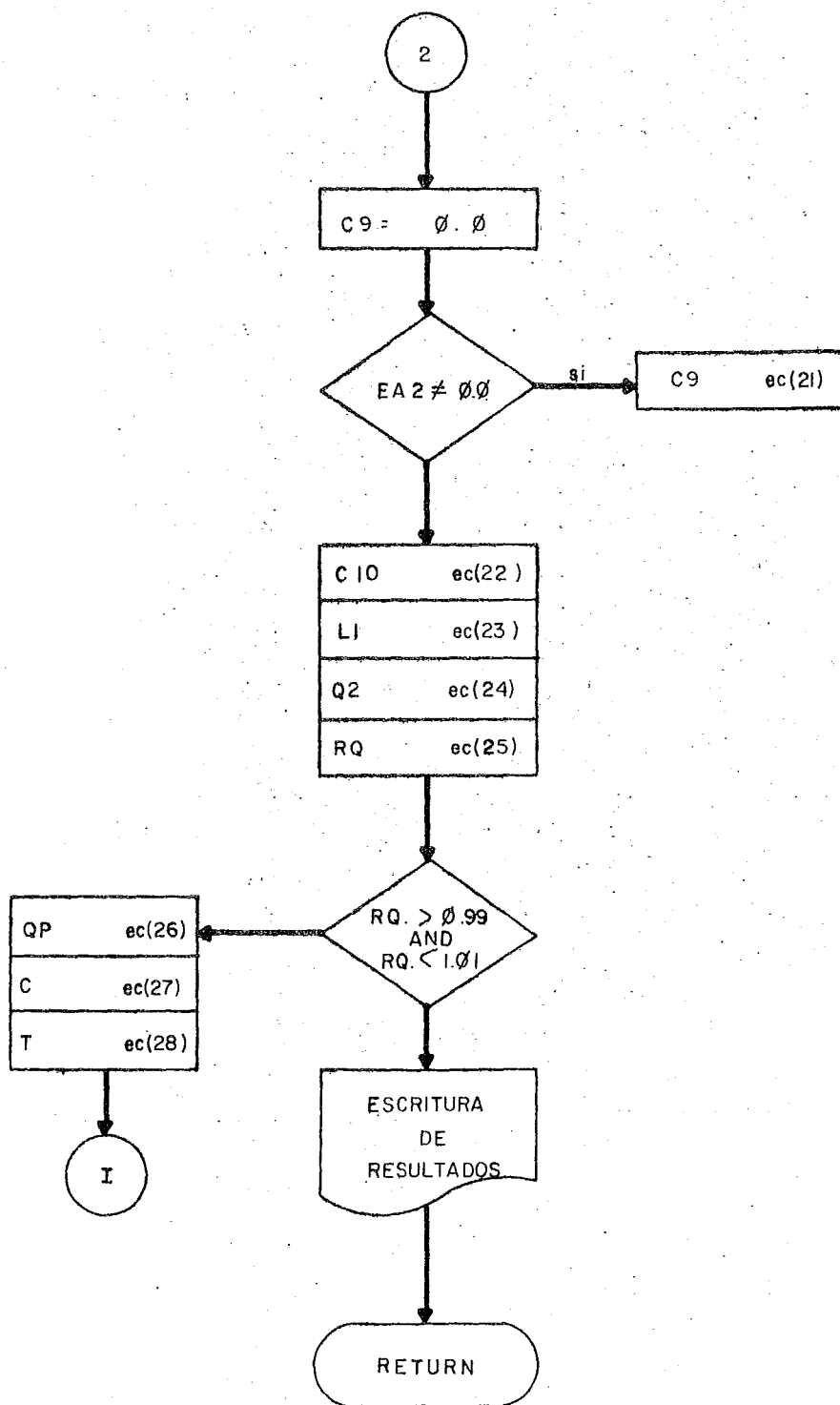
Convección natural B = 1 si VEV < 1 ft/seg

$$B = (60 * VEV + 68.9) ** 0.5 / 68.9 \text{ si } VEV \geq 1 \text{ ft/SEG}$$

La subrutina tiene la posibilidad de calcular el coeficiente externo considerando dos aislantes distintos.







ECUACIONES SUBRUTINA HAISLA

PGALFA= 1.56*DO**(-0.198) (1)
 PGALFA= 1.239*DO**(-0.2) (2)
 B= (SQRT(60.*VEV+68.9))/68.9 (3)
 C1= PGALFA*(T-TE)**(0.266*B) (4)
 HC= C1*((T+TE)/2.)**(-0.181) (5)
 C2= (T/100.)**4 (6)
 C3= (TE/100.)**4 (7)
 C4= 0.173*E/(T-TE) (8)
 HR= C4*(C2-C3) (9)
 HE= HC+HR (10)
 DEA1= DO+(2.*EA1) (11)
 DEA2= DO+(2.* (EA1+EA2)) (12)
 Q1= 3.1416*HE*DEA2*(T-TE) (13)
 DLM= ED ALOG(DO/DI) (14)
 TM= (T1+T2)/2. (15)
 C5= 3.1416*(TM-TE) (16)
 HI= HIOC*(DO/DI) (17)
 C6= (1./DI*HI)+RDI (18)
 C7= (ED/(CTD*DLM)) (19)
 C8= (1/(2.*CTA1))*ALOG(DEA1/DO) (20)
 C9= (1/(2.*CTA2))*ALOG(DEA2/DEA1) (21)
 C10= (1./(HE*DEA2)) (22)
 U= (C6+C7+C8+C9+C10) (23)
 Q2= (C5/U) (24)
 RQ= (Q2/Q1) (25)
 QP= (Q1+Q2)/2. (26)
 C= 3.1416*HE*DEA2 (27)
 T= (QP/C)+TE (28)

*REFLEJOS-HAISLA
*10/11/80-09 50

1. SL.ROUTIN: HAISLA
 2. C*****
 3. C
 4. C CRUJITIVO CALCULO DEL COEFICIENTE EXTERNO DE TRANSFERENCIA DE C
 5. C CALOR EN DUCTOS RECUBIERTOS CON AISLANTE. EL COEFICIENTE C
 6. C EXTERNO (HE) SE DEFINE COMO LA SUMA DEL COEFICIENTE C
 7. C DE TRANSFERENCIA DE CALOR POR CONVECCION CON EL C
 8. C AIRE (HC) Y POR EL COEFICIENTE DE RADIACION (HR) ES C
 9. C DECIP. HE=HC+HR C
 10. C (R. VIVAS R. CARDONA REVISTA IMP JULIO 1979) C
 11. C
 12. C OBSERVACIONES: IFASE=1 LIQUIDO IPOS=1 VERTICAL C
 13. C ED VAPOR =2 HORIZONTAL C
 14. C VEV REPRESENTA LA VELOCIDAD DEL VIENTO C
 15. C
 16. C*****
 17. C
 18. C SECCION DE COMUNES C
 19. C
 20. C COMMON/PROPEL/ CT0,CTA1,CTA2,ED,EA1,EA2,E,RDI C
 21. C R
 22. C COMMON/GLOM/LI,AFT,TETA,OO C
 23. C R
 24. C COMMON/PROC/WL,HV,X,ENT,VEV C
 25. C R
 26. C COMMON/TEMP/E/T1,TT2,TE,TH,TG,TV,T1,T2 C
 27. C R
 28. C COMMON/IODIX/ IE,IFASE,IPOS C
 29. C R
 30. C COMMON/CALC/ ALFA,HC0N,DPFR,IPAC,DPTR,OPTOT,HI0CL,HI0CV,HC,HR,HE C
 31. C R G G G
 32. C
 33. C PGALFA ES EL PARAMETRO GEOMETRICO QUE INTERVIENE EN EL C
 34. C CALCULO DEL COEFICIENTE DE CONVECCION NATURAL CON EL AIRE C
 35. C PGALFA=1.56*1.0**(-0.198) C
 36. C IF(IPOS,LQ,1) PGALFA=1.239*00**(-0.2) C
 37. C P=1, C
 38. C IF(VEV,LT, 1.18=ISQRT((E,V*VEV*68.9))/68.9 C
 39. C T=TE+3, C
 40. C C1=P,ALFA*(T-TE)**(0.256**0.5) C
 41. C HC=C1*((T+TE)/2.)***(-0.181) C
 42. C C2=(T/100.)***4 C
 43. C C3=(TE/100.)***4 C
 44. C C4=0.173*E/(T-TE) C
 45. C K=C4*(C2-C3) C
 46. C HE=HC+HR C
 47. C EA1=D0+(2.*EA1) C
 48. C EA2=D0+(2.*EA1+EA2)) C
 49. C C1=7.1416*HE*DEA2*(T-TE) C
 50. C ELME=D0 ALOG((E0/R1)) C
 51. C TM=(T1+T2)/2. C
 52. C C5=3.1416*(TM-TE) C
 53. C IF(IFASE,FN, 1)=0 TO 10 C
 54. C HT0C=HI0CV C
 55. C C0 TO 11 C
 56. C 10 HI0C=HI0CL C
 57. C 11 HI0C=(DC/LD) C
 58. C C6=(1./P1*HI)+RCI C

```

19. C7=(ED/(CTD*CLF))
20. C8=(1./(2.*CTA1))*ALOG(DEA1/BO)
21. C9=0.0
22. IF(REA2,TE,0.0) C9=(1./(2.*CTA2))*ALOG(DEA2/DEA1)
23. C10=(1./*(HE*DEA2))
24. U=(C6+C7+C8+C9+C10)
25. C2=(C5/U)
26. RQ=(U2/C1)
27. IF(PR.GT.0.99 .AND. RQ.LT.1.01) GO TO 99
28. UP=((I+C2)/2.)
29. C=3.1416*HE*LEA2
30. T=(UP/C)+TE
31. GO TO 93
32. 99 IF(TE,EC,1) WRITE(6,100) HE
33. 100 FORMAT(3X,'EN HAISLA (HE=',1PE14.6)
34. IF(IE+LE+2)WHITE(6,101)HC,HP,U,01,02
35. 101 FORMAT(5A,'EN HAISLA (HC/HB/U/Q1/Q2=',1P5E14.6)
36. RETURN
37. DEBUG UNIT(8),SUECHK,INIT,SUETRACE
38. END

```

N 357 IFANK 240 FRANK 36 COMMON

Subrutina HSUELO (HSUE)

Objetivo: Cálculo del coeficiente de transferencia de calor por conducción en un ducto totalmente enterrado - en posición horizontal dentro de un sólido infinito como la tierra del subsuelo y cálculo del flujo de calor por unidad de longitud normal al eje del ducto. (BTU/HR*ft).

M. Rohsenow Handbook of heat transfer P. 3-121

El coeficiente de transferencia de calor por conducción normal al eje del ducto es igual a la conductividad térmica del suelo por unidad de longitud, es decir, - - - (BTU/HR*ft*F)/ft lo cual expresa unidades de coeficiente.

Por lo tanto HSUE=CTSUE

El flujo de calor por conducción QC, se calcula como una función de la relación de profundidad RPROF, entre la profundidad a la cual se encuentra enterrado el ducto (PROF) y el diámetro externo del mismo (DO), es decir $RPROF = (PROF/DO)$, así el cálculo es dirigido a las expresiones correspondientes en tanto que:

$PROF \leq 2.*DO$

Caso I

$\text{PROF} \leq 5.*\text{DO}$

Caso II

$\text{PROF} < 5.*\text{DO}$

Caso III

Caso I

$$X = (2.*\text{PROF})$$

$$A = (3.1416) * (\text{EXP}(X) - \text{EXP}(-X))$$

$$D = A$$

Caso II

$$BP = (2.*\text{RPROF}) + \text{SQRT}((2.*\text{RPROF})^2 - 1.)$$

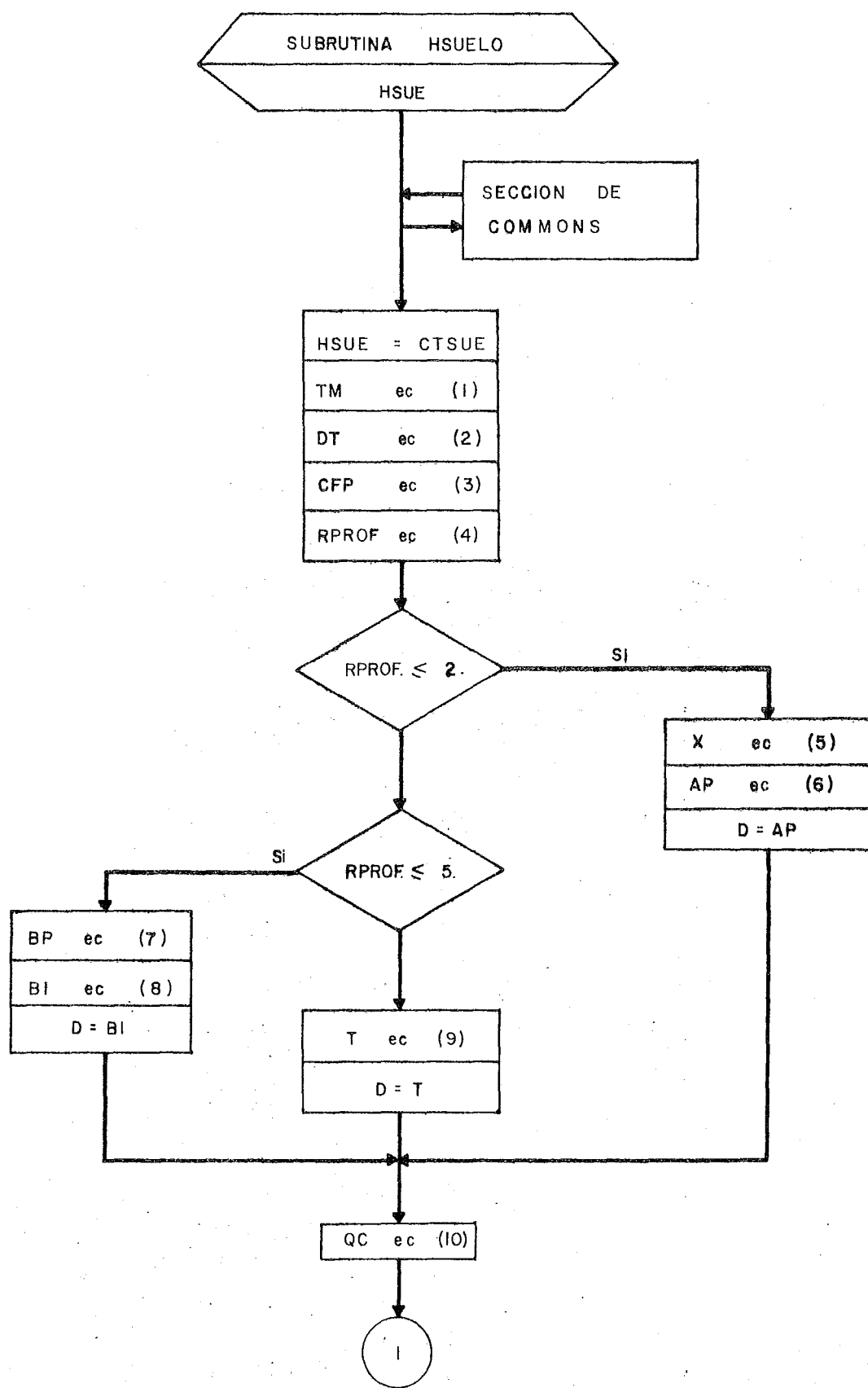
$$B1 = (2.*3.1416) / \text{ALOG}(BP)$$

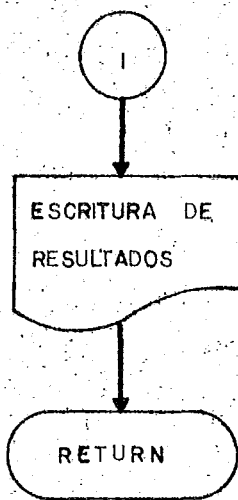
Caso III

$$T = (2.*3.1416) / \text{ALOG}(4.*\text{RPROF})$$

El flujo de calor QC por unidad de longitud normal al eje del ducto se calcula mediante la siguiente expresión:

$$QC = D * CTSUE * DT$$





ECUACIONES SUBRUTINA HSUELO

TM= (T1+T2)/2. (1)
DT= (TM-TSUE) (2)
CFP= (2.*PROF)/DO (3)
RPROF= (PROF/DO) (4)
X= (2.*PROF) (5)
AP= (3.1416)*(EXP(X)-EXP(-X)) (6)
BP= (2.RPROF)+SQRT((2.*RPROF)-1.) (7)
B1= (2.*3.1416)/ ALOG(BP) (8)
T= (2.*3.1416)/ ALOG(4.*RPROF) (9)

SURFACE THERMOGRAPHY

上卷

EFECTIVO-CALCULO DEL COEFICIENTE DE TRANSFERENCIA DE CALOR POR CONDUCCION EN UN DUCTO TOTALMENTE ENTERRADO EN POSICION HORIZONTAL EN UN SUELO INFINITO COMO LA TIERRA DEL SUBSUELLO. QUE ES EL FLUJO DE CALOR POR UNIDAD DE LONGITUD NORMAL AL EJE DEL DUCTO. (BTU/HR*FT) (W. HORSEPOWER/HANDECK OF HEAT TRANSFER P. 3-121)

DESFAVORABLES LA VARIABLE PROF DE REPRESENTA LA PROFUNDIDAD A LA CUAL SE ENCUENTRA INTERRADO EL DUCTO, MEDIDA DESDE LA SUPERFICIE DE LA TIERRA HASTA EL DIAMETRO DEL TUBO FAFALLO A LA SUPERFICIE DE LA MISMA.

EFFECTS OF COMMON S

COMMUN/E/COPTU/ CTR,CTA1,CTA1,ED,EA1,CA2,E,ROI,RDO,PROF

COMMON/COMMON/LT-AFT TETRAGLIO

COMMUNIQUE

COMMUNICATI PIRELLI, ITALIA, TELEFONICO, ITALIA, IS-102, ISSUE

COMM-F-REF 100-5 X-ENT VEN VARI-NAR2-CTSUE

EL COEFICIENTE DE TRANSFERENCIA DE CALOR POR CONDUCCION
EN EL EJERCICIO DE LOS TECTOS IGUAL A LA CONDUCTIVIDAD
TERMICA DEL SUELO POR UNIDAD DE LONGITUD NORMAL, ES DECIR
(L/ETU/ER*F*T*T)/F-T

第十三章 (187-190)

EFPE (2) SHEET OF 1/00

PPG11-E(Fn)CF700

EF (FFFOF•LC•C,)GC TC'11

IF (P>CF•LF•E•) GO TO 20

$\text{TE} = (2. * 3.1415) / \text{ALC} \times (4. * \text{HPC} * \text{TF})$

11. *U.S. Fish and Wildlife Service*, *U.S. Fish and Wildlife Service Circular*, Vol. 1, No. 1, April 1913.

35(3) 85-55

1983(1-2期)卷第18期1-2期

176 P. 11

49 TC 5.

$\text{SPLIT}(L, \star L, S, O) \rightarrow \text{SPLIT}(L, \star$

$\cdot 1 = (1.0 \times 5.141e) / 4.166666666666667$

卷之三十一

卷之三十一

SCOTTISH HISTORICAL LIBRARIES

Fig. 16. (f)

19. *Phragmites australis* (Cav.) Trin. ex Stev.

THE U.S. T(8), STURGEON, I

Subrutina WARD (HCWAR).

Objetivo: Cálculo del coeficiente de transferencia de calor en la condensación de vapores multicomponentes sin la presencia de gases incondensables.

Dennis J. Ward Petro/Chem Engineer Oct. 1960

El método de Ward que a continuación se describe, supone dos consideraciones muy importantes.

1).- La mezcla de vapores debe de tener un rango de condensación (o una variación del peso molecular de la mezcla a lo largo del equipo), suficientemente pequeño para que no se presenten problemas de difusión en la vecindad del condensado y tampoco se presenten las condiciones para la transformación de niebla.

2).- Debe existir suficiente interacción entre el líquido y el vapor para mantener el equilibrio físico entre las dos fases.

La expresión propuesta por Ward es la siguiente:

$$HEFF = HV * \left(1 + \frac{CAVAP * DVDT}{WVAP * CVP} \right)$$

en donde:

HV: Coeficiente de transferencia de calor de la fase vapor -
(Sieder y Tate).

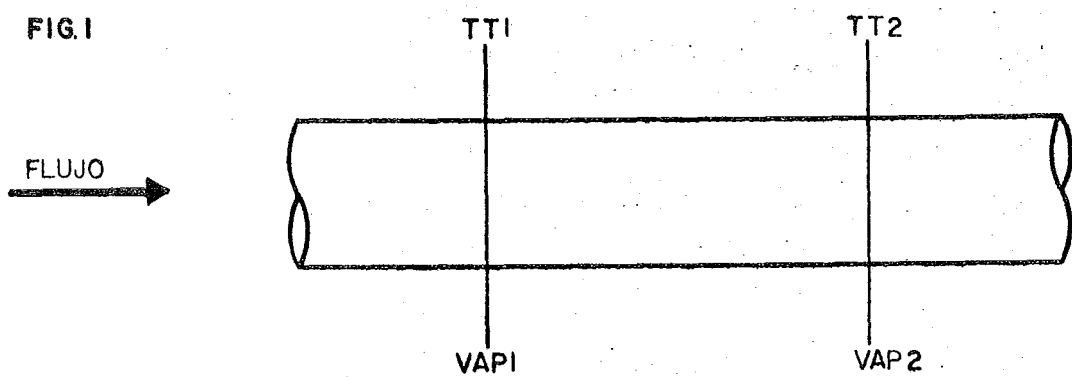
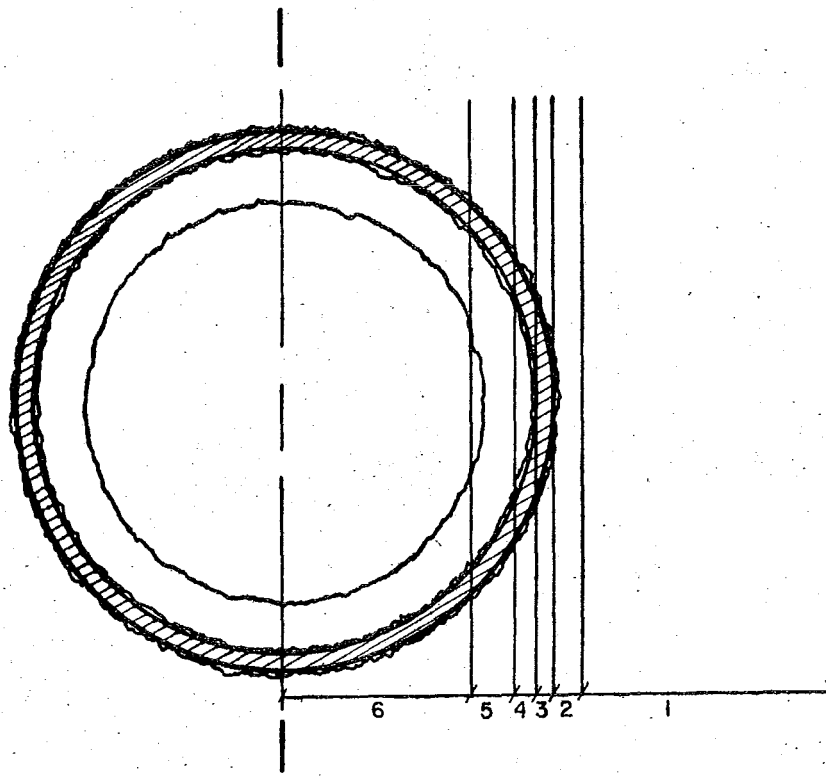
CAVAP: Calor latente de vaporización.

DVDT: Relación entre el cambio de vaporización y la diferencia de temperatura en el intervalo $(VAP_1 - VAP_2) / (TT_1 - TT_2)$.

WVAP: Media aritmética de la vaporización en el intervalo -
 $(VAP_1 + VAP_2) / 2$.

CPV: Capacidad calorífica a presión constante del vapor.

Y se debe interpretar como la expresión que define el coeficiente efectivo entre el seno del vapor y la superficie de la película del condensado.

FIG.1**FIG.2**

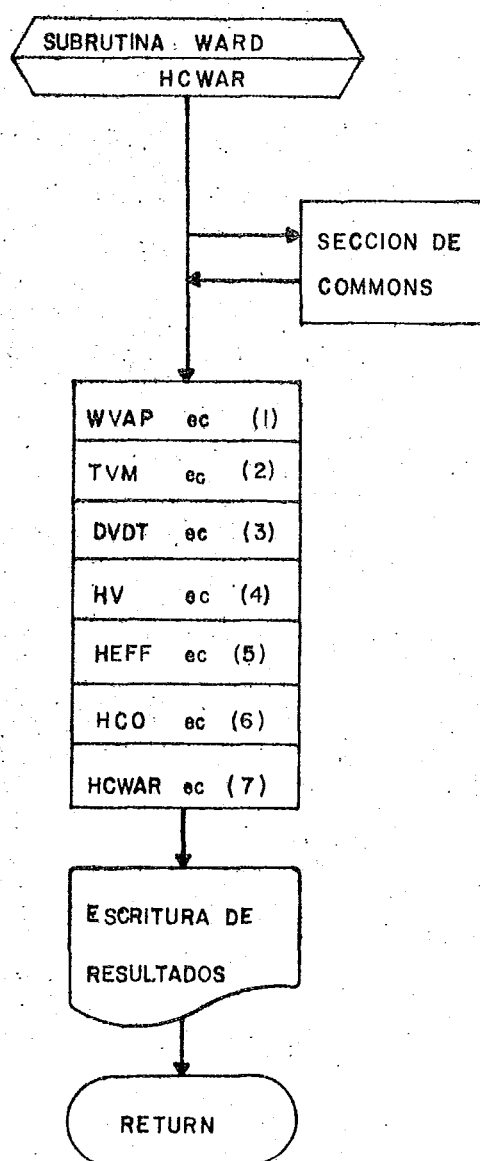
- 1 HO: Coeficiente externo.
- 2 RDO: Ensuciamiento externo.
- 3 RW: Resistencia de la pared y aislantes.
- 4 RDI: Ensuciamiento interno.
- 5 HCON: Coeficiente de transferencia de calor por condensación modelo anular.
- 6 HEFF: Coeficiente de transferencia de calor efectivo puesto por Ward.

El coeficiente efectivo considera el enfriamiento sensible del vapor que no condensa en ese intervalo, el cambio de estado, a través del calor latente y los efectos de transferencia de una masa que puedan existir.

Este coeficiente se integrará a la expresión tradicional de coeficiente global de transferencia de calor en ese intervalo.

$$UI = \frac{1}{\frac{1}{HEFF} + \frac{1}{HCON} + RDO + RW + RDI + \frac{1}{HIO}}$$

La deducción de la expresión del coeficiente efectivo se consigna en el apéndice.



*C ERT S+WARD

7/23/67 12:36

SUBROUTINE WARD(HCWAR)

 C ORJETIVO CÁLCULO DEL COEFICIENTE DE TRANSFERENCIA DE CALOR
 C EN LA CONDENSACIÓN DE VAPORES MULTICOMPONENTES
 C SIN LA PRESENCIA DE GASES INCONDENSABLES.
 C (DENNIS J. WARD PETRO/CHEM ENGINEER OCT. 1960)

OBSERVACIONES

TT1 TEMPERATURA DEL VAPOR A LA ENTRADA DEL INTERVALO
 TT2 TEMPERATURA DEL VAPOR A LA SALIDA DEL INTERVALO
 VAP1 CANTIDAD DE VAPOR A LA ENTRADA DEL INTERVALO (LB/HR)
 VAP2 CANTIDAD DE VAPOR A LA SALIDA DEL INTERVALO (LB/HR)
 EL CÁLCULO SE LLEVA A CABO POR INTERVALOS A LO LARGO DEL EQUIPO
 EL VALOR DE VP2 DEBERÁ SER SUPUESTO Y POSTERIORMENTE COMPROBADO
 POR MEDIO DE BALANCES DE CALOR Y DE TRANSFERENCIA.
 HCWAR RESULTADO DEL CÁLCULO (COEFICIENTE EFECTIVO)
 UNIDADES BTU/HR-FT2-F6

SECCION COMMONS

COMMON /PROFIN/ DEL1,DEV1,DEL2,VIL,VIV,CTL,CTV,CPL,CPV,

IBETA,CAVAP

COMMON /PROFDU/ CTD,CTA1,CTA2,ED,EA1,EA2,E,RDE,RDD

COMMON /GEOM/ DI,ART,TETA,DO

COMMON /PROC/ WL,WV,X,ENT,VEV,VAP1,VAP2

COMMON /INOT/ IE

COMMON /TEMPE/ TT1,TT2,TE,TW

COMMON /CALC/ ALFA,HCON,DPFR,DPAC,DPGR,OPTOT,H1OCL,H1OCV,HC,HR,HE,
IHOCLE,HCCVE,REL,REV,PSY,DPZFP,HEFF

CALCULO DE LA TEMPERATURA MEDIA DEL VAPOR EN EL INTERVALO

CALCULO DE LA CANTIDAD DE VAPOR QUE CONDENA EN ESE INTERVALO

$$WVAP = (VAP1 + VAP2) / 2$$

$$TVM = (TT1 + TT2) / 2$$

CÁLCULO DE VARIACION DE LA VAPORIZACION

CON RESPECTO A LA TEMPERATURA

$$DVDT = (VAP1 - VAP2) / (TT1 - TT2)$$

$$HV = H1OCV * (DO / DI)$$

CÁLCULO DEL COEFICIENTE EFECTIVO PARA LA FASE GASEOSA

$$HEFF = HV * (1.0 + (CAVAP * DVDT / (WVAP * CPV)))$$

$$HCO = HCON * DI / (DI + 2 * ED)$$

SE REFIRIO EL HCO AL AREA EXTERNA DEL TUBO.

CÁLCULO DEL COEFICIENTE DE TRANSFERENCIA DE CALOR

DE TODO EL FENOMENO DE LA CONDENSACION.

$$HCWA = HCON * HEFF / (HEFF + HCON)$$

IF (TE .EQ. 1) WRITE(6,401) HCWAR

401 FORMAT(3X, 'EN WARD HCWARE', 1PE14.6)

IF (TE .LE. 2) WRITE(6,510) DVDT, HEFF, HCON

167

58U FORMAT(SX,LEN,WARD,DVOT/HEFF/HCON=*,IP3E14.6)
01* RETURN
01* DEBUG UNIT(8),SUBCHK,INIT,SUBTRACE
02* END

END FTN 93 IBANK 86 DBANK 54 COMMON

AFIN

Subrutina GENPF (IFAR, IPROP, ICETC, T)

Objetivo: Evaluación de las propiedades físicas dentro y/o fuera de ductos en base a funciones no lineales de la temperatura.

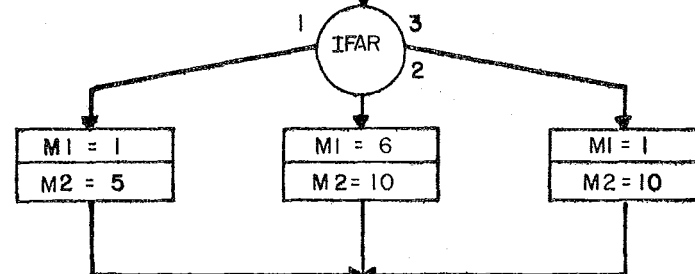
Para el caso de evaluación de propiedades por dentro de ductos la subrutina utiliza un arreglo de coeficientes - API(I,J).

En caso de evaluación de propiedades por fuera de ductos la subrutina utiliza el arreglo de coeficientes APO(I,J).

Ambos arreglos, contienen los coeficientes de cada -- propiedad representada por el sub-índice I, el sub-índice J de cada elemento del arreglo indica el j ésmo coeficiente para formar cada una de dichas funciones, las cuales se evalúan a las temperaturas adecuadas dependiendo del índice de método IMET, esto se hace para efecto de evitar que en algún momento las propiedades físicas involucradas en los cálculos sean iguales y su diferencia y la diferencia entre las temperaturas a las cuales fueron evaluadas resulten cero.

SUBRUTINA GENPF
IFAR, IPROP, ICETC, T

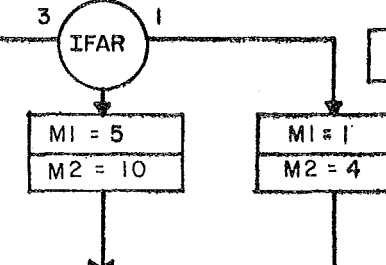
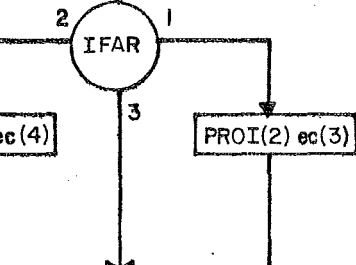
SECCION DE COMMONS
ARREGLO API
ARREGLO APO



IPROP

DOI = MI, M2

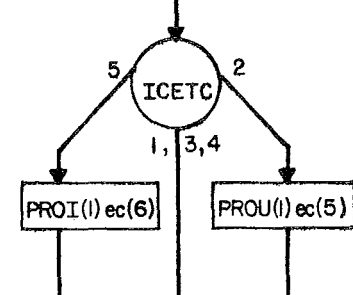
PROI(I) ec (1)



DOI = MI, M2

PROU(I) ec (2)

IFAR.NE. 1



RETURN

ECUACIONES SUBRUTINA GENPF

PROI(I)= API(I,1)+API(I,2)T+API(I,3)T**2+API(I,4)T**3
I=M1,M2 ec (1)

PROV(I)= APO(I,1)+APO(I,2)T+APO(I,3)T**2+APO(I,4)T**3
I= M1,M2 ec (2)

PROI(2)=API(2,1)+API(2,2)T+API(2,3)T**2+API(2,4)T**3 ec (3)

PROI(6)=API(6,1)+API(6,2)T+API(6,3)T**2+API(6,4)T**3 ec (4)

PROV(1)=APO(1,1)+APO(1,2)T+APO(1,3)T**2+APO(1,4)T**3 ec (5)

PROI= API(1,1)+API(1,2)T+API(1,3)T**2+API(1,4)T**3 ec (6)

REQUERIMIENTOS. GENPF

*10/21/80-21-10

1. SUBROUTINE GENPF(IFAR,IPPOP,ICETC,T)

2. **** C **** C
3. C
4. C OBJETIVO EVALUACION DE LAS PROPIEDADES FISICAS DENTRO Y/O FUERA C
5. C DE DUCTOS EN BASE A FUNCIONES NO LINEALES DE LA C
6. C TEMPERATURA. C
7. C
8. C OBSERVACIONES PARA EL CASO DE PRORIEDADES POR DENTRO DE DUCTOS C
9. C LA SUBRUTINA UTILIZA UN ARREGLO DE COEFICIENTES API(I,J) C
10. C EN CASO DE PROPIEDADES POR FUERA DE DUCTOS UTILIZA EL C
11. C ARREGLO APO(I,J), LOS CUALES SE DAN COMO DATO. C
12. C
13. C IFASE=1 LIQUIDO C
14. C =2 VAPOR C
15. C =3 LIQUIDO Y VAPOR C
16. C
17. C IPPOP=1 EVALUA TODAS LAS PROPIEDADES POR DENTRO DEL DUCTO C
18. C IPPOP=2 EVALUACION DE TODAS LAS PROP. POR FUERA DE DUCTO C
19. C IPPOP=3 EVALUACION DE LA VISCOSIDAD DEL LIQUIDO O VAPOR C
20. C POR DENTRO DE DUCTOS. C
21. C IPPOP=4 EVALUACION DE LA DENSIDAD DEL LIQUIDO POR DENTRO C
22. C O POR FUERA DE DUCTOS. C
23. C
24. C ICETC=1 EVALUACION DEL COEFICIENTE EXTERNO DE TRANSFERENCIA C
25. C DE CALOR CON AIRE A PRESION ATMOSFERICA Y TEMPERATURA C
26. C AMBIENTE. C
27. C ICETC=2 EVALUACION DEL COEFICIENTE EXTERNO DE TRANSFERENCIA C
28. C DE CALOR CON LIQUIDOS. C
29. C ICETC=3 EVALUACION DEL COEFICIENTE EXTERNO DE TRANSFERENCIA C
30. C DE CALOR EN DUCTOS AISLADOS. C
31. C ICETC=4 EVALUACION DEL COEFICIENTE EXTERNO DE TRANSFERENCIA C
32. C DE CALOR EN DUCTOS ENTERRADOS. C
33. C ICETC=5 EVALUACION DEL COEFICIENTE EXTERNO DE TRANSFERENCIA C
34. C DE CALOR EN CAMBIADORES DE DOBLE TUBO. C
35. C
36. C **** C

37. C
38. C DIMENSION PROI(10),PROU(10)
39. C
40. C SECCION COMMONS

41. C
42. C COMMON/PFOPIN/ DEL1,DCV1,DELP,VIL,VIV,CTL,CTV,CPL,CPV,
43. C G G G G G G G G G
44. C 1BETA,CAVAP,V1LW,V1VW,TENSUP,
45. C G G G G
46. C COMMON/PFOPOU/ DELE1,DEVE1,ECLE2,VILE,VIVE,CTLE,CTVE,CPL,ECPV,
47. C G G G G G G G G G
48. C 1BETA
49. C G
50. C COMMON/PFOC/ WL,WV,X,ENT,VEV,VAP1,VAP2
51. C G G
52. C COMMON/AFROP/ API(11,4),APO(10,4)
53. C R R

54. C
55. C DO 5 I=1,10
56. C 5 READ(E,638)(API(I,J),J=1,4),(APO(I,J),J=1,4)
57. C 6P3 FORMAT(10.4)
58. C GO TO(1,25,31),IFAR

```

59.    10 M1=1
60.    M2=5
61.    GO TO 40
62.    20 M1=6
63.    M2=10
64.    GO TO 40
65.    30 M1=1
66.    M2=10
67.    40 GO TO(11,21,31,41),IPROP
68.    11 DO 1 I=M1,M2
69.    C EVALUACION DE TODAS LAS PROPIEDADES POR DENTRO DE DUCTOS
70.    1 PROI(I)=API(I,1)+API(I,2)*T+API(I,3)*(T**2)+API(I,4)*(T**3)
71.    IF(I.EQ.1)DELI=PROI(I)
72.    IF(I.EQ.2)VIL=PROI(I)
73.    IF(I.EQ.3)CTL=PROI(I)
74.    IF(I.EQ.4)CPL=PROI(I)
75.    IF(I.EQ.5)TENSUP=PROI(I)
76.    IF(I.EQ.6)DEV1=PROI(I)
77.    IF(I.EQ.7)VIV=PROI(I)
78.    IF(I.EQ.8)CTV=PROI(I)
79.    IF(I.EQ.9)CPV=PROI(I)
80.    IF(I.EQ.10)CAVAP=PROI(I)
81.    GO TO 51
82.    21 GO TO(111,222,333),IFAR
83.    111 M1=1
84.    M2=4
85.    GO TO 333
86.    222 M1=5
87.    M2=1
88.    GO TO 333
89.    333 DO 2 I=M1,M2
90.    C EVALUACION DE TODAS LAS PROPIEDADES POR FUERA DEL DUCTO
91.    2 PROU(I)=APO(I,1)+APO(I,2)*T+APO(I,3)*(T**2)+APO(I,4)*(T**3)
92.    IF(I.EQ.1)DELE1=PROU(I)
93.    IF(I.EQ.2)VILE=PROU(I)
94.    IF(I.EQ.3)CTLE=PROU(I)
95.    IF(I.EQ.4)CPL=PROU(I)
96.    IF(I.EQ.5)DEVE1=PROU(I)
97.    IF(I.EQ.6)VIVE=PROU(I)
98.    IF(I.EQ.7)CTVE=PROU(I)
99.    IF(I.EQ.8)CPVE=PROU(I)
100.   IF(I.EQ.9)VAP1=PROU(I)
101.   IF(I.EQ.10)VAP2=PROU(I)
102.   GO TO 51
103.   31 GO TO(555,444,51),IFAR
104.   C EVALUACION DE LA VISCOSIDAD DEL VAPOR POR DENTRO DEL DUCTO
105.   444 PROI(I)=API(2,1)+API(2,2)*T+API(2,3)*(T**2)+API(2,4)*(T**3)
106.   VIVW=PROI(I)
107.   GO TO 51
108.   C EVALUACION DE LA VISCOSIDAD DEL LIQUIDO POR DENTRO DEL DUCTO
109.   555 PROI(I)=API(7,1)+API(7,2)*T+API(7,3)*(T**2)+API(7,4)*(T**3)
110.   VILW=PROI(I)
111.   GO TO 51
112.   41 IF(IFAR.NE.1) GO TO 51
113.   GO TO(51,666,51,,51,777),ICETC
114.   C EVALUACION DE LA DENSIDAD DEL LIQUIDO POR FUERA DEL DUCTO.(DELE2)
115.   666 PROU(I)=APO(1,1)+APO(1,2)*T+APO(1,3)*(T**2)+APO(1,4)*(T**3)
116.   DELE2=PROU(I)
117.   GO TO 51
118.   C EVALUACION DE LA DENSIDAD DEL LIQUIDO POR DENTRO DEL DUCTO.(DEL2)

```

```
119.    777 PROI(I)=API(1,1)+API(1,2)*T+API(1,3)*(T**2)+API(1,4)*(T**3)
120.    DEL2=PROI(I)
121.    51 RETURN
122.    DEBUG UNIT(8),SUBCHK,INIT,SUBTRACE
123.    END
```

978 IFANK 276 DBANK 111 COMMON

PROGRAMA PRINCIPAL

O P E R A T O R I A

Se presenta un algoritmo de carácter general para la integración de las subrutinas en el diagrama de flujo considerado a continuación.

En este algoritmo, los coeficientes de transferencia de calor sin cambio de fase, por dentro del ducto son calculados y en caso de ser necesario, corregidos por efectos de convección natural.

Para los coeficientes externos se hace uso de las subrutinas correspondientes, en función del fenómeno externo involucrado. (aire, agua, tierra u otros fluidos).

El algoritmo considera tres métodos para el cálculo del coeficiente global de transferencia de calor para fluidos sin cambio de fase.

METODO I

Método de temperatura media, en el cual se evaluan las propiedades físicas de los fluidos a dicha temperatura y se realizan los cálculos de coeficientes y caída de presión.

METODO II

Método de la U logarítmica, en este método se calculan los coeficientes de transferencia de calor y los coeficientes globales a las condiciones frontera. (Condiciones de entrada y salida). Y se ponderan en forma logarítmica con los acercamientos de temperatura correspondientes.

METODO III

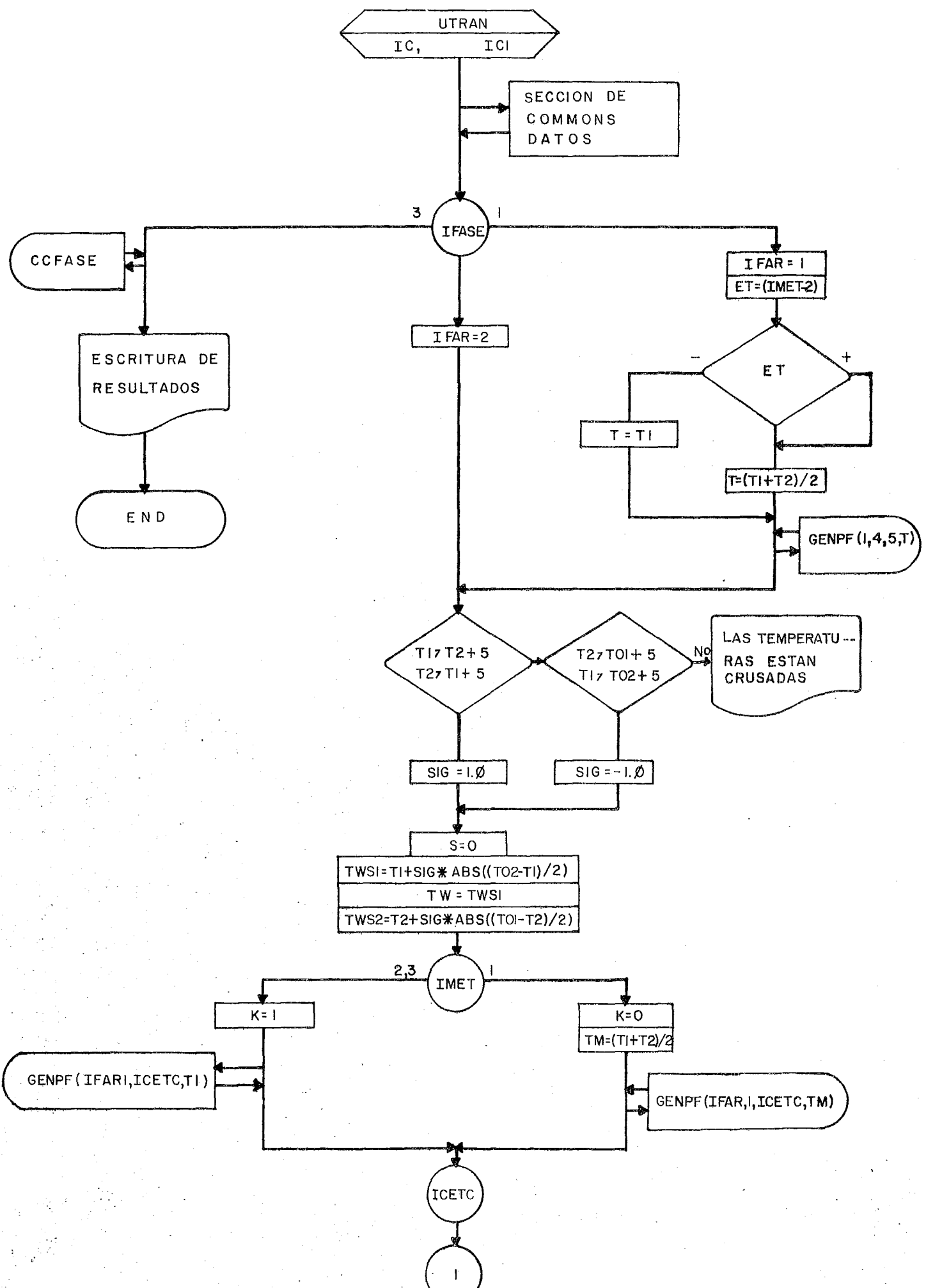
Método de temperatura calórica, este método considera el -- cálculo de una temperatura a la cual se evaluan las propiedades físicas representativas de los fluidos de manera que se tomen en cuenta los coeficientes globales de transferencia de calor, haciendo el cálculo de prueba y error.

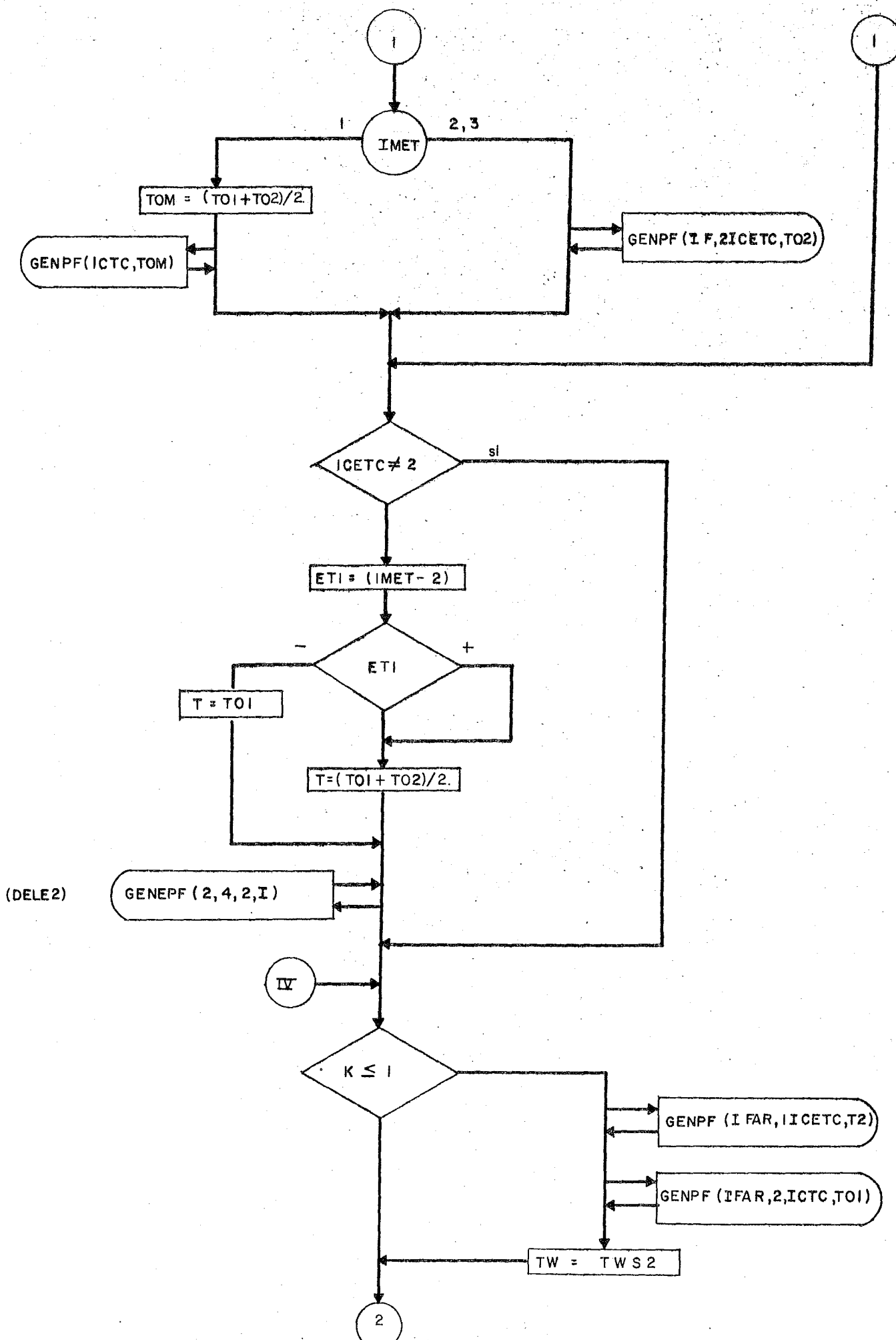
Para el caso del cálculo del coeficiente con cambio de fase se propone un cálculo por intervalos en función de la diferencia total de temperatura, que a su vez permite la determinación de la longitud y el area de transferencia de dicho intervalo. Se determina el patrón de flujo, se evalúa el coeficiente de transferencia de calor por condensación me diante la suposición de una temperatura del condensado y una temperatura supuesta de pared, (se calcula el coeficiente de transferencia externo (H_O)), se evalúa el coeficiente del -- núcleo que forma la fase vapor en los modelos de condensación dentro de ductos, y que es requerido para el cálculo del --

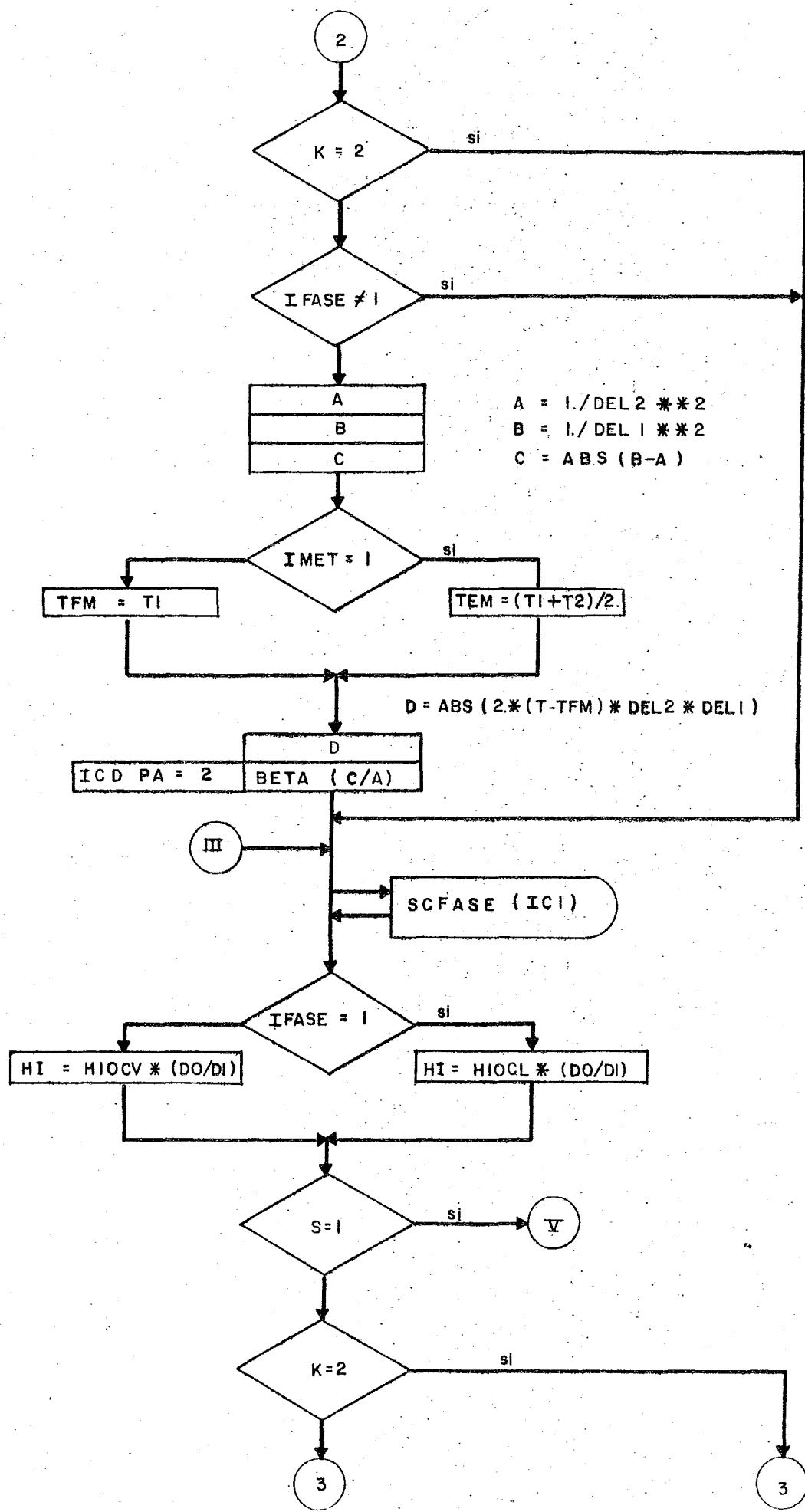
coeficiente efectivo de Ward, dicho coeficiente, permite el balance de calor requerido para determinar la temperatura del condensado y la convergencia con el valor supuesto.

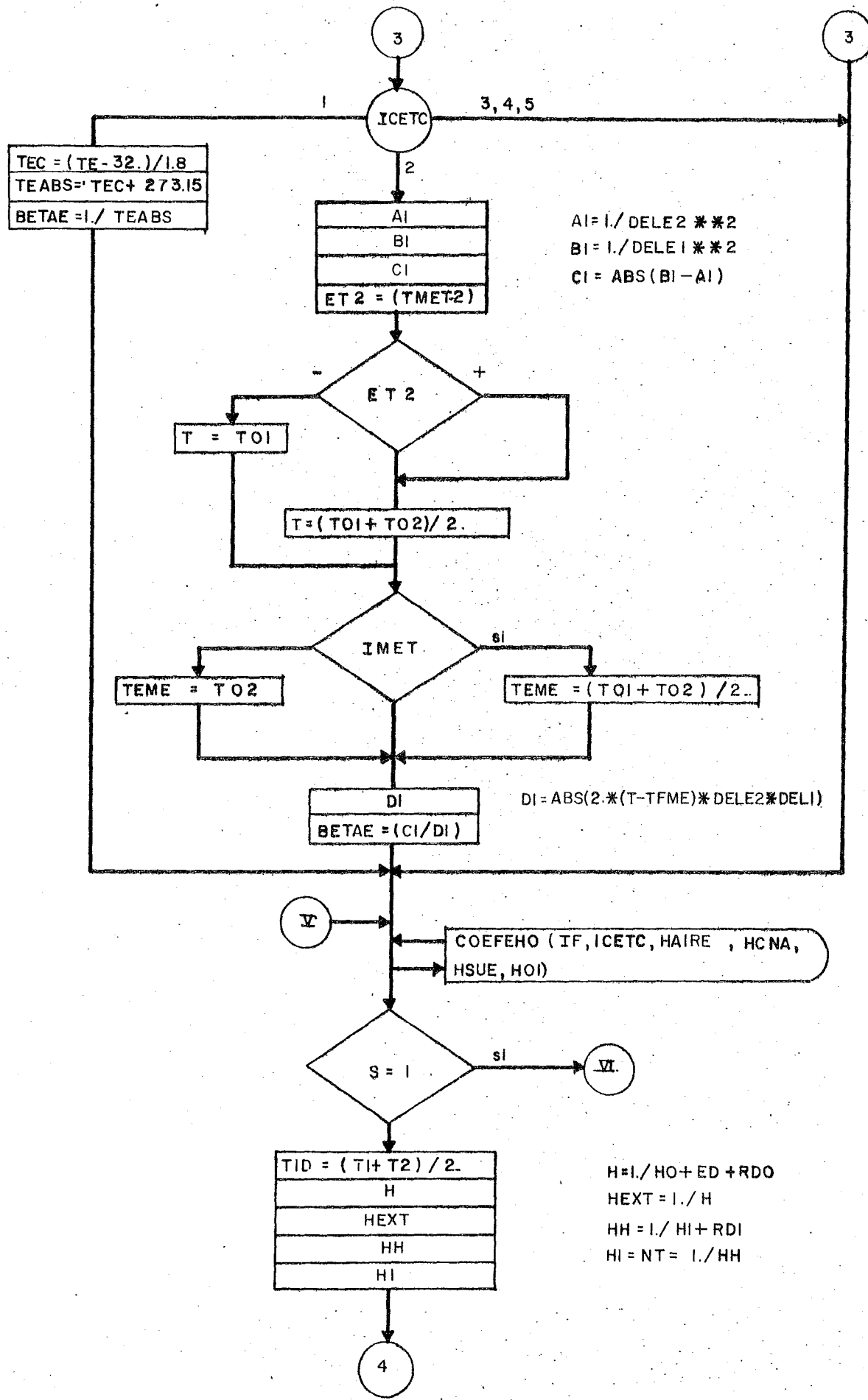
Posteriormente se propone el efectuar el balance de calor para determinar la temperatura de pared correcta.

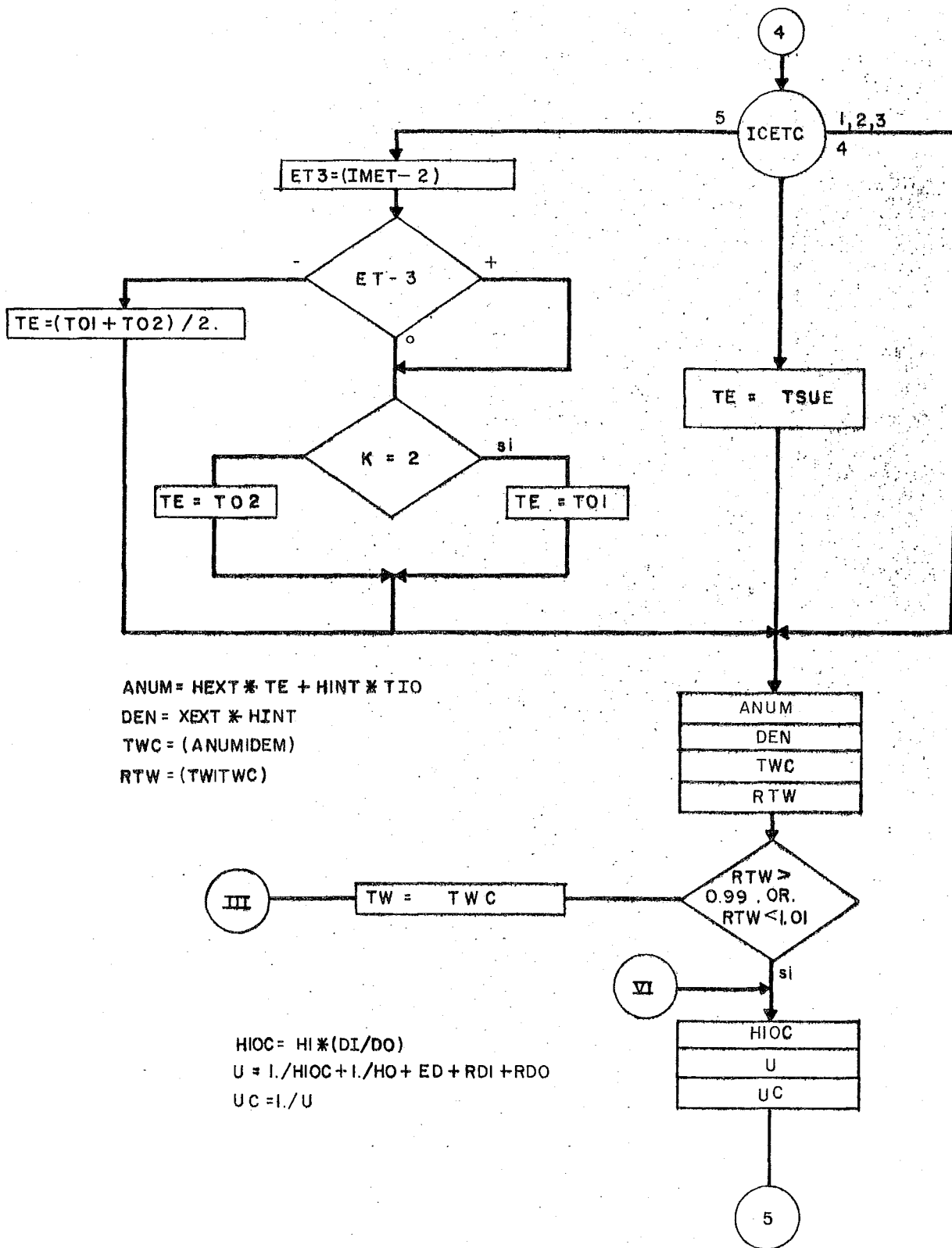
Una vez que se satisfacen las condiciones de convergencia se evalúa el coeficiente global y se procede a determinar las temperaturas del nuevo intervalo, así como su área de transferencia y se continua hasta concluir la longitud total del ducto.

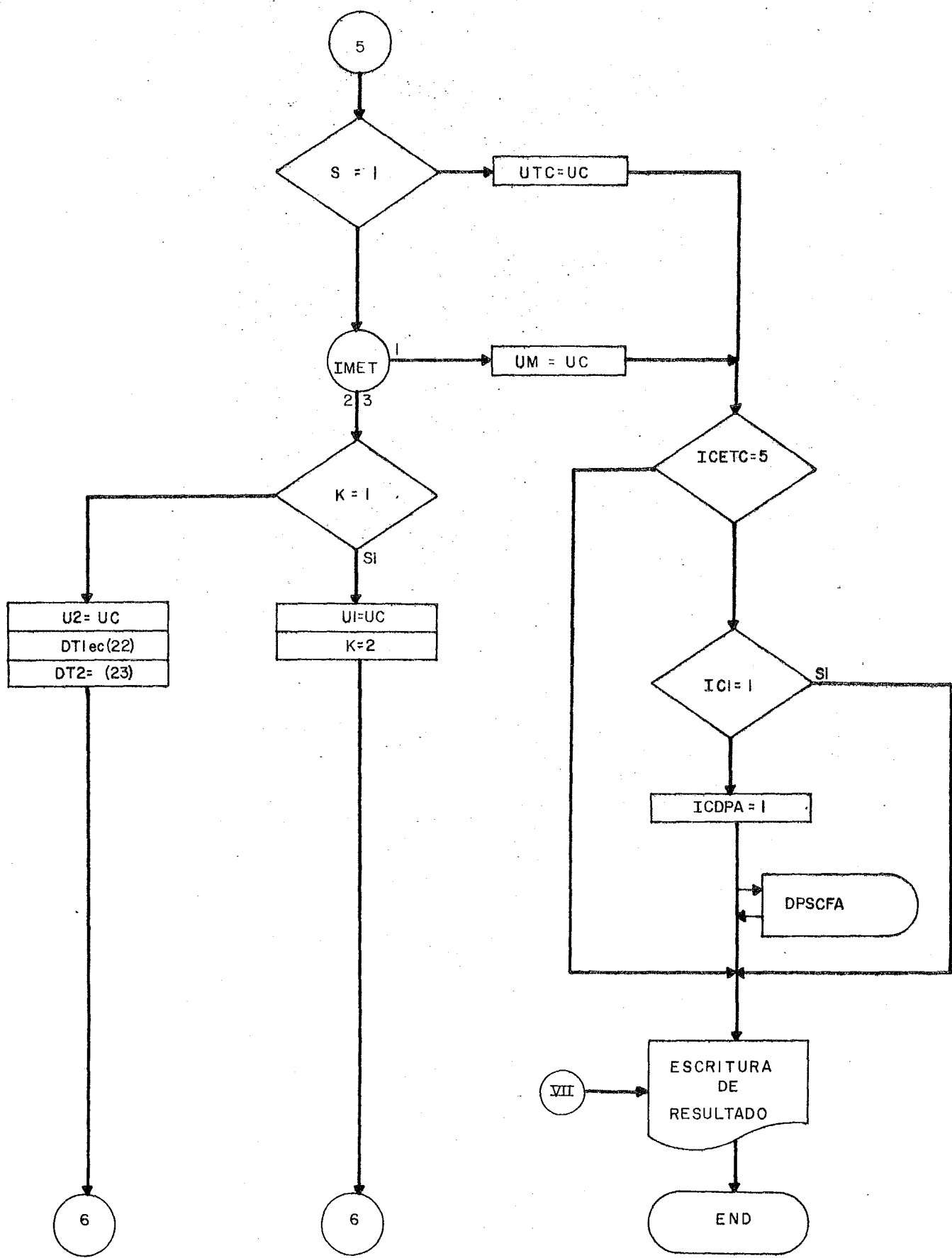


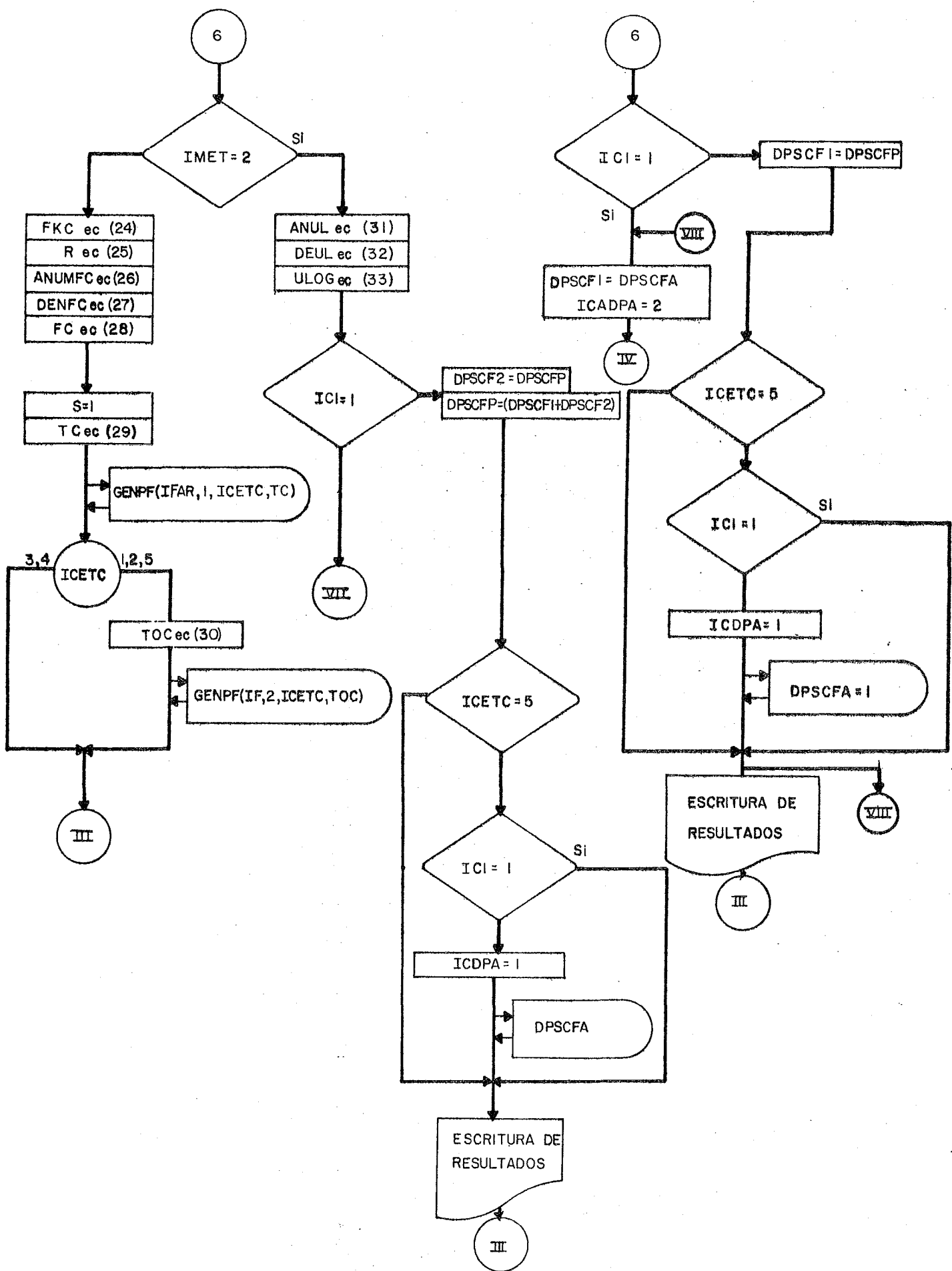


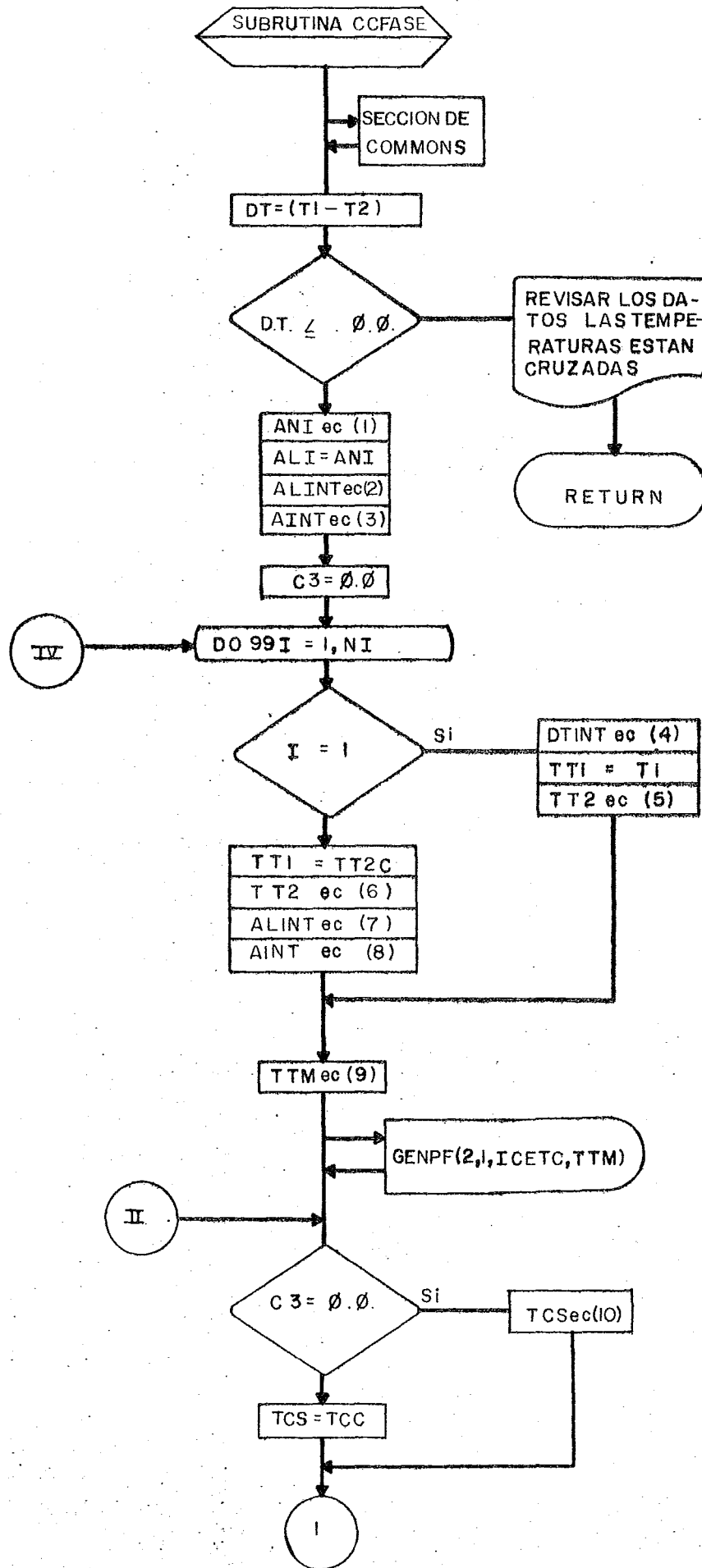


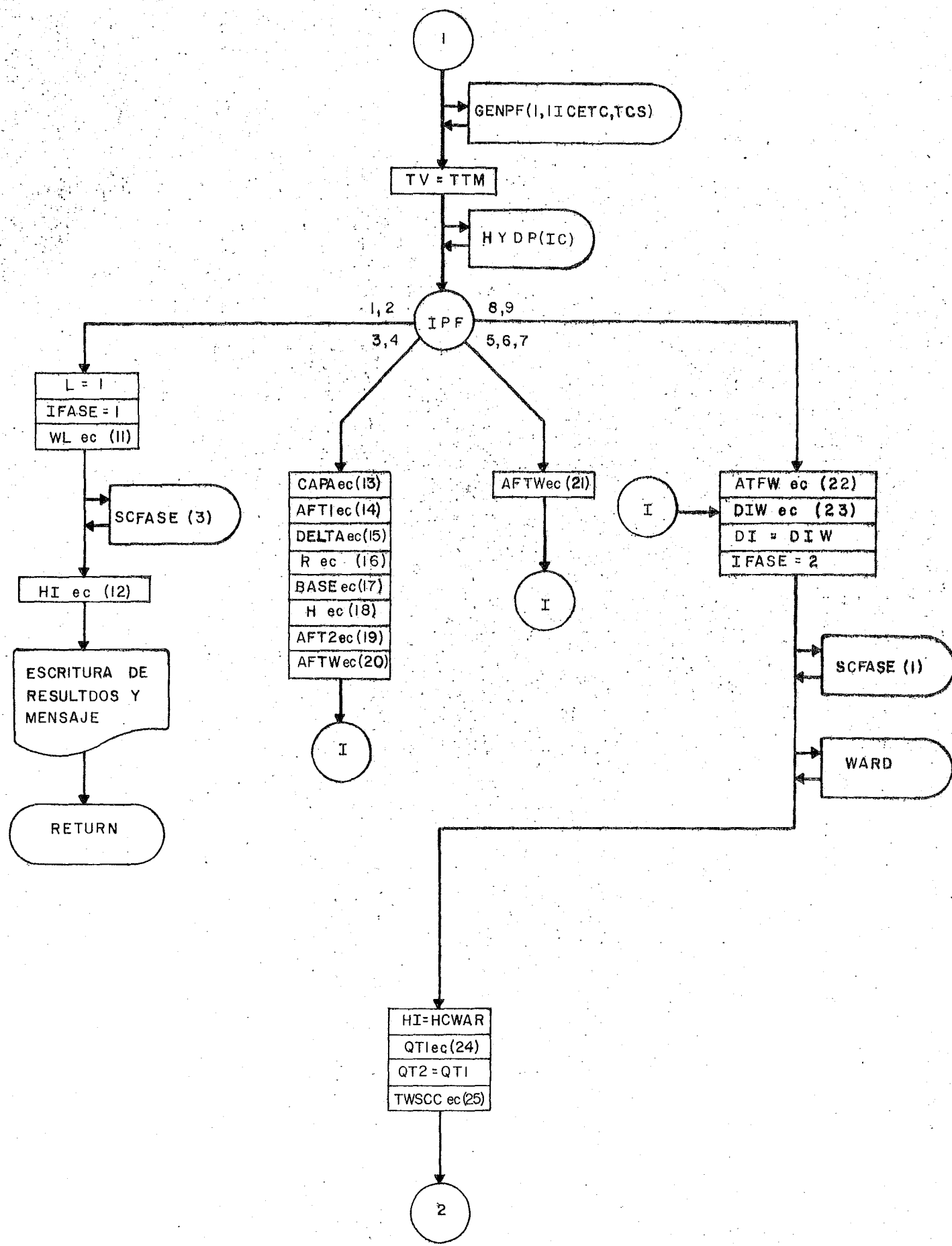


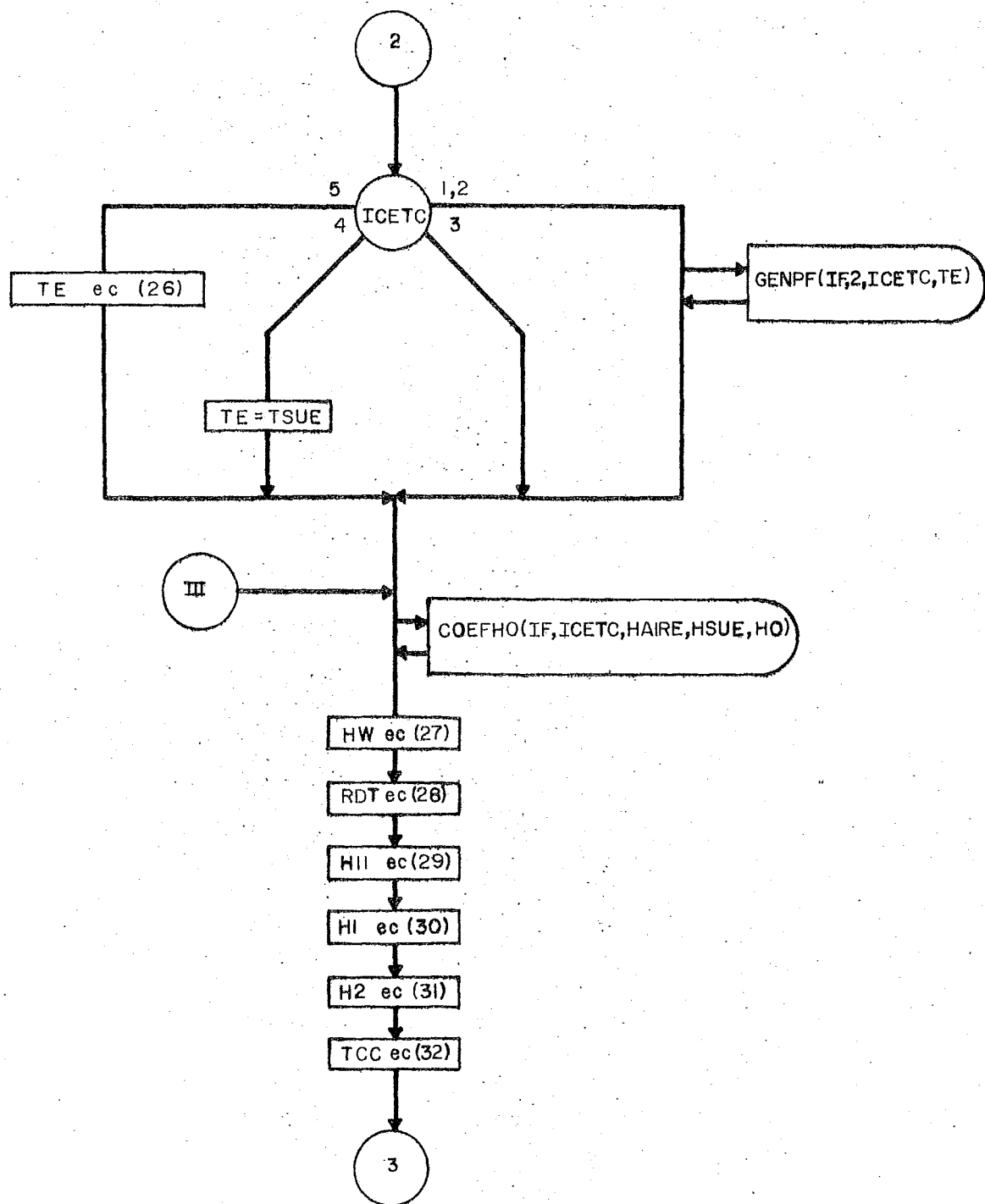


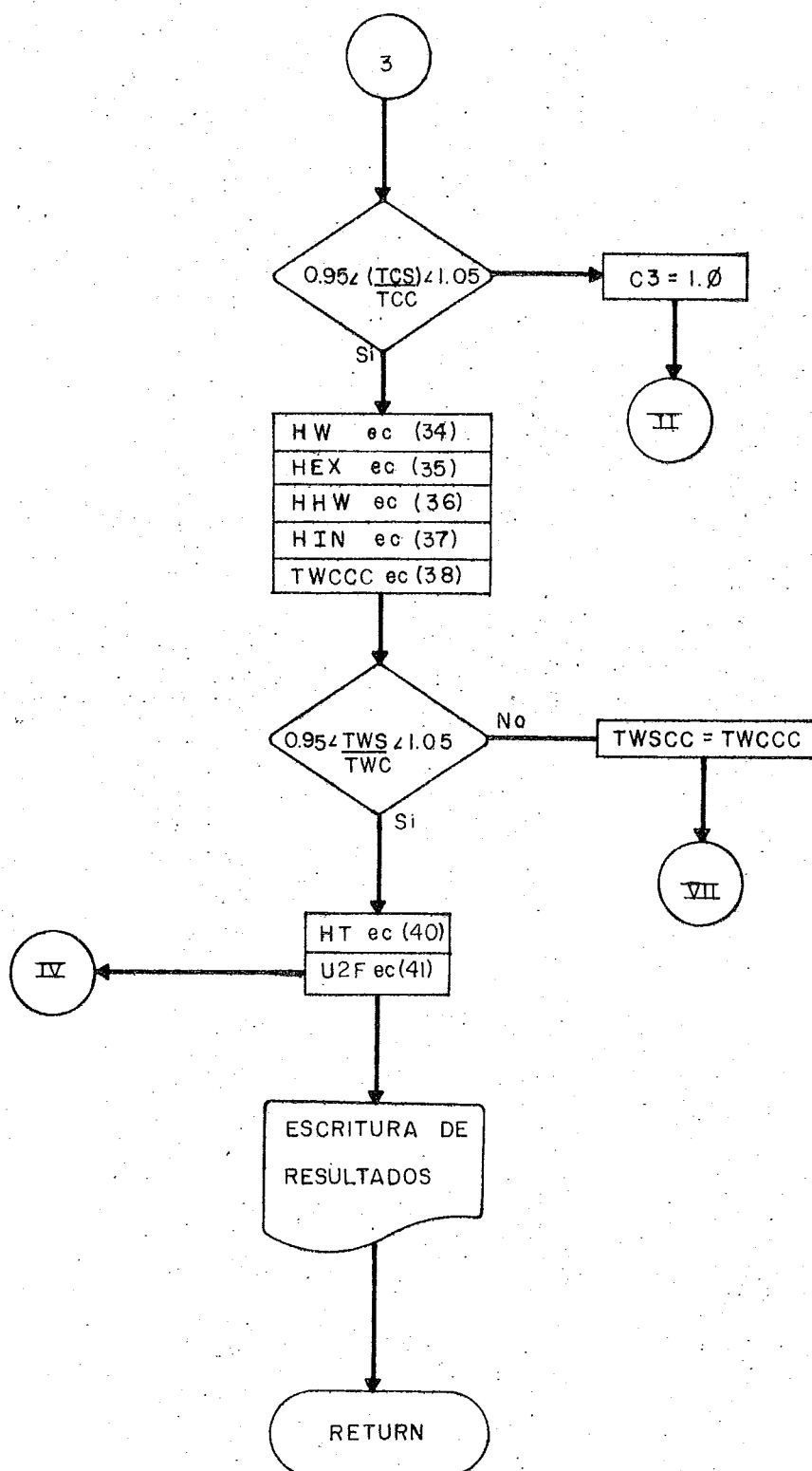












ECUACIONES SUBRUTINA CCFASE

ANI= DT/5. (1)
 ALINT= LT/NI (2)
 AINT= 3.1416*DO*ALINT (3)
 DTINT= DT/NI (4)
 TT2= TT2=T1-DTINT (5)
 TT2= TT2C-DTINT (6)
 ALINT= I*ALINT (7)
 AINT= I*AIN (8)
 TTM= (TT1+TT2)/2. (9)
 TCS= (((TT1+TT2)*0.5)+TE)*0.5 (10)
 WL= WL+WV (11)
 HI= HIOCL*(DO/DI) (12)
 CAPA= (360.-(2.*PSYMG)) (13)
 AFT1= ((2.*PSYMG)/360.)*AFT (14)
 DELTA= (180.-CAPA)/2. (15)
 T= DI/2. (16)
 BASE= (CAPA*R)/DELTA (17)
 H= R*SIN(DELTA) (18)
 AFT2= (BASE*H)/2 (19)
 AFTW= AFT1+AFT2 (20)
 AFTW= 0.4*AFT (21)
 AFTW= ALFA*AFT (22)
 DIW= SQRT(4.*AFTW/3.1416) (23)
 QT1 (24)
 TWSCC (25)
 TE= (TO1+TO2)/2 (26)
 HW= ED+EA1+EA2 (27)
 RDT= RDI+RDO (28)
 H11= (1./HO)+(1./HW)+(1./HCON)+RDT (29)
 H1= (1./H11) (30)
 H2= (1./HV) (31)
 TCC= (H2*TV+H1*TE)/(H1+H2) (32)

$$RTC = \frac{TCS}{TCC} \quad (33)$$

$$HW = (1./HO) + ED + RDO \quad (34)$$

$$HEX = (1./HW) \quad (35)$$

$$HHW = (1./HCON) + RDI \quad (36)$$

$$HIN = (1./HHW) \quad (37)$$

$$TWCCC = (HEX * TE + HIN * TCC) / (HEX + HIN) \quad (38)$$

$$RTW = \frac{TWS}{TWC} \quad (39)$$

CAPITULO IV

RESULTADOS.

U N I D A D E S

Las unidades utilizadas en las subrutinas están expresadas en el sistema inglés.

Densidad: lb/ft^{**3}

Viscosidad: lb/hr*ft

Conductividad térmica: BTU/hr*ft*°F

Capacidad calorífica: BTU/lb*°F

Coeficiente de expansión térmica: °F**(-1)

Calor latente de vaporización: BTU/lb

Diámetros: ft

Longitudes: ft

Areas de flujo: ft^{**2}

Areas de transferencia: ft^{**2}

Angulos: En grados

Temperaturas: °F

Gastos: lb/hr

Masa velocidad: lb/hr*ft^{**2}

Velocidades: ft/hr, y en algunos casos en ft/Seg.

Vaporizaciones: lb/hr

Caídas de Presión: lb/in^{**2}

Coeficientes: BTU/hr*°F*ft^{**2}

Los fluidos escogidos en los ejemplos presentados son:

Para el tubo interno: Aceite crudo, de 34°API que se calienta de 300°F a 310°F, este fluido se utiliza para exemplificar todos los casos en el programa sin cambio de fase.

Para la sección anular: Aceite lubricante de 26°API que se enfriá de 450°F a 350°F.

Los gastos son:

WL= 72500. lb/hr

WLE= 7900. lb/hr

Los diámetros:

DI= 0.172 ft

DO= 0.199 ft

La longitud:

LT= 278 ft

Las incrustaciones son:

RDI= 0.0003

RDO= 0.0003

Para el caso de convección natural con líquidos, la temperatura del agua es de 70°F.

Para el caso de flujo a dos fases el fluido utilizado es una mezcla de hidrocarburos ligeros procedentes de el domo de una torre de destilación.

SYSS*REL84. LEVEL
END MAP. ERRORS NONE

DXLT 2H*CEETES.UTRAN
EN STSCF REL/WX/WM/WZ/WY/FJH/PRL= 1.33133+005 .00000 .00000 .00000
+00000 3.39462+002 1.61075+001
EN STSCF HIOCL= 3.144589+002
EN DPSCFA DPSCF/DPSCFP= -2.293157+003 1.592470+001
EN DPSCFA REL/REV/FF/A/C1/C2= 1.331326+005 .00000 2.321630-002
+00000 1.562219+013 6.812525+009
CALculo FUERA DE RANGO, (CONTINUO)
EN HCAIR HAIRE= 1.245120+000
EN HCAIR DT/C1/XH/XV/HAIRE= 1.9.700000+001 .00000 .00000 1.245120+000
EN COEFHO TERMINA EL CALCULO IUSO=1
EN STSCF REL/WX/WM/WZ/WY/FJH/RRL= 1.33133+005 .00000 .00000 .00000
+00000 3.39462+002 1.61075+001
EN STSCF HIOCL= 3.144589+002
EN DPSCFA DPSCF/DPSCFP= -2.293157+003 1.592470+001
EN DPSCFA REL/REV/FF/A/C1/C2= 1.331326+005 .00000 2.321630-002
+00000 1.562219+013 6.812525+009
CALculo FUERA DE RANGO, (CONTINUO)
EN HCAIR HAIRE= 1.528191+000
EN HCAIR DT/C1/XH/XV/HAIRE= 1.2.042251+002 .00000 .00000 1.528191+000
EN COEFHO TERMINA EL CALCULO IUSO=1
EN UTRAN UM/UTC/ULOC= 1.610414+000 .00000 .00000
EN UTRAN H10CL/H10CV/PSY/H1/HAIRE/HCHA/HC/HR/HE/HSEU/ H10CL/H10CV/H1/TWC/DPSCFP=
3.144589+002 .00000 .000000 3.638216+002 1.528191+000 .000000 .000000 .000000
+000000000 .000000 1.528191+000 -3.840498+002 .000000

SYSS*RELIG. LEVEL
END MAP. ERRORS NONE

DXLT 2H*COEFES.UTRAN
EN STSCF REL/WX/WM/WZ/WY/FJH/PRL= 1.33133+005 .0P000 .00000 .00000
EN .00000 3.39462+002 1.61075+001
EN STSCF HICCL= 3.144589+002
EN DPSCFA DPSCF/DPSCFP= -2.293157+003 1.592470+001
EN DPSCFA REL/REV/FF/A/C1/C2= 1.331326+005 .0P000 2.321630+002
EN .00000+002 -1.562219+013 6.81525+008
CALCULO FUERA DE RANGO, (CONTINUA)
EN HCAIR HAIRE= 1.245120+000
EN HCAIR DT/C1/XH/XV/HAIPE= -9.000000+001 -.00000 -.00000 1.245120+000
EN COEFHO TERMINA EL CALCULO IUSO=1
EN STSCF REL/WX/WM/WZ/WY/FJH/PRL= 1.33133+005 .0P000 .00000 .00000
EN .00000 3.39462+002 1.61075+001
EN STSCF HICCL= 3.144589+002
EN DPSCFA DPSCF/DPSCFP= -2.293157+003 1.592470+001
EN DPSCFA REL/REV/FF/A/C1/C2= 1.331326+005 .0P000 2.321630+002
EN .00000+002 -1.562219+013 6.81525+008
CALCULO FUERA DE RANGO, (CONTINUA)
EN HCAIR HAIRE= 1.528191+000
EN HCAIR DT/C1/XH/XV/HAIPE= -2.042251+002 -.00000 -.00000 1.528191+000
EN COEFHO TERMINA EL CALCULO IUSO=1
EN UTRAN UM/UTC/ELLOC= 1.519414+000 .00000 .00000
EN UTRAN HICCL/HICCV/PSY/H1/HAIPE/HCHA/HC/HR/HE/HFUF/-HOCCL/HOCVF/HO/TWC/DPSCFP= 3.144589+002 .00000 .00000 3.638216+002 1.528191+000 .00000 .00000 .00000
EN .00000 .00000 .00000 1.528191+000 -3.040498+002 .00000

SYS\$*RLIBS. LEVEL
END MAP. ERRORS NONE

@XQT BH*CEETES.UTRAN
EN STSCF REL/WX/WM/WZ/WY/FJH/PRL= 1.33133+005 .00000 .00000 .00000
.00000 3.39462+002 1.61075+001
EN STSCF HIOCL= 3.144589+002
EN DPSCFA DPSCF/DPSCFP = 2.293157+003 1.592470+001
EN DPSCFA REL/REV/FF/A/C1/C2= 1.331326+005 .000000 2.321630-002
1.000000+000 1.562219+013 6.812525+009
EN SCFCE RELE/WXE/WME/WZE/WYE/FJHE/PRLE= 6.02112+003 2.13310+003 1.48510+000 -4.15114-001
3.43683+000 1.28023+001 6.65485+001
EN SCFCE HOCLE= 2.666739+001
EN COEFHO TERMINA EL CALCULO IUSO=1
EN STSCF REL/WX/WM/WZ/WY/FJH/PRL= 1.33133+005 .00000 .00000 .00000
.00000 3.39462+002 1.61075+001
EN STSCF HIOCL= 3.144589+002
EN DPSCFA DPSCF/DPSCFP = 2.293157+003 1.592470+001
EN DPSCFA REL/REV/FF/A/C1/C2= 1.331326+005 .000000 2.321630-002
1.000000+000 1.562219+013 6.812525+009
EN SCFCE RELE/WXE/WME/WZE/WYE/FJHE/PRLE= 6.02112+003 2.13310+003 1.48510+000 -4.15114-001
3.43683+000 1.28023+001 6.65485+001
EN SCFCE HOCLE= 2.666739+001
EN COEFHO TERMINA EL CALCULO IUSO=1
EN DPSCFA DPANU/DPAN= 8.092571+002 5.619841+000
EN DPSCFA RELE/REVE/FFE/CE1/CE2= 2.633412+003 .000000 5.968762-002
1.861628+012 2.300416+009
EN UTRAN UM/UTC/ULOG= 2.422536+001 .000000 .000000
EN UTRAN HIOCL/HIOCV/PSY/HI/HAIRE/HCNA/HC/HR/HE/HSUE/ HOCLE/HOCVE/HO/TWC/DPSCFP=
3.144589+002 .000000 .000000 3.638216+002 .000000 .000000 .000000 .000000
.000000 .000000 2.666739+001 .000000 2.666739+001 2.934318+002 .000000

END-ERS.
@PREP-BH*CEETES.

END-PREP. BH*CEETES(1) 26 REL 26 ENTRY PT(S) 3 DUP(S)

@MAP ,BH*CEETES.UTRAN

MAP 29R1 2-10/28/86 02 15 37

START=17551, PROG SIZE(I/O)=8098/1155

SYSS*RLIBS. LEVEL

END-MAP. ERRORS -NONE

@XWT. BH*CEETES.UTRAN

EN STSCF REL/WX/WM/WZ/WY/FJH/PRL= 1.33133+005 .000000 .000000 .000000

.500000 3.39462+002 1.61075+001

EN STSCF HIOCL= 3.144589+002

EN EPSCFA DPSCF/DPSCFP= 2.293157+003 1.592470+001

EN DPSCFA REL/REV/FF/A/C1/C2= 1.331326+005 .000000 2.321630-002

.1.362710+003 6.32525+009

CALCULO FUERA DE RANGO,(CONTINUA)

EN HCNAF HCNAF= 1.961250+002

EN HCNAF DT/C1/XH/XV/HCNAF= 1.525000+002 1.770849+011 1.395535+009 .000000 1.961250+002

DATE 102880

EN COEFHO TERMINA EL CALCULO IUS0=1

EN STSCF REL/NX/WM/WZ/WY/FJH/PRL= 1.33133+005 .000000 .000000 .000000

.3.39462+002 1.61075+001

EN STSCF HIOCL= 3.144589+002

EN DPSCFA DPSCF/DPSCFP= 2.293157+003 1.592470+001

EN DPSCFA REL/REV/FF/A/C1/C2= 1.331326+005 .000000 2.321630-002

.1.362710+003 6.32525+009

CALCULO FUERA DE RANGO,(CONTINUA)

EN HCNAF HCNAF= 1.953781+002

EN HCNAF DT/C1/XH/XV/HCNAF= 1.525123+002 1.744928+011 1.374398+009 .000000 1.953781+002

EN COEFHO TERMINA EL CALCULO IUS0=1

EN UTPAN UN/UTC/ULOC= 1.362710 1.176739+012

EN UTPAN HIOCL/HICLV/PSY/HI/HAIRE/HCNA/HC/HR/HE/HSUE/ HOCLE/HOCVE/HO/TWC/DPSCFP=

3.144589+002 .000000 1.3639216+002 .000000 1.053791+002 .000000 .000000

.1.362710 .000000 1.953781+002 2.203855+002 .000000 .000000

GF19

3.144589+002 .000000

WORLFT PRINTY

END-ERS.
@PREP-BH*CEETES.

END PREP. BH*CEETES(1) 26 REL 26 ENTRY PT(S) 3 DUP(S)

@MAP ,BH*CEETES.UTRAN

MAP 29R1 8-1W/28/8C D2 15 37

START=41755, PROG SIZE(I/B)=8098/1155

SYSS*RLIBS. LEVEL

END MAP. ERRORS -NONE

@XIT. BH*CEETES.UTRAN

EN STSCF REL/WX/WM/WZ/WY/FJH/PRLE = 1.33133+005 .00000 .00000 .00000

.00000 3.39462+002 1.61075+001

EN STSCF HIOLC = 3.144589+002

EN DPSCFA DPSCF/DPSCFP = 2.293157+003 1.592470+001

EN DPSCFA REL/REV/FF/A/C1/C2 = 1.331326+005 .00000

.00000 1.362719+002 6.32525+002

CALCULO FUERA DE RANGO,(CONTINUA)

EN HCONAT HCNAF = 1.953781+002

EN HCONAT DT/C1/XH/XV/HCNAF = 1.525000+002 1.770849+011 1.395535+009 .000000 1.961259+002

DATE 102880

EN COEFHO TERMINA EL CALCULO IUZO=1

EN STSCF REL/WX/WM/WZ/WY/FJH/PRLE = 1.33133+005 .00000 .00000 .00000

.00000 3.39462+002 1.61075+001

EN STSCF HIOLC = 3.144589+002

EN DPSCFA DPSCF/DPSCFP = 2.293157+003 1.592470+001

EN DPSCFA REL/REV/FF/A/C1/C2 = 1.331326+005 .00000

.00000 1.362719+002 6.32525+002

CALCULO FUERA DE RANGO,(CONTINUA)

EN HCONAT HCNAF = 1.953781+002

EN HCONAT DT/C1/XH/XV/HCNAF = 1.525000+002 1.744028+011 1.374398+009 .000000 1.953781+002

EN COEFHO TERMINA EL CALCULO IUZO=1

EN UTAR HIOLC/HICUV/PSY/HI/HAIRE/HCNA/HC/HR/HE/HSUF/ HOCLE/HOCVE/HO/TWC/DPSCFP=

3.144589+002 .00000 1.76739+012 .00000 1.953781+002 .00000 .00000

.00000 3.639216+002 .00000 1.953781+002 2.203855+002 .00000

BF14

EN COEFHO TERMINA

SECRET PRINTY

END FTN 1190 IBANK 769 DBANK 90 COMMON
@ERS TPF\$.

FURPUR 28R1 E35 S74T11 11/01/80 40 37 41
END ERS.

@PREP BH*CEETES.

END PREP. BH*CEETES(1) 26 REL 26 ENTRY PT(S) 3 DUP(S)

@MAP ,BH*CEETES.UTRA

MAP 29R1 @ 11/01/80 10 37 43

START=017550, PROG SIZE(I/D)=8718/11564

SYSS*RLIB\$. LEVEL

END MAP. ERRORS NONE

@XQT BH*CEETES.UTRA

EN PATFLU IPF(PATRON ESTRATIFIED) 4 0

EN PATFLU ISEG/VL/VV/X/Y/IPF=PATRON ESTRATIFIED 0 2.464921-003 1.332797-001 7.000000-001 .0000000 4

EN PESTRA HESTME 4.3098+002

4.3051+002

4.2931+002

4.2667+002

4.2179+002
EN HCOWA DP2F/DP2FP/LT = 4.812624+003 3.3421+001 0.99
4.767264+003 3.3106+001 4.94
4.716144+003 3.2751+001 9.88
4.670096+003 3.2434+001 14.82
4.630032+003 3.2153+001 19.76

EN HYDP TERMINA CALCULO IUSO=1

EN HAISLA HO = 6.947
6.948
6.949
6.950
6.951

AFIN

DATE 110180

PAGE 7

C A P I T U L O V

CONCLUSIONES.

Dada la forma en que se estructuró la programación de las subrutinas presentadas, es posible proponer alguna otra manera de integración conjunta de las mismas en un algoritmo de cálculo, en forma distinta al propuesto en esta tesis y presentado en el diagrama de flujo.

En este sentido el trabajo queda abierto a la posibles necesidades del usuario.

En tanto que los resultados obtenidos en la ejecución del programa son compatibles con los reportados por algunos autores, se considera que los métodos presentados son representativos de los fenómenos físicos en cuestión. Por otro lado, el trabajo no queda cerrado en lo que respecta a los resultados, ya que se propone el realizar corridas de prueba con equipos en operación, lo que permite el delimitar el grado de certidumbre de los modelos de cálculo aquí propuestos.

C A P I T U L O VI

APENDICE.

Relaciones teóricas para flujo laminar de condensado propuestas por Nusselt.

A cualquier distancia Z en el tubo vertical abajo del punto en donde la condensación comienza, el calor es transferido únicamente por conducción a través de la película de condensado cuyo espesor local es DELTA, por lo tanto:

$$HCON = \left(\frac{CTL}{\Delta} \right) = \left(\frac{DO}{A * DT} \right) = \left(\frac{CAVAP * dWz}{b * dz * DT} \right) = \left(\frac{CAVAP * dG'z}{dz * DT} \right) \quad (1)$$

en donde $dG'z$ es la diferencial de la masa velocidad del flujo de condensado sobre la superficie por unidad de longitud, para el caso de un ducto vertical dicha longitud es $(3.1416)^* DO$, es decir, el perímetro del tubo, en caso de ducto horizontal se considera LT . Así $dG'z = (dW/b)$ donde $b = (3.1416)^* DO$ CTL es la conductividad térmica del condensado a la temperatura TC del condensado la cual se define como: $TC = TV - (3.^*DT/4.)$

TV es la temperatura de rocío o saturación $DT = (TV - TW)$

TW es la temperatura de la superficie condensante.

Para la totalidad del ducto de longitud LT por definición se tiene:

$$HCON = \left(\frac{Q}{A * DT} \right) = \left(\frac{CAVAP * W}{b * LT * DT} \right) = \left(\frac{CAVAP * G'}{LT * DT} \right) \quad (2)$$

despejando de ec. (1) y (2) e igualando ambas ecuaciones se obtiene:

$$\frac{dG' z}{dz * \left(\frac{CTL}{\Delta} \right)} = \left(\frac{G'}{LT * HCON} \right)$$

rearreglando términos:

$$(CTL/\Delta) = \left(\frac{HCON * LT * dG' z}{G' * dz} \right) \quad (3)$$

De la teoría de condensación en placas verticales con flujo de vapor descendiente se tiene:

$$VIL * \left(\frac{dVz}{dy} \right) = G * DEL1 * (\Delta - y) * dz - G * DEV1 * (\Delta - y) * dz$$

es decir:

Esfuerzo cortante = peso - columna de presión.

$$\int_0^{Vz} dVz = \frac{G * (DEL1 - DEV1) * VIL}{VIL} \int_0^y (\Delta - y) dy$$

$$Vz = \frac{G * (DEL - DEV) * VIL}{VIL} * \left(\Delta * y - \frac{y^2}{2} \right)$$

El flujo másico de condensado por unidad de longitud está definido por:

$$G'z = \text{DEL1} * \int_0^{\text{DELTA}} V_z dy = \frac{G * \text{DEL1} * (\text{DEL1} - \text{DEV1})}{VIL} * \int_0^{\text{DELTA}} (\text{DELTA} * y - \frac{(y^{**2})}{2.}) dy$$

integrado entre los límites correspondientes se obtiene:

$$G'z = \frac{G * \text{DEL1} * (\text{DEL1} - \text{DEV1})}{VIL} * \left(\frac{(\text{DELTA}^{**3})}{3.} \right)$$

haciendo $\text{DEL1}^2 = \text{DEL1} * (\text{DEL1} - \text{DEV1})$ cuando DEV1 es relativamente pequeña en comparación de DEL1 , se establece:

$$G'z = \left(\frac{G * (\text{DEL1}^{**2}) * (\text{DELTA}^{**3})}{3. * VIL} \right)$$

$$\text{de donde : } \frac{1.}{\text{DELTA}} = \left(\frac{\text{DEL1} * \text{DEL1} * G}{3. * VIL * G_z} \right)^{**0.333}$$

al sustituir en ecuación (3) e integrar en los límites correspondientes se obtiene:

$$HCON = \left(\frac{4.}{3.} \right) * CTL * \left(\left(\frac{(\text{DEL1}^{**2}) * G}{3. * VIL * G_z} \right)^{**0.333} * \int_0^{\text{LT}} dz \right) = \frac{LT * HCON}{G'} * \int_0^{\text{LT}} (G'z^{**0.333}) dz$$

$$dG'z$$

$$HCON = \left(\frac{4}{3} \right) * CTL * \left(\frac{(DEL1^{**2}) * G}{3 * VIL * G} \right)^{**0.333}$$

$$HCON = 0.925 * CTL * \left(\frac{(DEL1^{**2}) * G}{VIL * G} \right)^{**0.333}$$

ec. (4)

para condensación externa sobre ductos circulares verticales.

En caso de placas verticales de la ecuación (2)

$$G' = \left(\frac{HCON * LT * DT}{CAVAP} \right)$$

y de la ecuación (4)

$$G' = \left(\frac{(CTL^{**3}) * (DEL1^{**2}) * G}{3 * (HCON^{**3}) * VIL} \right) * \left(\frac{4}{3} \right)^{**3}$$

Igualando las ecuaciones (2) y (4)

$$\left(\frac{HCON * LT * DT}{CAVAP} \right) = \left(\frac{(CTL^{**3}) * (DEL1^{**2}) * G}{3 * (HCON^{**3}) * VIL} \right) * \left(\frac{4}{3} \right)^{**3}$$

Por tanto el valor del coeficiente se obtiene:

$$HCON = 0.943 * \left(\frac{(CTL^{**3}) * (DEL1^{**2}) * G * CAVAP}{LT * VIL * DT} \right)^{**0.25}$$

Análisis de la forma de la ecuación de flujo de fluidos mediante el teorema de Buckingham.

La presión tiene unidades de (fuerza/áerea), mientras que la densidad expresa (masa/volumen), de manera que la constante dimensional que relacione a M y F deberá incluirse:

$$K = (M^*L/F^* (T^{** 2})).$$

Sea: D: El diámetro interno del ducto.

V: La velocidad del fluido.

DE: la densidad del líquido o vapor indistintamente.

VI: La viscosidad del líquido o vapor indistintamente.

Así se establece:

$$\left(\frac{dP}{dL} \right) = D, V, DE, VI, K \quad (1)$$

$$\left(\frac{dP}{dL} \right) = C * D^a * V^b * DE^c * VI^d * K^e \quad (2)$$

C: constante de proporcionalidad.

Substituyendo dimensiones y haciendo arbitrariamente el exponente de $(\frac{dP}{dL})$ igual a 1, se obtiene:

$$\frac{F}{L^{** 3}} = C * (L)^a * \left(\frac{L}{T}\right)^b * \left(\frac{M}{L^{** 3}}\right)^c * \left(\frac{M}{L*T}\right)^d * \left(\frac{M*L}{F*(T^{** 2})}\right)^e \quad (3)$$

Sumando exponentes:

$$F: 1 = -e \quad (I)$$

$$L: 3 = a+b-3c-d+e \quad (II)$$

$$M: 0 = c+d+e \quad (III)$$

$$T: 0 = b-d-2e \quad (IV)$$

Resolviendo simultáneamente:

$$e = -1$$

$$\text{de (I) y (IV)}$$

$$b = 2-d$$

$$\text{de (I) y (III)}$$

$$c = 1-d$$

al sustituir en (II) los valores de b, c y e se obtiene:

$$a = -1-d$$

al sustituir en la ecuación (2) los valores correspondientes

a, b, c, d, e;

$$\frac{dP}{dL} = C * D^{-1-d} * V^{2-d} * DE^{1-d} * VI^d * K^{-1} \quad (4)$$

$$\frac{dP}{dL} = \frac{C * (V^{**2}) * DE}{D*K} * \left(\frac{D*V*DE}{VI}\right)^{**} (-d)$$

en donde C y d deben evaluarse de datos experimentales. Si se sustituye la masa velocidad $GM = V*DE$, dP por DP, dL por DL o la longitud L de la tubería y K por su equivalente G se obtiene:

$$DP = \frac{C * GM * GM * L}{D * DE * G} * \left(\frac{D * GM}{VI}\right)^{**} (-d)$$

Transferencia de cantidad de movimiento para flujo laminar.

$$d(TAUY \cdot Gc \cdot A) = GENT \cdot dV \quad (1)$$

En donde GENT es la generación de cantidad de movimiento, en el elemento volumétrico de análisis, dicha generación esta relacionada directamente con la caída de presión - en la dirección del flujo.

dV es la diferencial de volumen.

TAUY es el esfuerzo cortante en la dirección perpendicular al flujo.

A es el área de aplicación de dicho esfuerzo.

$$d(TAUY \cdot A) = -d(P \cdot AFT) \quad (2)$$

Sea P la presión y AFT el área de flujo si AFT se considera constante al tomar la derivada del segundo miembro y multiplicar y dividir por una diferencia de distancia longitudinal dy se obtiene:

$$d(TAUY \cdot A) = -\left(\frac{dP}{dy}\right) \cdot AFT \cdot dy \quad (3)$$

En donde $AFT \cdot dy = dV$, al multiplicar ambos miembros por Gc se obtiene:

$$d(TAUY \cdot Gc \cdot A) = -Gc \cdot \left(\frac{dP}{dy}\right) \cdot dV \quad (4)$$

Por analogía con (1) se tiene;

$$GENT = - Gc^* \frac{(dP)}{dy} \quad (5)$$

La ecuación de transporte molecular establece:

$$d(TAU^*Gc^*A) = d(-A^*VIL^*\frac{dv}{dx}) \quad (6)$$

Por la ec. (1) y ec. (6) se obtiene:

$$d(-A^*VIL^*\frac{dv}{dx}) = GENT^*dV \quad (7)$$

$$d(-A^*VIL^*\frac{dv}{dx}) = - Gc^* \frac{(dP)}{dy} * dV \quad (8)$$

Considerando un ducto de radio interno r , longitud L ,
conteniendo un fluido newtoniano, incompresible de viscosidad VIL
se tiene:

$$dx = dr$$

$$A = 2 * (3.1416) * r * LT$$

$$dV = 2 * (3.1416) * LT * dr$$

Sustituyendo en ec. (8) e integrando

$$-2 * (3.1416) * r * LT * VIL * \frac{(dv)}{dr} = -Gc^* \frac{(dP)}{dy} \quad 2 * (3.1416) * LT * r \frac{dr}{dy}$$

$$r * LT * VIL * \frac{(dv)}{dr} = Gc^* \frac{(dP)}{dy} * \frac{(LT * (r^{**2}))}{2} + C1 \quad (9)$$

$$C_1=0 \text{ ya que a } r=0 \frac{dv}{dr}=0$$

$$VIL * \left(\frac{dv}{dr} \right) = Gc * \left(\frac{DP}{DY} \right) * \left(\frac{r}{2} \right)$$

Despejando dv e integrando nuevamente a los límites - correspondientes.

$$\int_0^v dv = \left(\frac{Gc}{2 * VIL} \right) * \left(\frac{DP}{DY} \right) * \int_0^r r * dr$$

$$v = \left(\frac{Gc * DP * (r^{**2})}{4 * VIL * DY} \right)$$

El cálculo de la velocidad promedio se obtiene evaluando la integral:

$$\bar{v} * AFT \Rightarrow \int_0^s v * d(AFT) \quad \text{Si } AFT = 3.1416 * (r^{**2})$$

$$d(AFT) = 2 * (3.1416) * r * dr$$

$$\bar{v} * (3.1416 * (r^{**2})) = \int_0^s \frac{2 * (3.1416) * Gc * DP * (r^{**3})}{4 * VIL * DY} * dr$$

$$\bar{v} = \frac{2 * Gc * DP}{4 * DY * VIL} * \frac{(r^{**2})}{4}$$

$$\text{Si } GM = \bar{v} * DEL$$

$r = \frac{D}{2}$ al multiplicar y dividir el primer miembro por (DEL^{**2}) se obtiene:

$$\frac{GM \cdot DEL}{(DEL^{**2})} = \left(\frac{Gc \cdot DP \cdot (D^{**2})}{32 \cdot DY \cdot VIL} \right)$$

Si se hace Dy unitario (unidad de longitud) y

$$DF = \frac{DP}{DEL} \quad \text{resulta;}$$

$$DF = \frac{32 \cdot VIL \cdot GM}{Gc \cdot (DEL \cdot D)^{**2}}$$

que es la expresión resultante de consideraciones puramente teóricas.

Análisis del modelo de flujo anular propuesto por M. Soliman.

Ecuaciones diferenciales generales:

$$\sum F_z = \sum M_{sal} - \sum M_{ent}$$

Aplicando esta ecuación a un elemento diferencial del núcleo de vapor se obtiene:

$$-\frac{GcAvdP}{dz} - FvSv + DEV1(a)Av = d \left(UvWv \right) - Uvid \left(Wv \right) \quad (1)$$

En forma similar al hacer el análisis sobre un elemento diferencial de la película de condensado se obtiene:

$$-\frac{GcAldP}{dz} + FlSv - FoS + DEL1(a)Al = d \left(UlWl \right) - Uvid \left(Wl \right) \quad (2)$$

Si se considera que no hay deslizamiento entre las fases, en la interfase líquido-vapor, $Fl=Fv$ y que una vez establecido el patrón de flujo anular se consideran despreciables las variaciones de Al y Av , se pueden expresar las ecuaciones (1) y (2) para los diferenciales de presión por diferencial de longitud como:

$$\left(\frac{dP}{dz} \right) = -\frac{FvSv}{GcAv} + \frac{DEV1(a)}{Gc} - \left(\frac{1}{GcAv} \right) \frac{d}{dz} \left(UvWv \right) + \frac{Uvi}{GcAv} \frac{d}{dz} \left(Wv \right) \quad (3)$$

$$\left(\frac{dP}{dz} \right) = -\frac{FvSv}{GcAl} + \frac{FoS}{GcAl} + \frac{DEL1(a)}{Gc} - \left(\frac{1}{GcAl} \right) \frac{d}{dz} \left(UlWl \right) + \frac{Uvi}{GcAl} \frac{d}{dz} \left(Wl \right) \quad (4)$$

Al igualar ec. (3) con ec. (4) y despejar F_o se obtiene:

$$\begin{aligned} F_o &= \frac{FvSv}{S} \left(\frac{A_1}{Av} \right) - \frac{DEV1(a)A_1}{S} + \frac{A_1}{Avs} \frac{d}{dz} (UvWv) - \frac{Uvi}{S} \left(\frac{A_1}{Av} \right) \frac{d}{dz} (Wv) \\ &+ \frac{FvSv}{S} + \frac{DEL1(a)A_1}{S} - \frac{1}{S} \frac{d}{dz} (Ulw_l) + \frac{Uvi}{S} \frac{d}{dz} W_l \end{aligned} \quad (5)$$

Reagrupando términos e identificando se definen:

$$F_f = \frac{FvSv}{S} \left(1 + \frac{A_1}{Av} \right)$$

$$F_m = \left(\frac{A_1}{AvS} \right) \frac{d}{dz} (UvWv) - \frac{1}{S} \frac{d}{dz} (Ulw_l) + \frac{Uvi}{S} \left(\frac{d}{dz} W_l - \left(\frac{A_1}{Av} \right) \frac{d}{dz} Wv \right)$$

$$F_a = \frac{(a)A_1}{S} (DEL1 - DEV1)$$

Así al substituir estas expresiones en la ecuación (5) se obtiene:

$$F_o = F_f + F_m - F_a$$

Para el caso de análisis de un patrón de flujo anular idealizado, es decir, sin fricción en la pared del ducto y sin considerar que una porción del condensado pudiese viajar en forma de pequeñas gotas en el núcleo de vapor y a la velocidad del mismo. Se define la velocidad de la fase líquida V_L y la velocidad de la fase vapor V_V . Siendo G_T el flujo másico por unidad de área, las velocidades están dadas por las ecuaciones:

$$V_V = \frac{G_T \cdot X}{D_E \cdot V_1 \cdot \alpha} \quad (1) \quad V_L = \frac{G_T \cdot (1-X)}{D_E \cdot L_1 \cdot (1-\alpha)} \quad (2)$$

en donde X es la calidad del vapor y α es la fracción de vacío.

La energía cinética por unidad de área está dada - por:

$$E = \frac{G_T}{2} \cdot (X \cdot V_V^{**2} + (1-X) \cdot V_L^{**2}) \quad (3)$$

La fracción de vacío α debe ser tal que haga de E un mínimo, para tal efecto se establece $\frac{dE}{d(\alpha)} = 0$

$$\frac{dE}{d(\alpha)} = \frac{G_T}{2} \cdot \left(2 \cdot V_V \cdot \frac{dV_V}{d(\alpha)} \cdot X + 2 \cdot V_L \cdot \frac{dV_L}{d(\alpha)} \cdot (1-X) \right) = 0 \quad (4)$$

Evaluando $\frac{dV_V}{d(\alpha)}$ y $\frac{dV_L}{d(\alpha)}$ de ec. (1) y (2).

$$\frac{dV_V}{d(\text{ALFA})} = -\frac{GT^*X}{DEV_1 (\text{ALFA})^{**2}} \quad (5) \quad \frac{dV_L}{d(\text{ALFA})} = \frac{GT \cdot (1.-X)}{DEL_1 (1.-\text{ALFA})^{**2}} \quad (6)$$

Al substituir (1), (2), (5), (6) en ec. (4)

$$\frac{(GT^{**3}) X^{**3}}{DEV_1^*DEV_1 (\text{ALFA})^{**3}} + \frac{(GT^{**3}) (1.-X)^{**3}}{DEL_1^*DEL_1 (1.-\text{ALFA})^{**3}} \quad (7)$$

Al tomar raíz cúbica a esta expresión y multiplicarla por ALFA $\frac{(DEV_1)^{**2./3}}{GT^*X}$

se obtiene $0 = -1. + (DEV_1/DEL_1)^{**2./3} ((1.-X)/X) (ALFA/1.-ALFA)) \quad (8)$

$$(1.-ALFA) = ALFA ((DEV_1/DEL_1)^{**2./3}) ((1.-X)/X) \quad (9)$$

$$1.-ALFA (1.+((DEV_1/DEL_1)^{**2./3})) ((1.-X)/X) \quad (10)$$

Donde al despejar ALFA se obtiene:

$$\text{ALFA} = \frac{1.}{1.+((DEV_1/DEL_1)^{**2./3}) ((1.-X)/X)}$$

Para el caso de patrón de flujo Quasi anular una porción ENT del condensado se encuentra viajando en el núcleo de vapor en forma de pequeñas gotas y a la velocidad del mismo.

Se define la porción de sección transversal del ducto ocupada por el líquido condensado como la suma del área ocupada por el anulo de condensado más la porción ENT del condensado, es decir:

$$1.- \text{ALFA} = \frac{GT}{DELI} \left(\frac{ENT}{VV} + \frac{(1.-ENT)}{VL} \right) \quad (11)$$

Al sustituir $VV = \frac{GT*V}{DEV1*\text{ALFA}}$ y resolver para VL - se obtiene:

$$VL = \frac{GT (1.-ENT) (1.-X)}{(1.-\text{ALFA}) DELI - ENT * DEV1 * \text{ALFA} ((1.-X)/X)} \quad (12)$$

La energía cinética queda definida como:

$$E = \frac{GT}{2} (X*VV^{**2} + (1.-X) ENT(VV^{**2}) + (1.-X) (1.-ENT) VL^{**2}) \quad (13)$$

Nuevamente la energía debe ser tal que haga de E un mínimo, para tal efecto se calcula la derivada igualandose con cero.

$$\frac{dE}{d(\text{ALFA})} = \frac{GT}{2} \left(2.X*VV \frac{dVV}{d(\text{ALFA})} + 2.(1.-X) ENT*VV \frac{dVV}{d(\text{ALFA})} + 2.(1.-X) (1.-ENT) VL \frac{dVL}{d(\text{ALFA})} \right) = 0 \quad (14)$$

o bien:

$$XVV \frac{dVV}{d(\text{ALFA})} + (1.-X) ENT*VV \frac{dVV}{d(\text{ALFA})} + (1.-X) (1.-ENT) VL \frac{dVL}{d(\text{ALFA})} = 0 \quad (15)$$

Las ecuaciones (1) y (5) siguen siendo válidas para el modelo.

$\frac{dVL}{d(\text{ALFA})}$ se obtiene al diferenciar la ecuación (12) con res-

pecto a d (ALFA) .

$$\frac{dVL}{d(ALFA)} = \frac{GT(1.-ENT)(1.-X)}{DEL1} \frac{(1.+ENT(DEV1/DEL1)((1.-X)/X)}{(1.-ALFA-ENT(DEL1/DEV1)ALFA((1.-X)/X))^{**2}} \quad (16)$$

Al efectuar las sustituciones respectivas en la ec.

(15) se obtiene:

$$X \left(\frac{GT^*X}{DEL1*ALFA} \right) \left(\frac{-GT^*X}{DEV1(ALFA)^{**2}} \right) + (1.-X) ENT \left(\frac{GT^*X}{DEV1*ALFA} \right) \left(\frac{-GT^*X}{DEV1(ALFA)^{**2}} \right) +$$

$$\left(\frac{(1.-X)(1.-ENT)GT(1.-X)(1.-ENT)}{(1.-ALFA) DEL1-ENT*DEV1*ALFA((1.-X)/X)} \right) (GT(1.-ENT)(1.-X/DEL1))$$

$$\left(\frac{1.+ENT(DEV1/DEL1)((1.-X)/X)}{(1.-ALFA-ENT(DEL1/DEV1)((1.-X)/X)ALFA^{**2}} \right) = 0 \quad (17)$$

$$((X+(1.-X) ENT) \left(\frac{(GT^{**2})(X^{**2})}{(DEV1*DEV1)(ALFA^{**3})} \right) = \frac{(GT^*GT(1.-X)^{**3}(1.-ENT)^{**3}}{(1.-ALFA)(DEL1^{**2})-ENT*DEL1}$$

$$\left(\frac{1.+ENT(DEV1/DEL1)(1.-X/X)}{*DEV1(1.-X/X)ALFA} \right) \left(\frac{1.-ALFA-ENT(DEV1/DEL1)(1.-X/X)ALFA^{**2}}{1.-ALFA-ENT(DEV1/DEL1)(1.-X/X)ALFA^{**2}} \right) \quad (18)$$

$$((X+(1.-X) ENT) \left(\frac{GT^{**2}(X^{**2})}{(DEV1^{**2})} \right) \left(\frac{1.}{ALFA} \right) = \frac{(GT^{**2}(1.-X)^{**3}(1.ENT)^{**3}(1./}{1.-ALFA-ENT(DEV1/DEL1)(1.-X/X)}$$

$$\left(\frac{1.}{ALFA} \right) \left(\frac{1.+ENT(DEV1/DEL1)((1.-X)/X)}{(1.-ALFA-ENT(DEV1/DEL1)((1.-X)/X)ALFA^{**2}} \right) \quad (19)$$

$$\frac{1.-ALFA-ENT(DEV1/DEL1)((1.-X)/X)ALFA}{ALFA} = \frac{(GT^{**1}(1.-X)^{**3}(1.-ENT)^{**3}}{(X+ENT(1.-X))}$$

$$\frac{(1./DEL1^{**2})) (1.+ENT(DEV1/DEL1)((1.-X)/X))^{**0.333}}{(GT^{**2})X^{**2}/DEV1^{**2}} \quad (20)$$

$$\left(\frac{1}{\overline{\text{ALFA}}}\right) - 1 - \text{ENT}(\text{DEV1}/\text{DEL1}) \left(\frac{(1.-X)}{X}\right) = (1.-X) (1.-\text{ENT})(\text{DEV1}/\text{DEL1})^{**}$$

$$(2./3) \left(\frac{1.+\text{ENT}(\text{DEV1}/\text{DEL1}) \left(\frac{(1.-X)}{X}\right)}{(X+\text{ENT}(1.-X))X^{**2}}\right)^{**0.333} \quad (21)$$

$$\text{ALFA} = (1.+\text{ENT}(\text{DEV1}/\text{DEL1}) \left(\frac{(1.-X)}{X}\right) + (1.-X) (1.-\text{ENT})(\text{DEV1}/\text{DEL1})^{**}(2./3)$$

$$\left(\frac{1.+\text{ENT}(\text{DEV1}/\text{DEL1}) \left(\frac{(1.-X)}{X}\right)}{(X+\text{ENT}-\text{ENT}(X))X^{**2}}\right)^{**0.333} ** (-1.0) \quad (22)$$

$$\text{ALFA} = (1.+\text{ENT}(\text{DEV1}/\text{DEL1}) \left(\frac{(1.-X)}{X}\right) + (1.-X) (1.-\text{ENT})(\text{DEV1}/\text{DEL1})^{**}(2./3)$$

$$\left(\frac{1.+\text{ENT}(\text{DEV1}/\text{DEL1}) \left(\frac{(1.-X)}{X}\right)}{(X+\text{ENT}-\text{ENT}(X))X^{**3}}\right)^{**0.333} ** (-1.0) \quad (23)$$

$$\text{ALFA} = (1.+\text{ENT}(\text{DEV1}/\text{DEL1}) \left(\frac{(1.-X)}{X}\right) + ((1.-X)/X) (1.-\text{ENT})(\text{DEV1}/\text{DEL1})$$

$$** (2./3) \left(\frac{1.+\text{ENT}(\text{DEV1}/\text{DEL1}) \left(\frac{(1.-X)}{X}\right)}{1.+\text{ENT}((1.-X)/X)}\right)^{**0.333} ** (-1.0) \quad (24)$$

Que es la expresión para ALFA considerando un flujo Quasi Anular.

Transformación de la expresión propuesta por Mc.Adams a la forma análoga encontrada por D.Kern.

Mc.Adams dedujo la siguiente expresión:

$$\text{Nu} = 0.53 * \text{Ra}^{0.25} \quad (1)$$

en donde el número de Rayleigh queda definido como el producto del número de Grashof por el número de Prandtl.

$$\left(\frac{\text{HCNA} * \text{DO}}{\text{CTL}}\right) = 0.53 * \left(\left(\frac{\text{DO}^{*2} * (\text{DEL1}^{*2}) * \text{G} * \text{BETA} * \text{DT}}{\text{VIL}^{*2}} \right) * \left(\frac{\text{CPL} * \text{VIL}}{\text{CTL}} \right) \right)^{0.25}$$

Al elevar la expresión a la cuarta potencia y despejar HCNA se obtiene:

$$(\text{HCNA}^{*4}) = ((0.53)^{*4}) * \left(\frac{(\text{CTL}^{*3}) * (\text{DEL1}^{*2}) * \text{G} * \text{BETA} * \text{DT} * \text{CPL}}{\text{VIL} * \text{DO}} \right)$$

Al tomar nuevamente la raíz cuarta y efectuar las sustituciones convenientes de unidades es decir:

Aceleración debida a la gravedad: $\text{G} = 4.17 * (10^{*8}) \frac{\text{ft}}{\text{hr}^{*2}}$

Viscosidad: $1 \text{ Cpoise} = 2.42 \frac{\text{lb}}{\text{hr} * \text{ft}}$

Longitud: $12 \text{ inch} = 1 \text{ ft}$

Se obtiene: $113. = \frac{(0.53) * (4.17 \times 10^8 * 12.)^{*0.25}}{2.42}$

$\text{HCNA} = 113. * \left(\frac{(\text{CTL}^{*3}) * (\text{DEL1}^{*2}) * \text{CPL}}{\text{VIL}} * \frac{(\text{BETA} * \text{DT})}{\text{DO}} \right)^{*0.25}$

D. Kern dedujo una expresión análoga a la anterior --
cuyo coeficiente era de 116.

Deducción de la expresión del coeficiente efectivo en la transferencia de calor del seno del vapor hacia la superficie del condensado, el calor cedido está dado por dos feno menos:

a).- Calor sensible del vapor que no condensa:

$$\frac{dQ_s}{dA} = HV \cdot (TV - TC) \quad (1)$$

b).- Calor latente para el cambio de fase:

$$\frac{dQ_l}{dA} = KM * CAVAP \cdot (PV - PC) \quad (2)$$

en donde:

A: Área de transferencia

HV: Coeficiente de transferencia de calor de la fase gaseosa.

TV: Temperatura en el seno del vapor.

TC: Temperatura en la superficie del condensado.

KM: Coeficiente de transferencia de masa.

CAVAP: Calor latente de vaporización.

PV: Presión parcial del vapor que condensa.

PC: Presión de vapor del condensado a la TC,

c).- Si lo que se desea es obtener un coeficiente de transferencia de calor efectivo que considere los efectos anteriores simultáneamente su expresión será:

$$\frac{dQ_T}{dA} = HEFF (TV - TC) \quad (3)$$

En donde $QT = Q_s = Q_1$ (4)

d).- Dividiendo la ec (3) entre la ec. (1)

$$\frac{HEFF}{HV} = \frac{dQ_T}{dQ_s} \quad (5)$$

e).- Si $dQ_s = W * CPV * dTV$ (6)

$$dQ_1 = CAVAP * dW \quad (7)$$

en donde W : Flujo masico de vapor

y CPV : Calor especifico a presion constante del vapor.

Al sustituir sus valores respectivos en la ec.(4) en donde se desprecia el enfriamiento del condensado se obtiene:

$$dQ_T = W * CPV * CAVAP * dW \quad (8)$$

Al realizar la substitucion de las ec.(6) y (8) en la ec.(5) se obtiene la expresion del coeficiente efectivo en terminos de variables accesibles en los calculos.

$$HEFF = HV \left(\frac{W * CPV * dTV + CAVAP * dW}{W * CPV * dTV} \right)$$

Que al factorizar se obtiene:

$$HEFF = HV \left(1 + \frac{CAVAP}{W * CPV} \left(\frac{dW}{dTV} \right) \right)$$

ESTRUCTURA DE LA PROGRAMACION

La programación de este paquete de subrutinas se realizó en el super lenguaje FORTRAN ASCII de la UNIVAC 11100, la naturaleza de la programación sigue un carácter lógico, - y las variables están agrupadas en grupos transferibles de características semejantes mediante COMMOS, lo cual permite de la transferencia adecuada de los valores requeridos y generados para efecto de la obtención de resultados y la posible integración de este paquete a otro de mayor magnitud, - o bien fraccionar este simplificandole al uso de casos particulares aislados. Para tal efecto, se realizó la programación definiendo una sección de COMMONS etiquetados, la cual queda constituida de la siguiente manera:

El COMMON PROPIN, transfiere las propiedades físicas por dentro del ducto.

El COMMON PROPOU, transfiere las propiedades físicas por fuera del ducto, es decir, las propiedades del medio externo.

El COMMON GEOM, transfiere las variables de carácter geométrico del ducto.

El COMMON INDI, transfiere los valores de los índices de carácter lógico y los de decisión requeridos en el direccionamiento y escritura de resultados del programa principal y de las subrutinas.

El COMMON TEMPE, transfiere las temperaturas requeridas y generadas en los cálculos.

El COMMON PROPDU, transfiere las propiedades o características referidas a la naturaleza del ducto y de los aislantes que lo recubren en caso de haberlos.

El COMMON PROC transfiere las condiciones de proceso del sistema.

El COMMON CALC transfiere las variables generadas en los procedimientos de cálculo.